

Kartierung der Bodenfruchtbarkeit mittels Nahbereichssensoren

Robin Gebbers, Sebastian Vogel

Leibniz-Institut für Agrartechnik und Bioökonomie e.V. Abteilung Agromechatronik Arbeitsgruppe "Proximal Soil Sensing"



Gliederung

- 1. Zielgröße Bodenfruchtbarkeit
- 2. Warum Bodensensoren in der Landwirtschaft?
- 3. Überblick über Nahbereichssensoren
- 4. Sensorfusion durch Multisensorplattformen
- 5. Schlussfolgerungen



1. Zielgröße Bodenfruchtbarkeit



Komponenten der Bodenfruchtbarkeit und Zielgrößen der Bodenuntersuchung

Chemische Eigenschaften

- Nährstoffe: N, P, K, Mg
- Azidität: pH
- Humus
- · Giftstoffe: Pb, Cd,
- ...

Physikalische Eigenschaften

- Textur: Sand, Lehm, Ton
- Wassergehalt & -potenzial
- Lagerungsdichte, Porosität
 - Temperatur
- Relief (Neigung, Exposition)

...

barkeit

Biologische Eigenschaften

Bodenfrucht-

- · Mineralisation, Fixierung
- Symbiosen, Nützlinge, Antibiosen (Schädlinge)
- Turbation
- ...



2. Warum Bodensensoren in der Landwirtschaft?



Warum Bodensensoren in der Landwirtschaft?

Schnelle und kostengünstige Erfassung bewirtschaftungsrelevanter Bodeneigenschaften, insbesondere für das Nährstoffmanagement

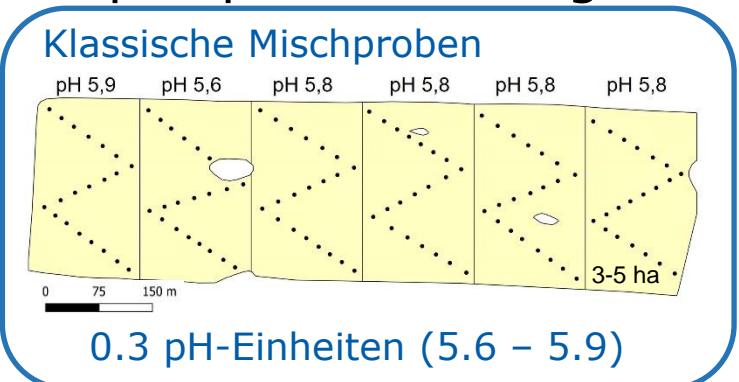
- Besserer Einsatz der Ressourcen, Optimierung bezüglich Menge und Qualität der Ernteprodukte
 - > Zeitliche Anpassung der Düngung und Bewässerung
 - Räumliche Anpassung (Karten für Bodenbearbeitung, Düngung, Aussaat, Ertragserwartung)
- Erfüllung gesetzlicher Auflagen
- Umweltschutz
- Neugier, fachliches Interesse

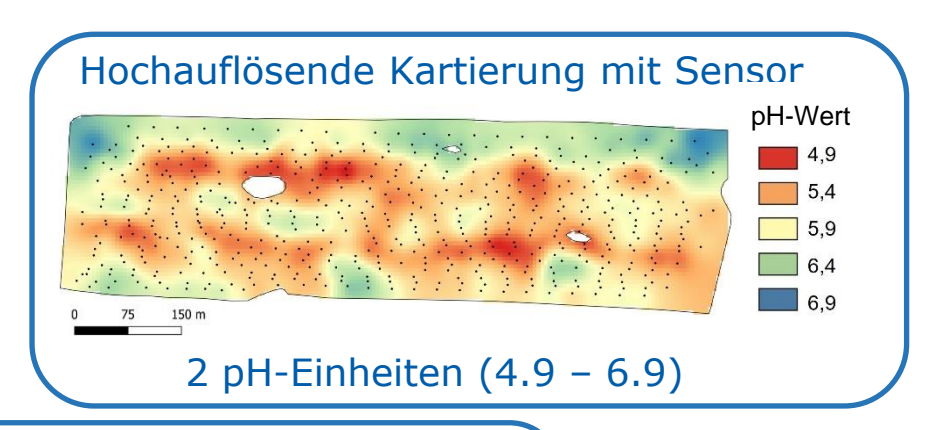


Höhere Präzision durch sensorbasierte Bodenkartierung

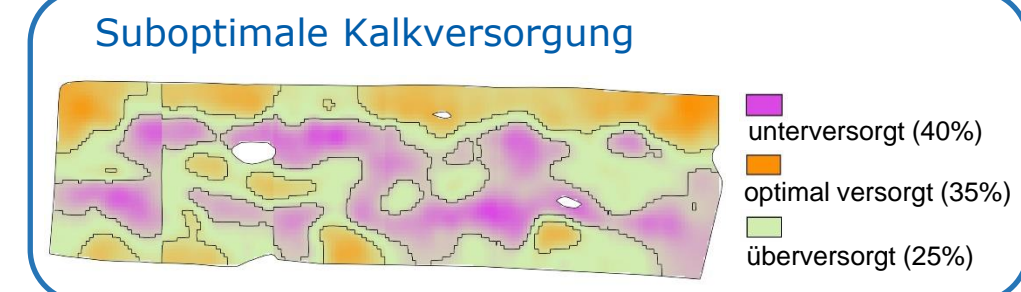


Beispiel pH-Kartierung





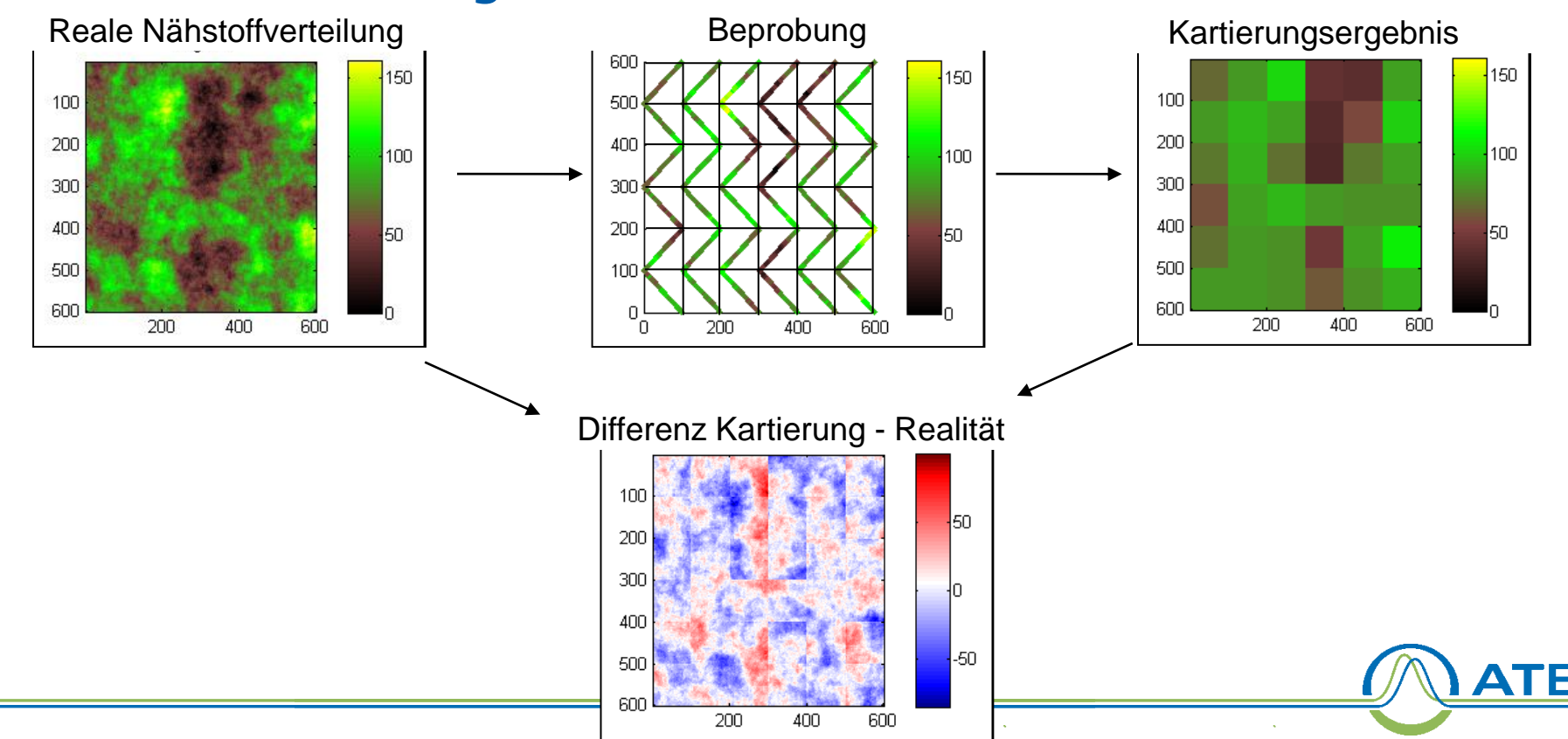


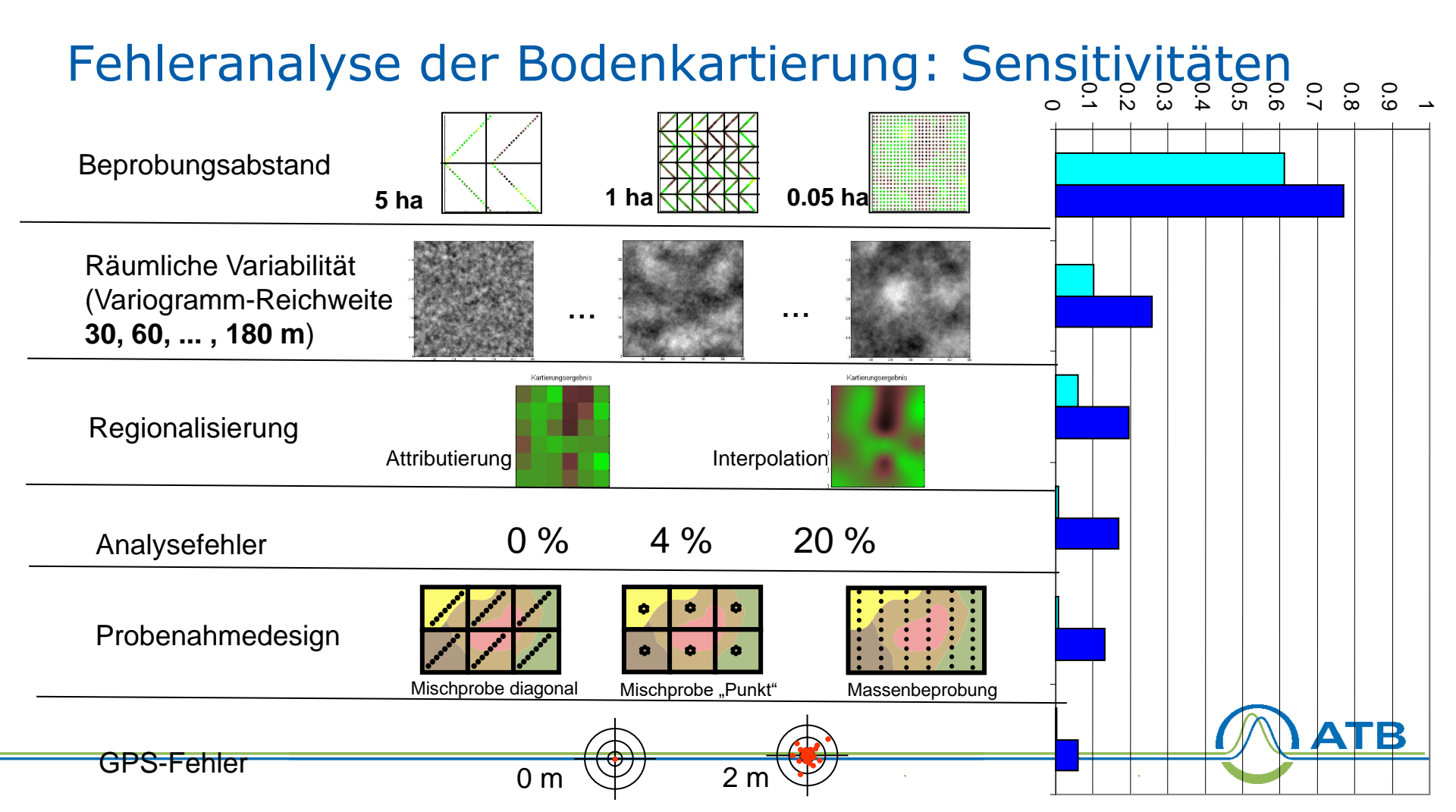


http://ph-bb.com/



Fehleranalyse der Bodenkartierung: Simulation der Bodenkartierung





Vorteile der sensorbasierten Messung: Idealvorstellung

Konventionell (Messung *ex-situ*, im Labor)

Einstich, Probenentnahme

Verpackung Zuordnung Konditionierung: Kühlung (für Nmin, Smin), Auftauen, Trocknen, Zerkleinern, Sieben, Wägen

Trennung (Extraktion)

Messung

Berechnung

Bericht: Zuordnung, Übermittlung

Bodensensor (Messung *in-situ*)

Eventuell Einstich

Messung, Zuordnung Ggf .Kalibration

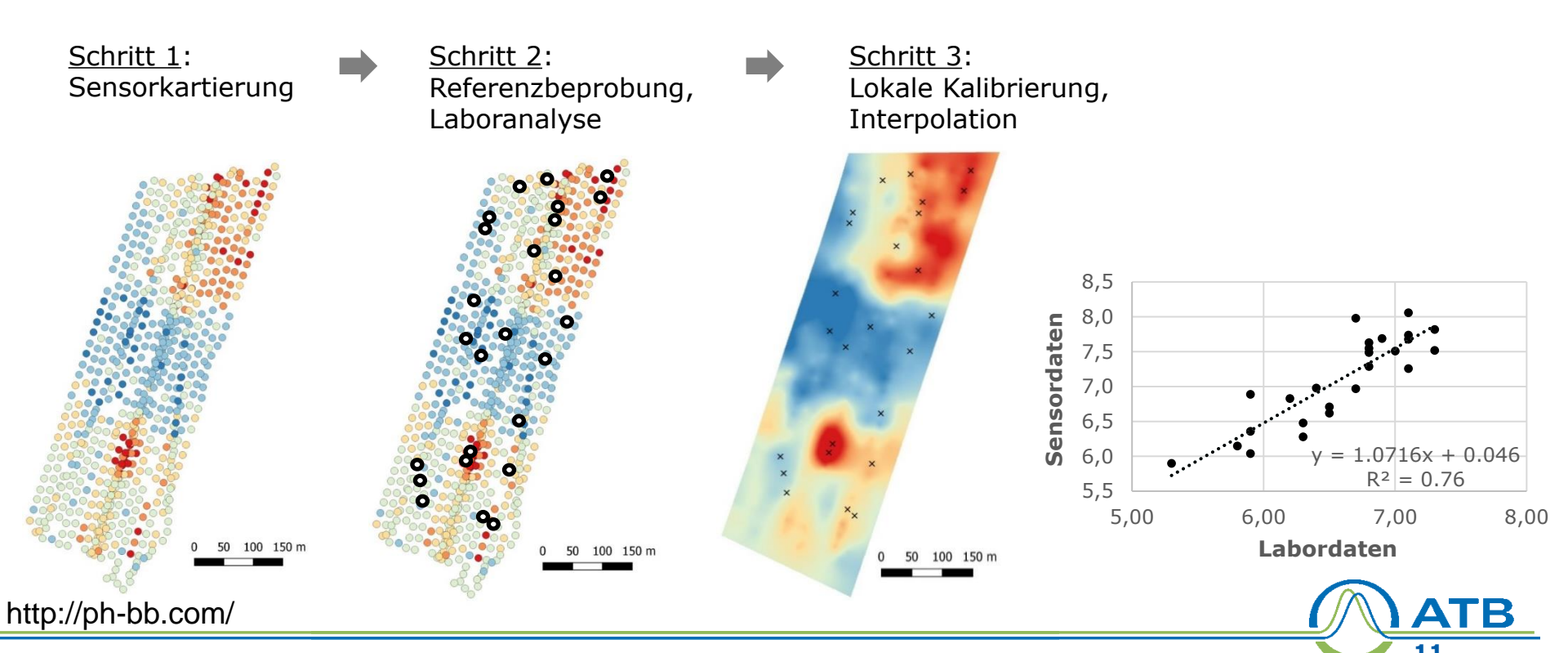
Berechnung

Bericht: Zuordnung, Übermittlung



Typisches Vorgehen



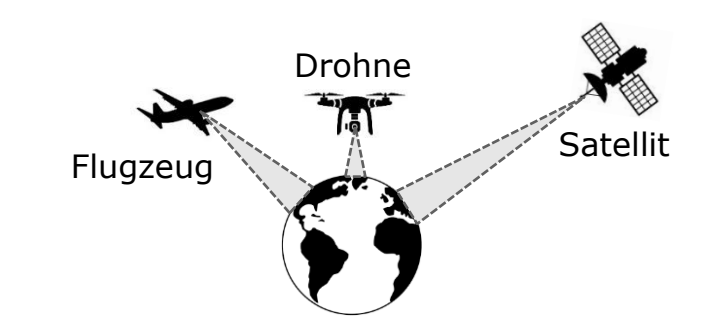


3. Überblick über Nahbereichssensoren



Lokalisation der Sensoren

Fernerkundung, luftgestützt (Satellit, Flugzeug, Drohne [1-100m])



Nahbereich, bodengestützt, mobil (on-the-go, stop-and-go)



Nahbereich, bodengestützt, stationär (Dauerbeobachtung im Boden)



Merkmale von sensorbasierten Verfahren

- Messprinzip
- Bezug zum Zielparameter (direkt / indirekt)
- Lokalisation der Sensoren
- Geometrie der erfassten Probe & Probenkonditionierung
- 7eitliches Antwortverhalten:
 - Messung schnelle / langsam;
 - Datennachbereitung)
- Praxistauglichkeit:
 - Nutzerfreundlichkeit,
 - Robustheit, Energiebedarf,
 - Wirtschaftlichkeit,
 - Anerkennung (administrative, fachlich)



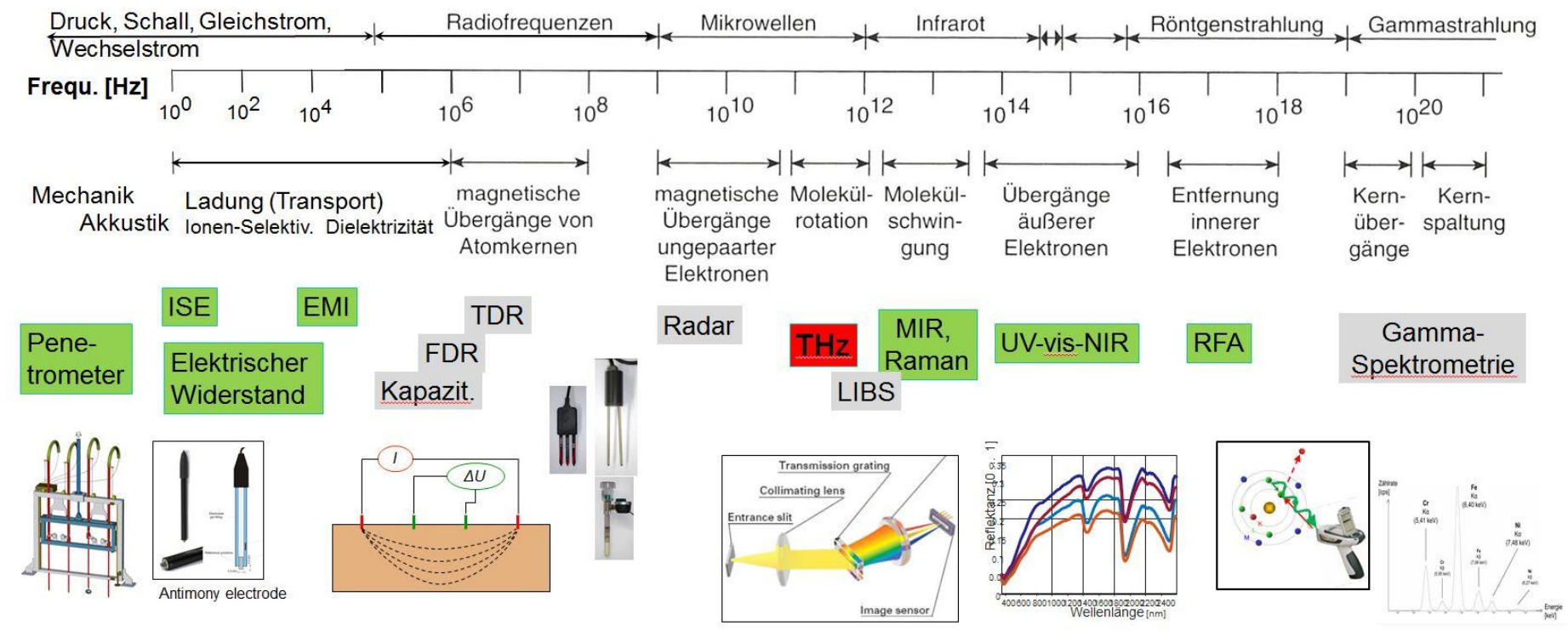


Messprinzipien

- Physikalisch
 - Elektromagnetik: elektrisch, optisch, ionisierend
 - Mechanisch
 - Akustisch
 - Thermal
- Chemisch + biologisch (Schlüssel-Schloss-Prinzip)
 - Kolorimetrisch
 - Ionenselektiv: ISE, ISFET, ...
 - Sorption (Gase)
 - Biochemische & biologisch Mechanismen: Antikörper, DNA/RNA, Enzyme, Zellen & Gewebe, Aptamere ...

30.04.2024

Messprinzipien

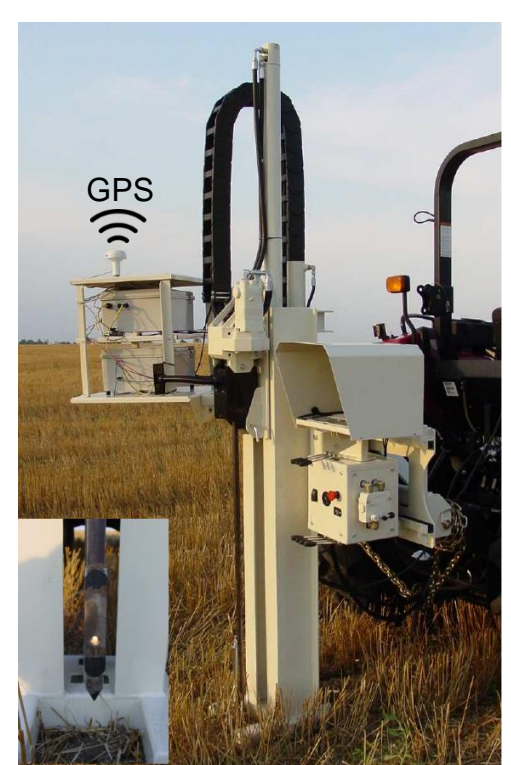


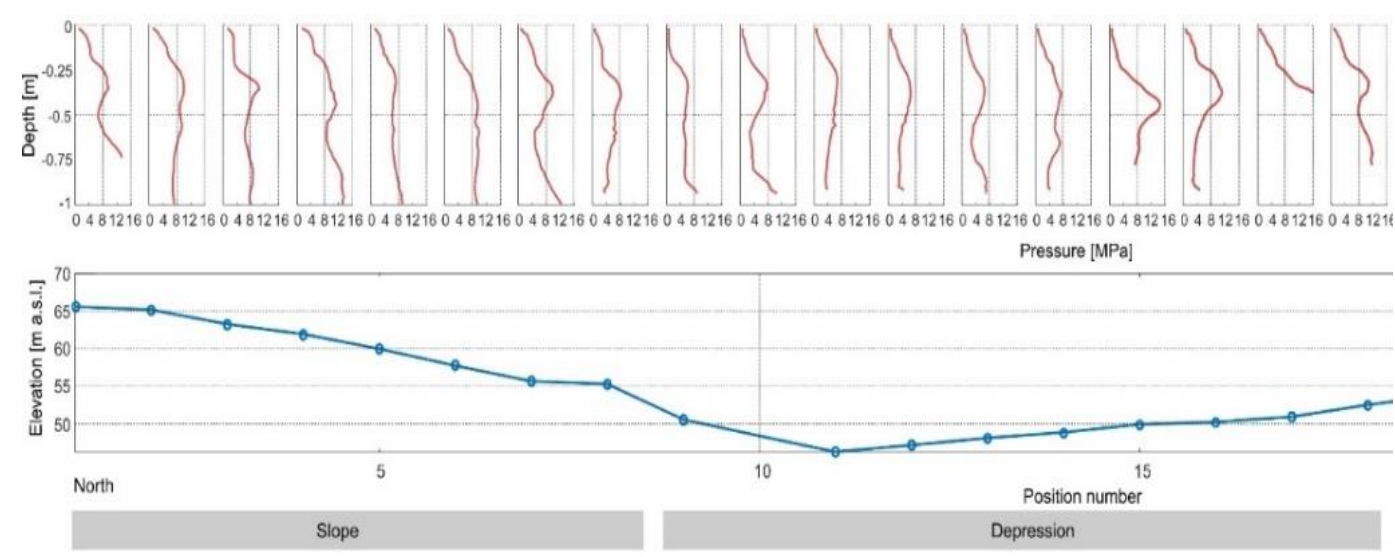
Mechanische Sensoren



Penetrometer: Durchdringungswiderstand

Penetrometer: Lagerungsdichte, Texturwechsel (Veris P4000)





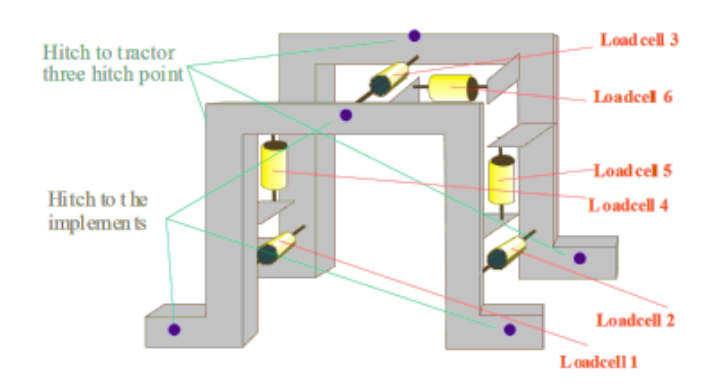
https://veristech.com/



Zugkraft

Zugkraftsensoren: Lagerungsdichte, Texturwechsel





Elektrische Sensoren

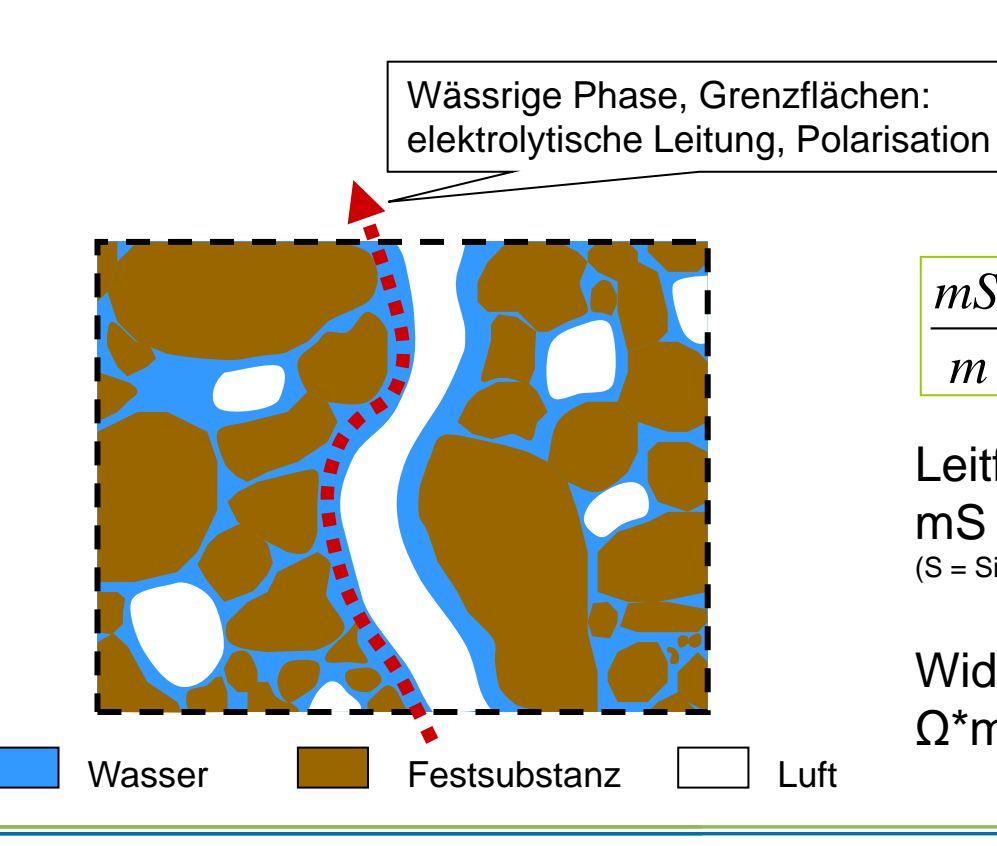


Geoelektrik: Ladungstransport im Boden





Gebbers et al. 2009



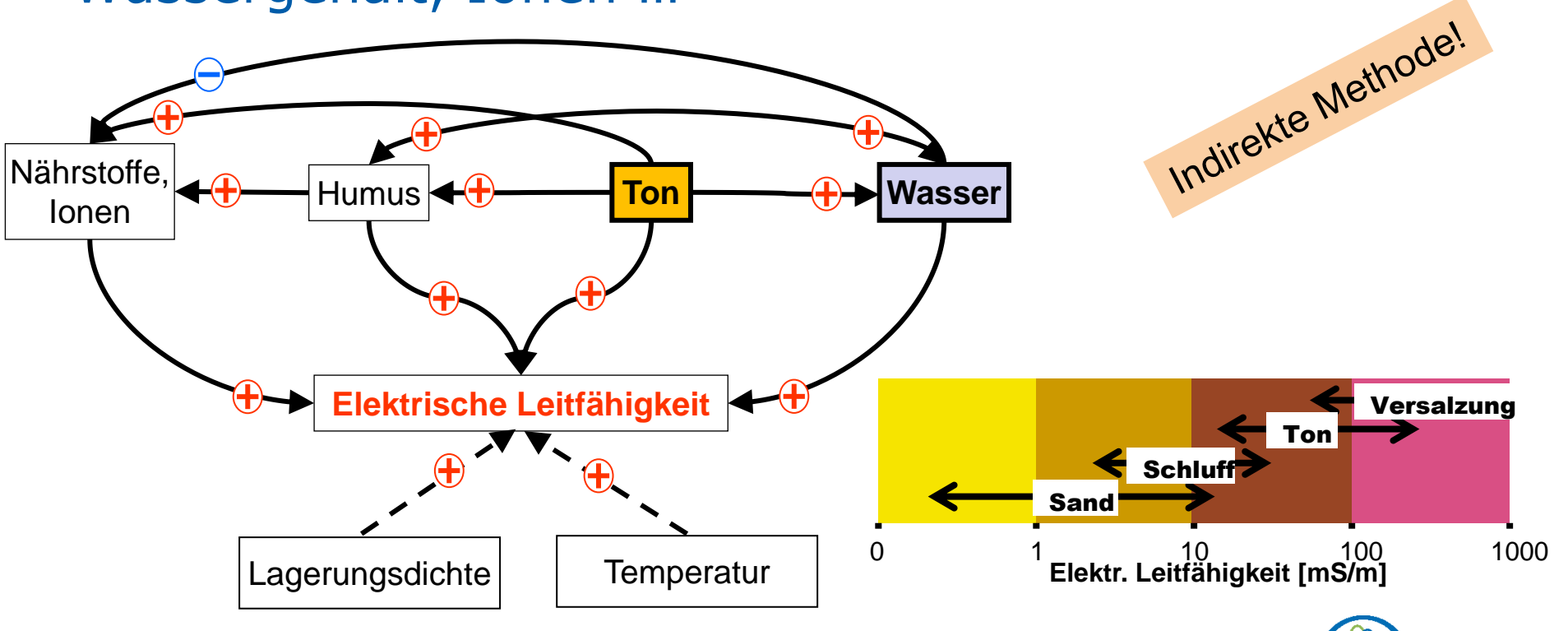
mS $\Omega \cdot m$

Leitfähigkeit: mS * m⁻¹ (S = Siemens)

Widerstand: Ω *m



Geoelektrik: Summenparameter für Textur, Wassergehalt, Ionen ...



Geoelektrik

TopsoilMapper (Geoprospectors): Elektromagnetische Induktion

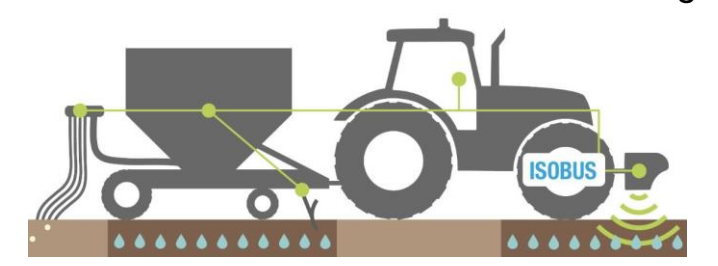




- Berührungslose ECa-Messung durch elektromagnetische Induktion in 4 kumulierten Tiefen (1 Sendespule, 4 Empfangsspulen)
- Verrechnung der ECa-Daten in relative Bodenfeuchte, Tiefe zu einer Grenzfläche, Boden(texture)zonen

- Echtzeitsteuerung (on-the-fly) der Bearbeitungstiefe (Tiefe zu Grenzfläche)

Echtzeitsteuerung von Aussaatmaschinen (Aussaatmenge an Bodenart und/oder Bodenfeuchte angepasst)

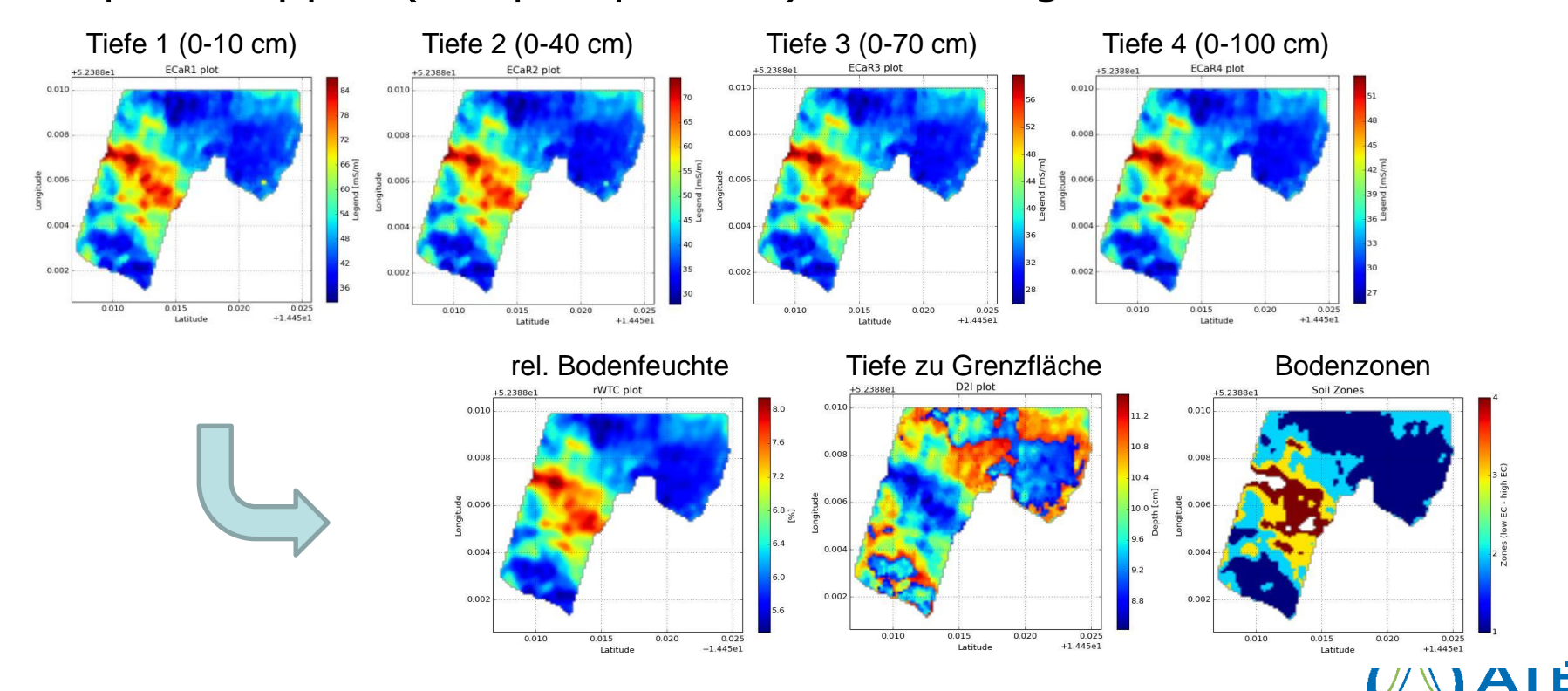


http://www.geoprospectors.com



Geoelektrik

TopsoilMapper (Geoprospectors): Ableitungen aus 4 Messtiefen



Geoelektrik

Bodenfeuchtesensor für on-the-go-Mapping (Veris iScan)



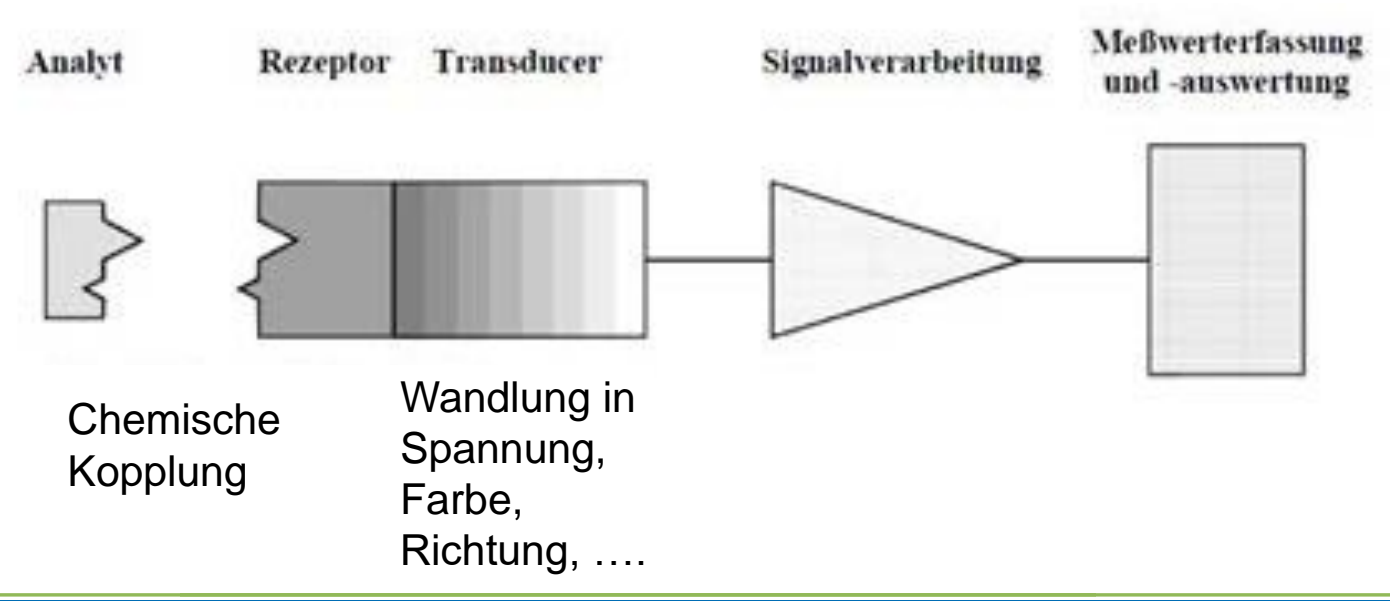


Chemische Sensoren



Grundprinzip chemischer und biologischer Sensoren

 Umwandlung chemischer Information (Struktur, Konzentration) in elektrisches Signal





Ionenselektive Elektroden (ISE): Antimon-pH-ISE

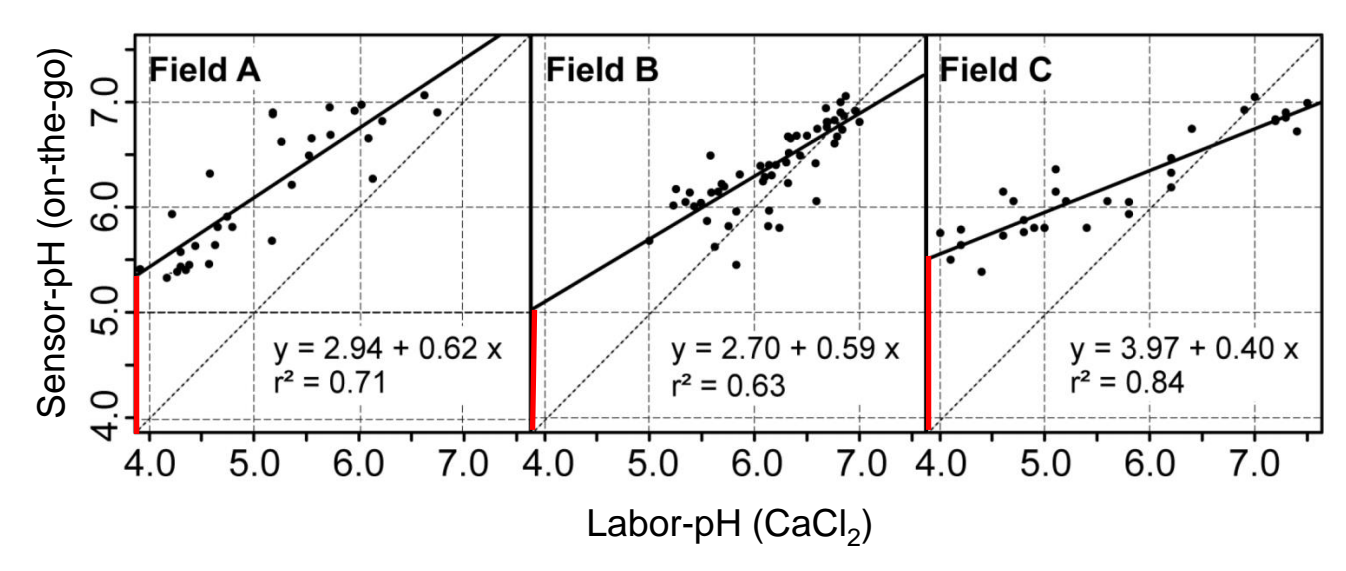


- Metall (Antimon) als
 Messelektrode → sehr
 robust für den Feldeinsatz
- misst direkt am Boden
 keine wässrige Lösung nötig





Ionenselektive Elektroden (ISE): Antimon-pH-ISE

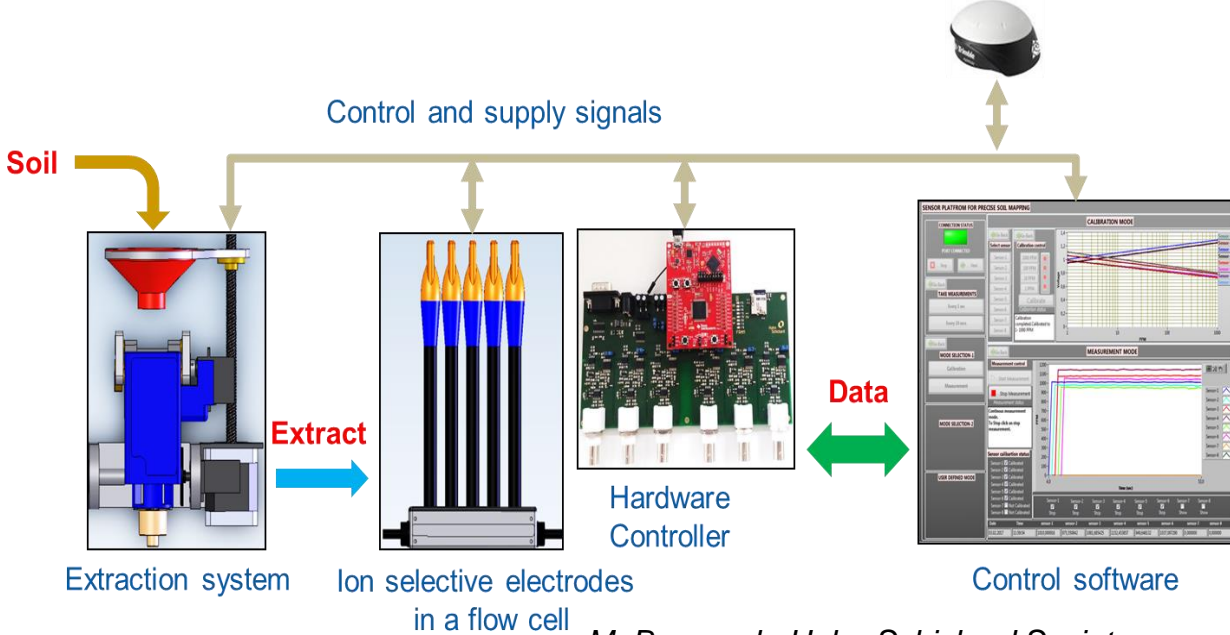


- Gute Korrelationen zwischen Sensor- und Labor-pH-Werten
- Korrelationsmodelle unterscheiden sich von Feld zu Feld → feldspezifische Kalibration nötig



Inonenslektive Elektroden (ISE) für NO₃-, NH₄+, und K+ Automatisierung





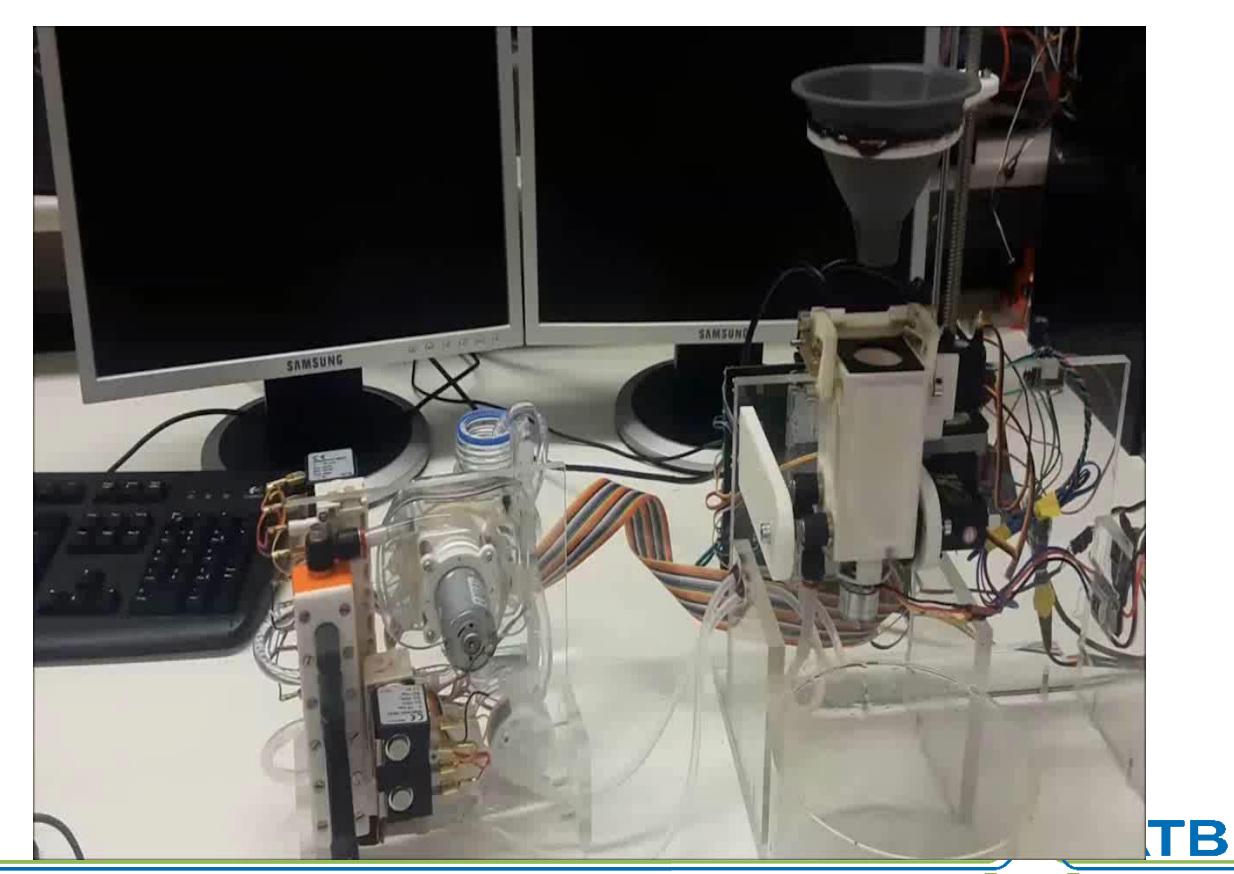
M. Bourouah, Hahn-Schickard Society



Inonenslektive Elektroden (ISE) für NO₃-, NH₄+, und

K⁺

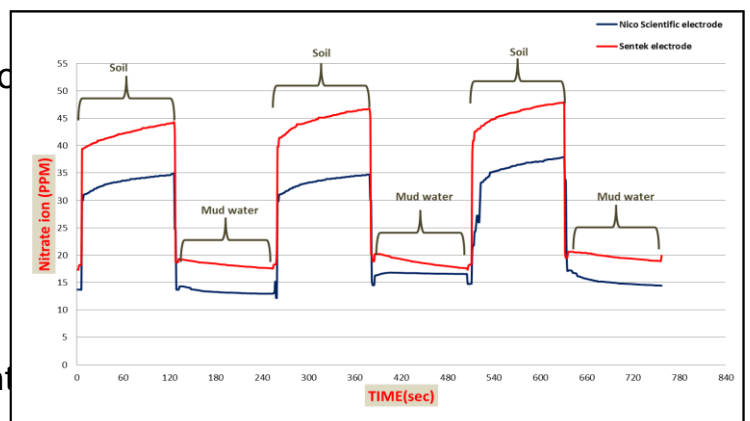
Automatisierung

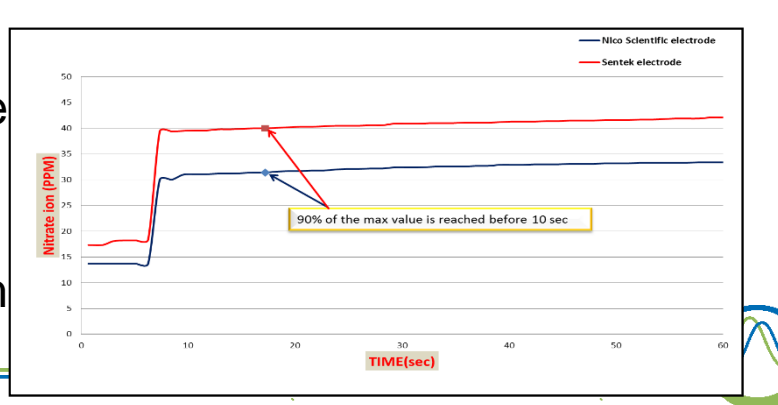




Ion-selective electrodes (ISE) Automated system

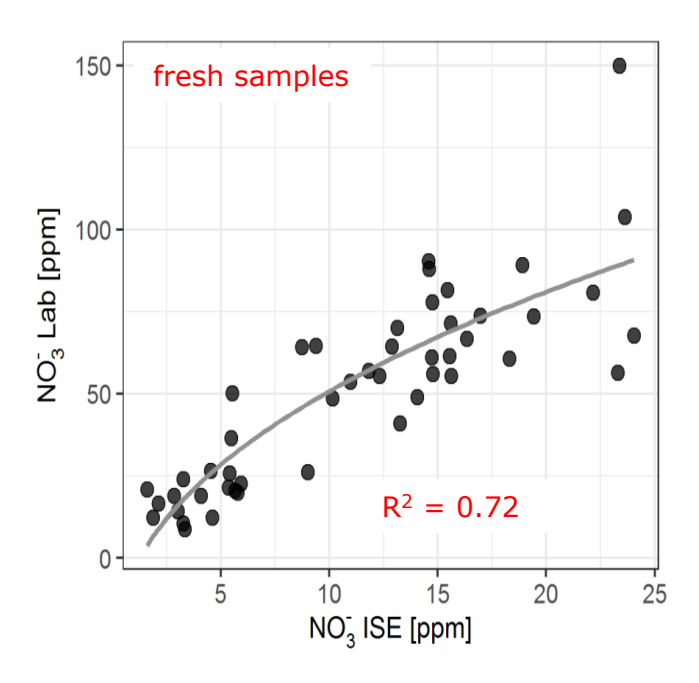
- Sensor output stabilizes after 40 to 50 seconds
- Rise time is about 10 seconds → reasonable prediction of sensor behavior
- The sensors show good reproducibility of the measurement
- Low sensor deviation during periodically measurements:
 - Below 2 ppm for nitrate
 - below1 ppm for potassium
 - 0,5 ppm for ammonium







Ion-selective electrodes (ISE) Results for NO₃

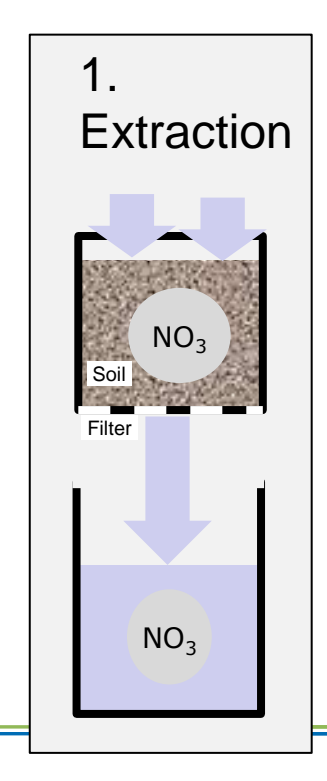


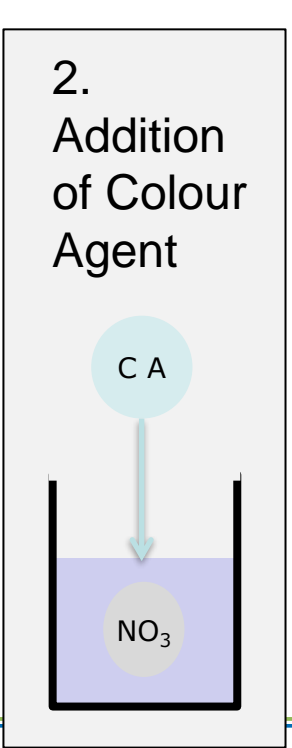




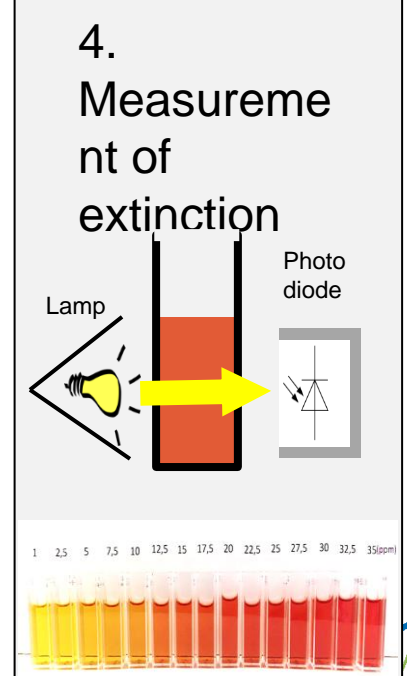
Colorimetric analysis: Principle

Colorimetric analysis determines the concentration of a chemicals in a solution with the aid of a colour reagent. The extinction at a certain wavelength is a function of the concentration of the analyte





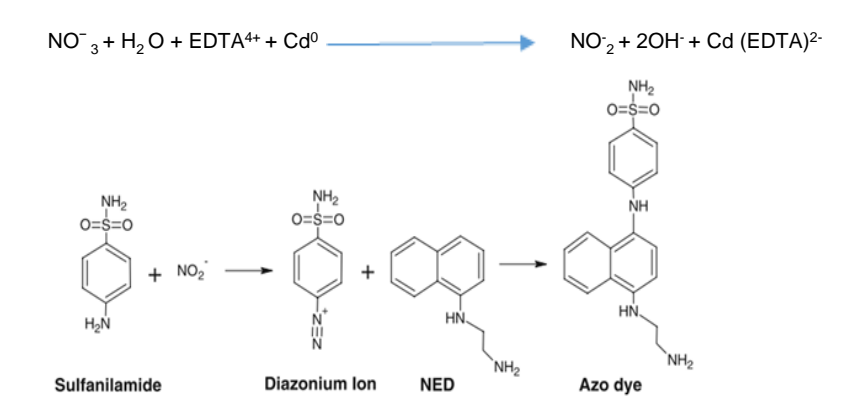


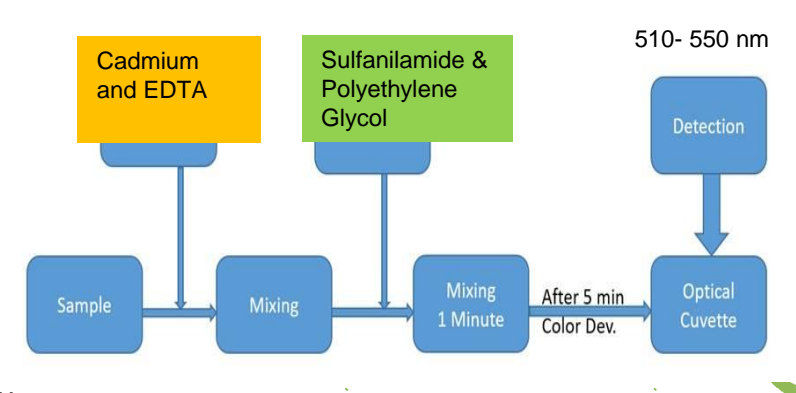




Colorimetric analysis: Cadmium reduction method for NO₃

- Cadmium reduction method procedure:
- Nitrate is reduced quantitatively to nitrite by cadmium (EDTA eliminates interference).
- Nitrite diazotizing with Sulfanilamide and with Polyethylene glycol to form a highly coloured azo dye
- Colorimetry at 510 to 55 nm
- Advantages:
- Applicable for a wide range of NO3 concentrations,
- · Relatively fast reaction,
- Long stability







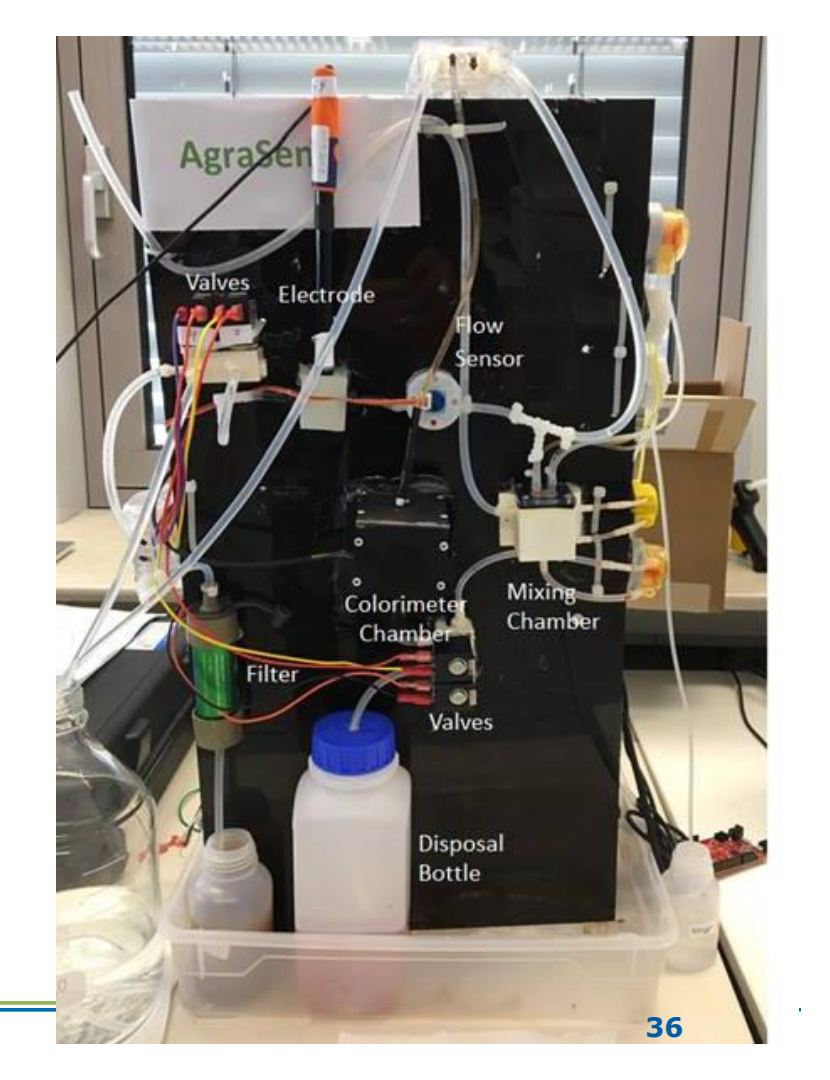
M. Bourouah,
Hahn-Schickard Society

35

Colorimetric analysis: Cadmium reduction method system for NO₃⁻

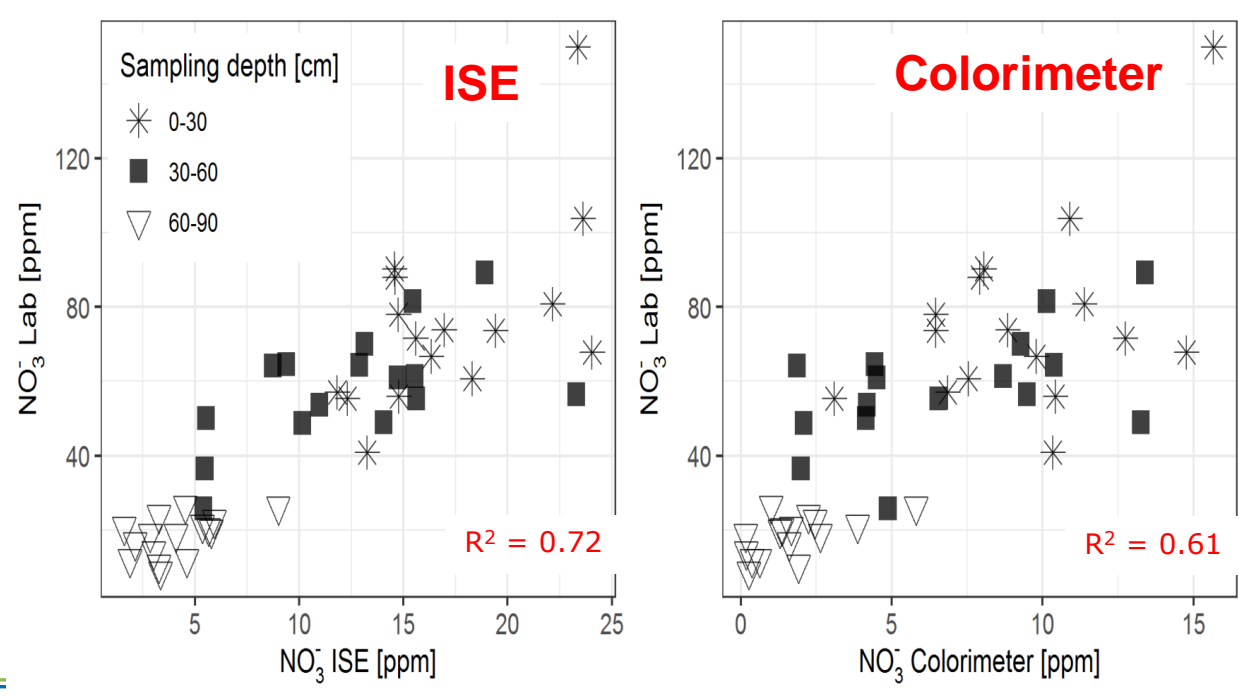


M. Bourouah, Hahn-Schickard Society



NO₃ sensing: Comparison of ISE and colorimetry

Sandy soil, Northeast Germany 4 levels of nitrogen fertilisation, 4 repetitions each sampling date 23.02.18

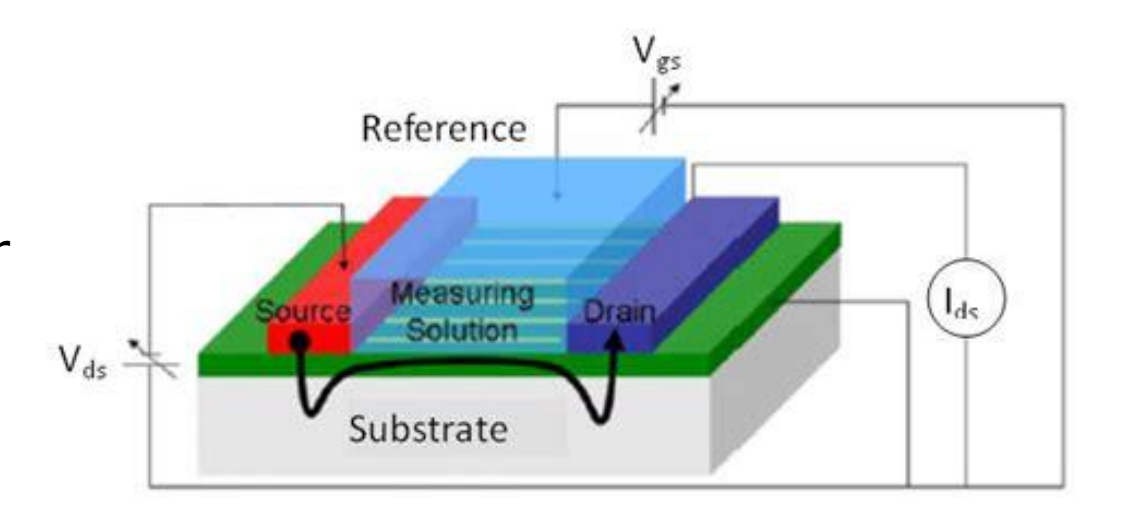






Ionenselektive Feldeffek-Transistoren ISFET

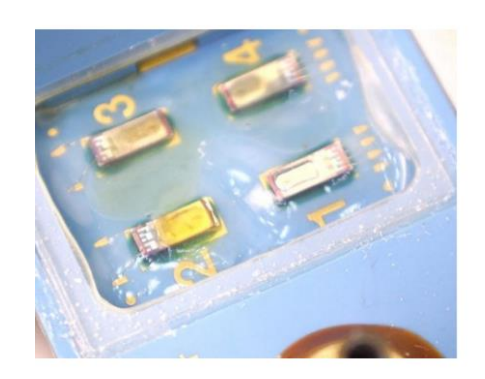
- Halbleitertechnik
- Kostengünstige Massenproduktion
- Selektive Membranen für verschiedene Ionen vorhanden (PO4 ...)
- Mechanisch Empfindlich
- Drift

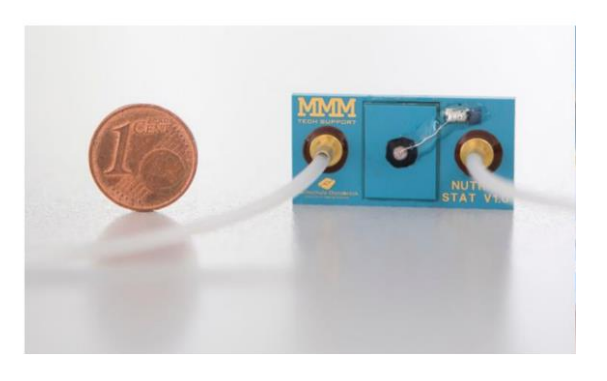




Ionenselektive Feldeffek-Transistoren ISFET Projekt soil2data

Extraktionsmitteltyp nach VDLUFA





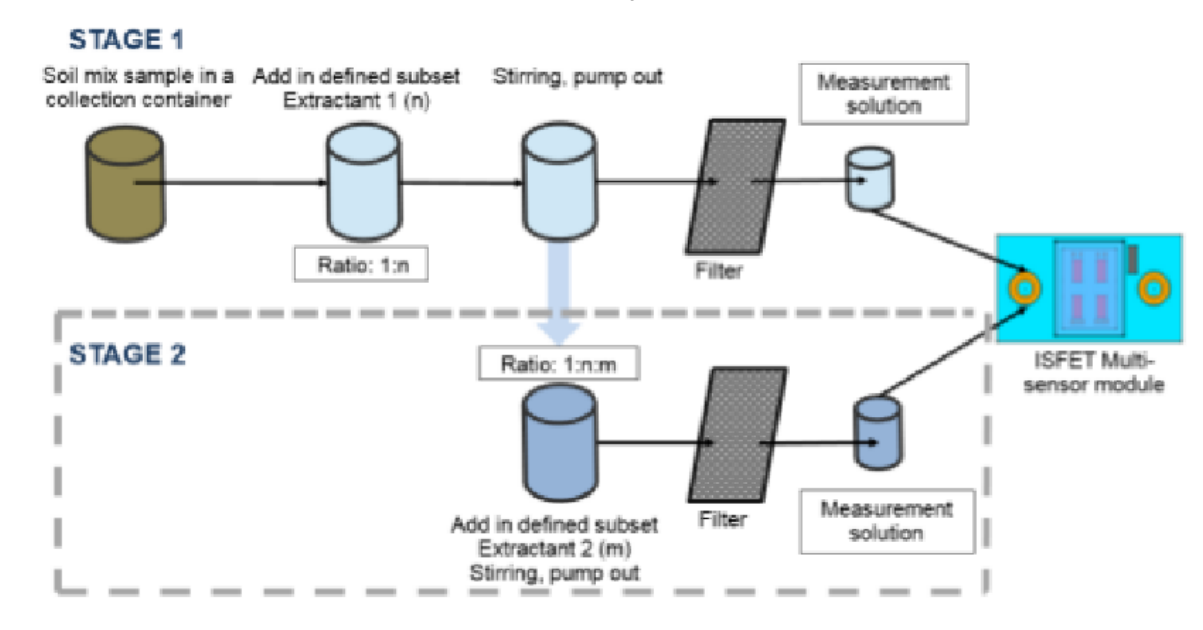
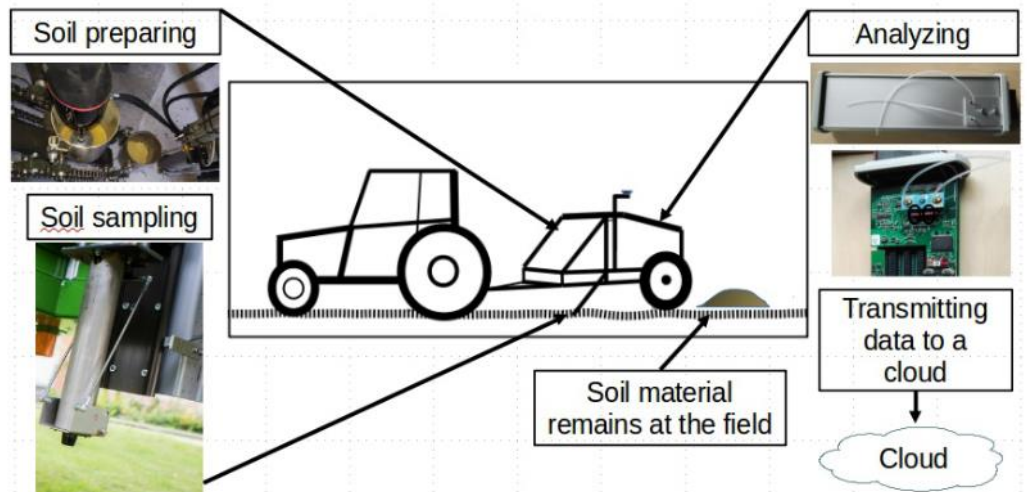


Fig. 3: "soil2data" soil preparation and nutrient extraction procedure



ISFET: soil2data Projekt







Weitere chemische und biologische Sensoren

Chemisch

Kapillarelektrophorese

Biologisch

- Bioelectric Recognition Assay (BERA): Immobilisierte Zellen
- Surface Imprinted Polymer (SIP): Plastik-Antikörper
- Loop-mediated isothermal Amplification (LAMP): DNA

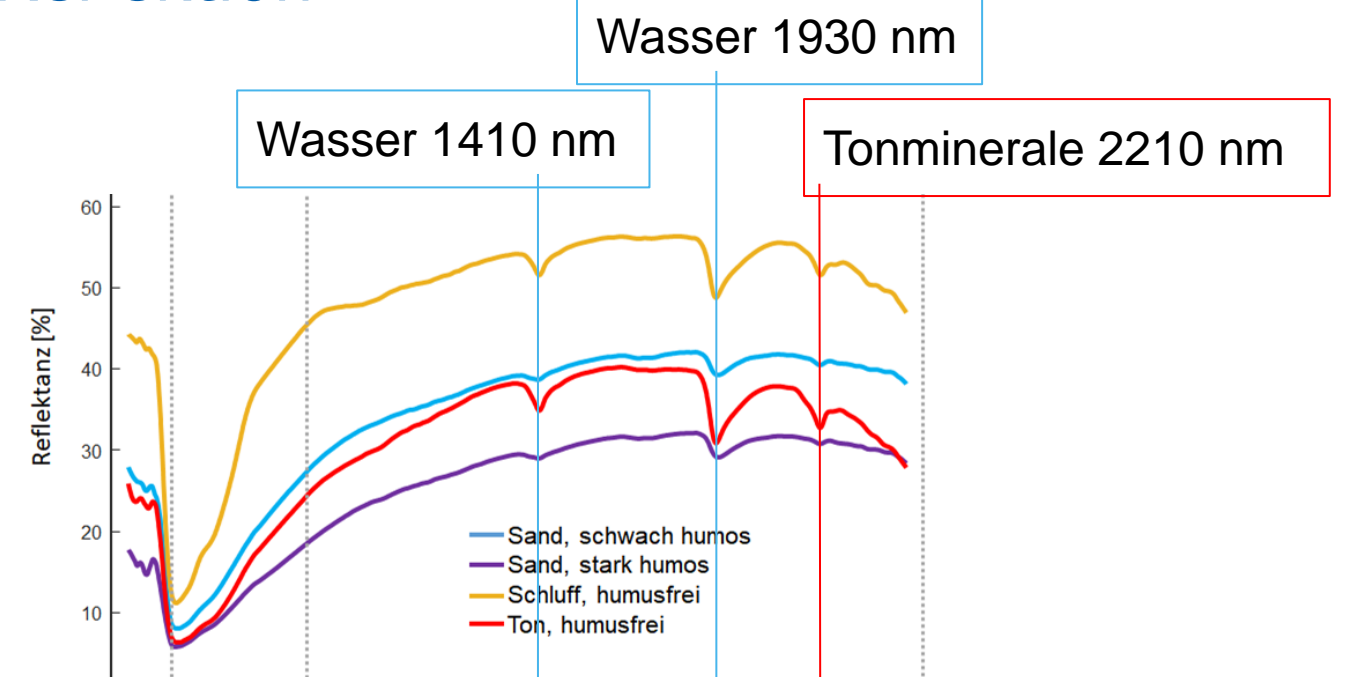
Alle benötige gefilterte Extrakte aus der Bodenprobe Probenahme, Dosierung, Mischung, Filterung, Pumpen ATB

30.04.2024

Optische Sensoren



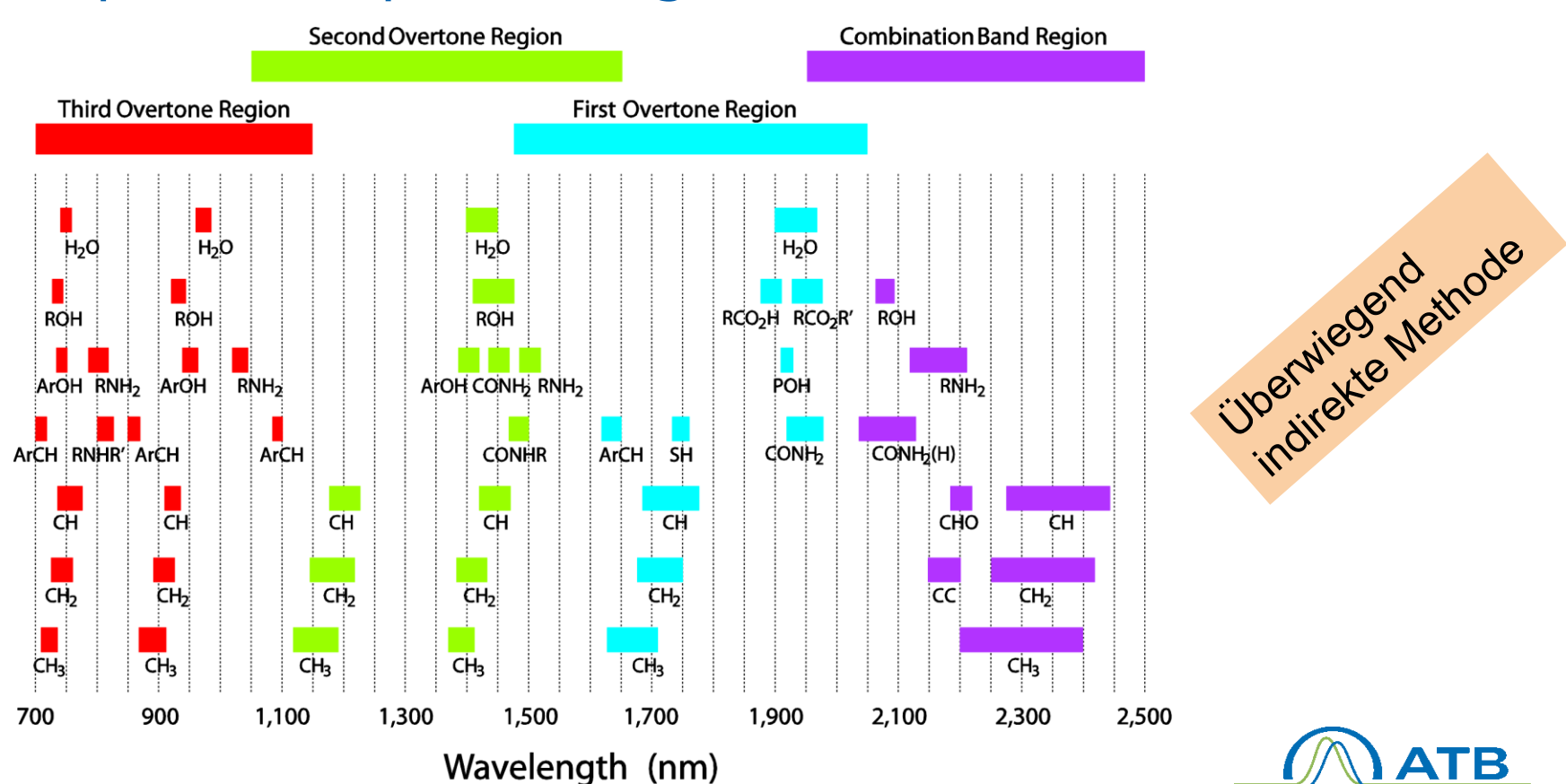
Vis-NIR Spektroskopie Diffuse Reflektion



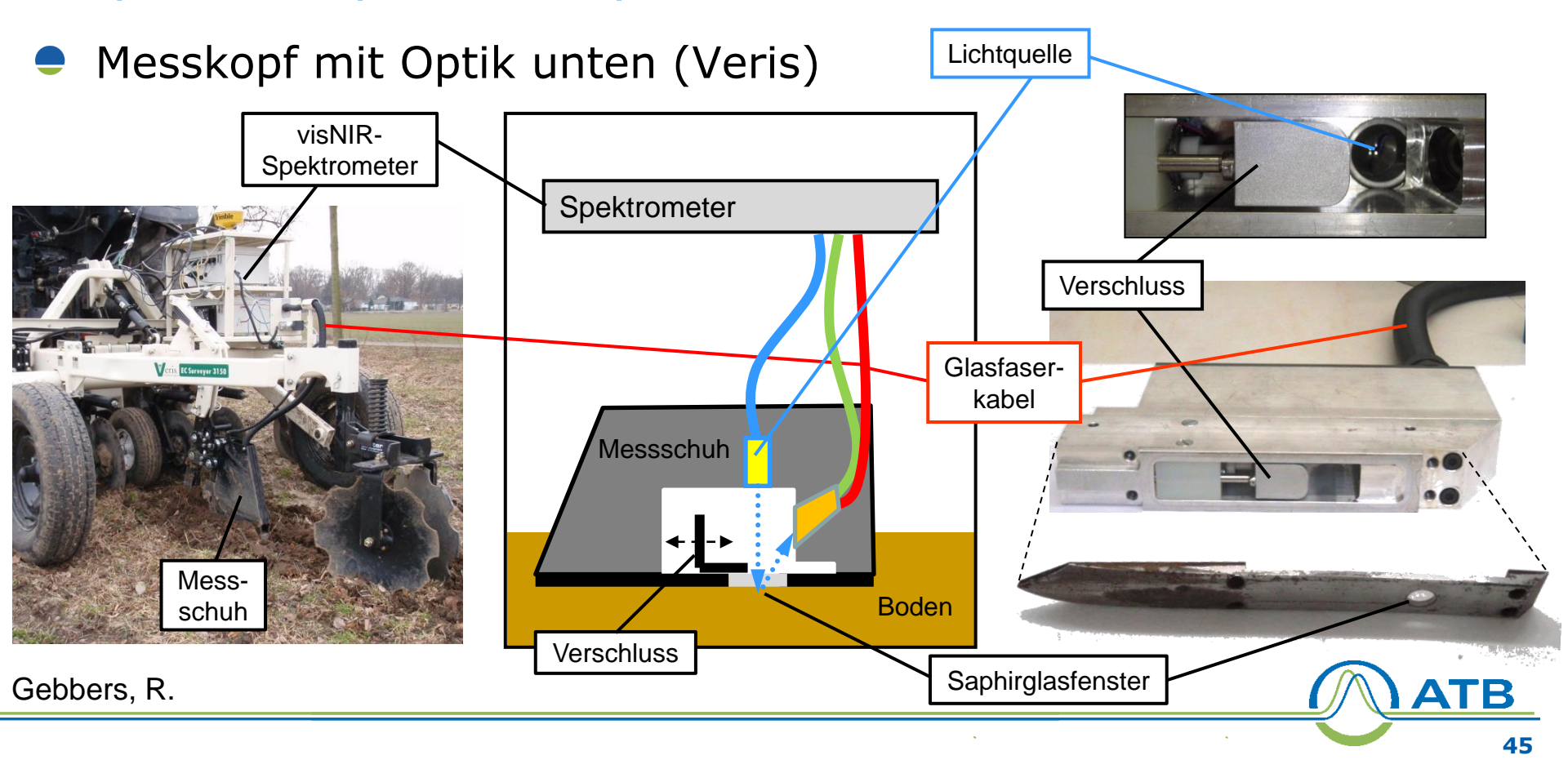
`\$

Wellenlänge [nm]

NIR-Spektroskopie: Bezüge



Optische Spektroskopie: visNIR

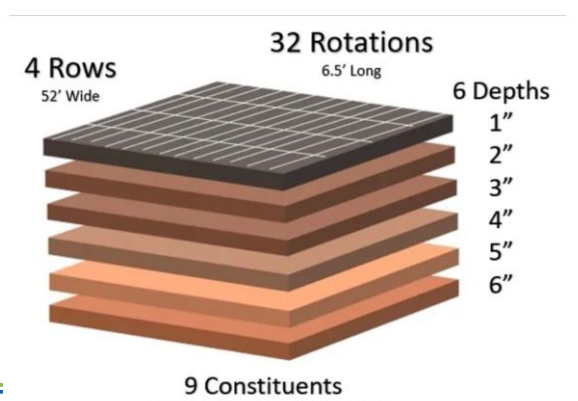


NIR-Sensor SoilReader

- Messrad mit seitlicher Optik
- Mehrere Schichten im Oberboden
- Kalibrierung für 9 Inhaltsstoffe
- Online-fähig

https://soilreader.com/



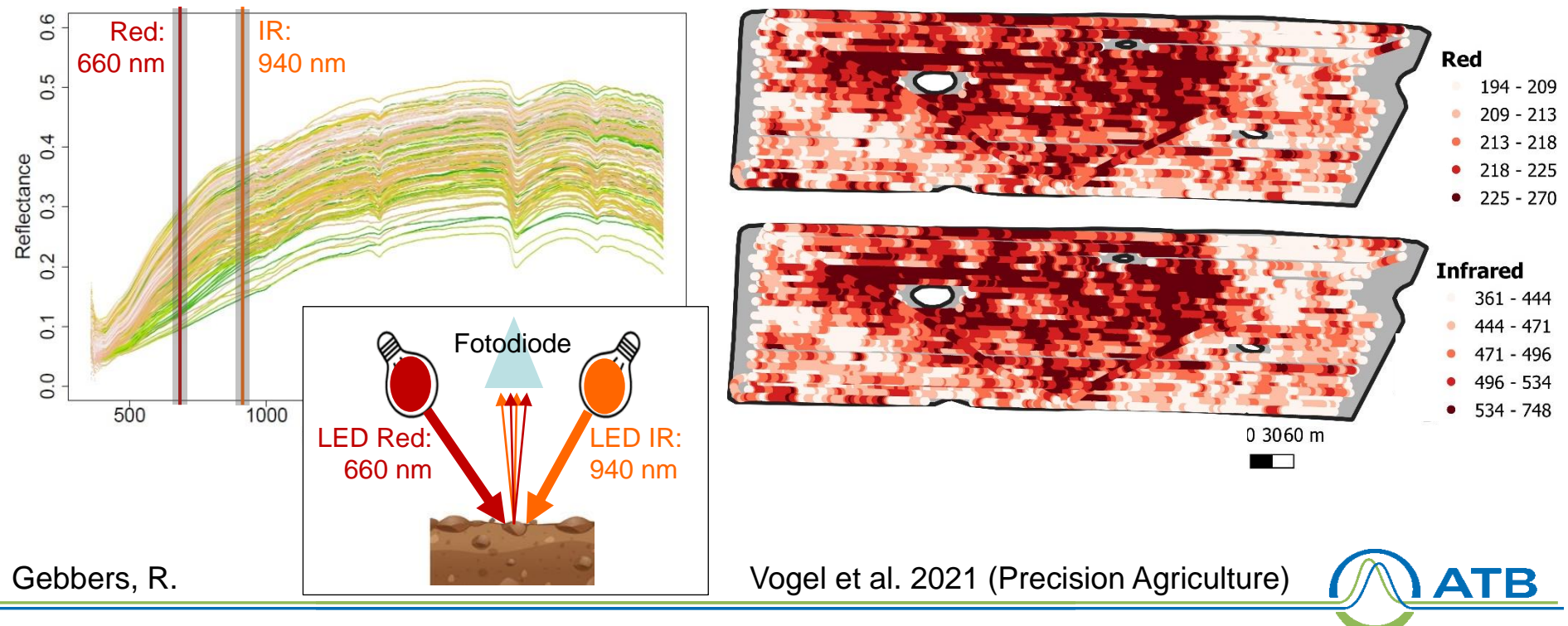




N P K pH OM Moisture Clay Sand EC

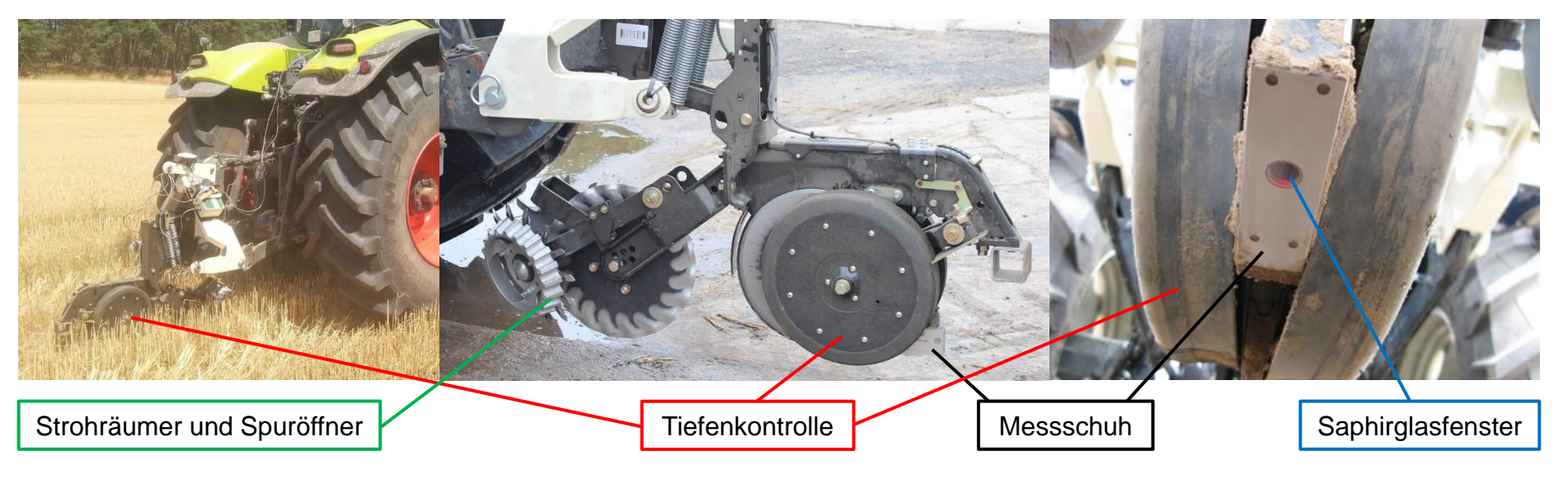
Optische Spektroskopie: visNIR vereinfacht

Zwei Wellenlängen für Humusgehalt: Veris OpticMapper



Optische Spektroskopie: VisNir vereinfacht

Humusgehalt mit Veris OpticMapper



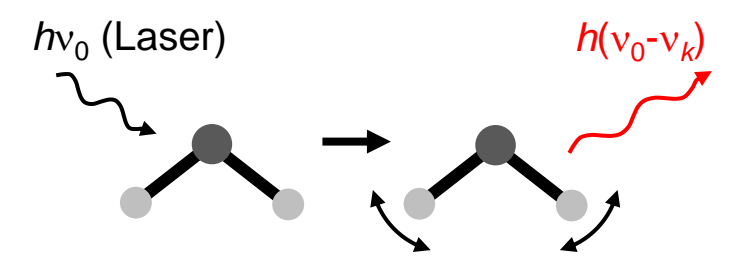


Optische Spektroskopie: Raman-Spektroskopie



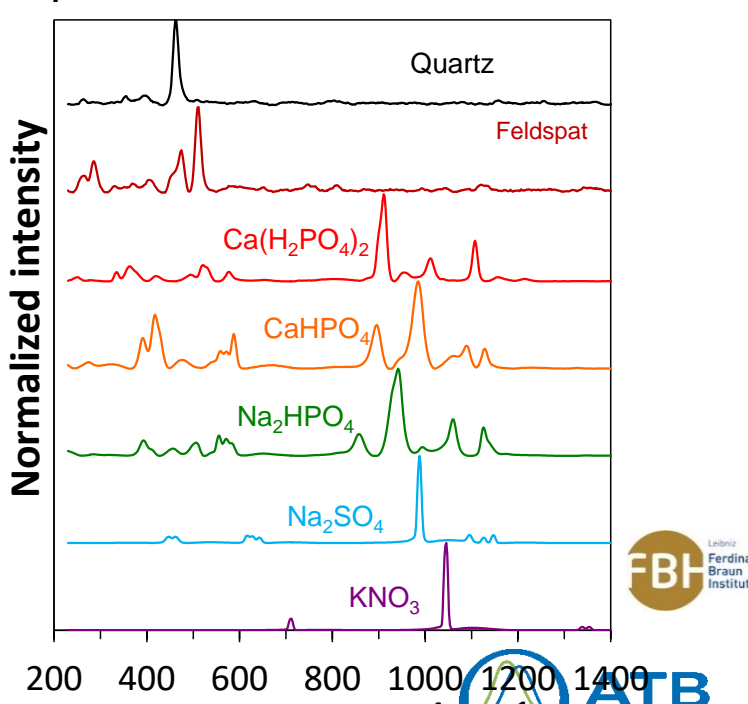
Raman-Spektroskopie: Prinzip und Spektren von relevanten Reinsubstanzen

Raman-Spektroskopie beruht auf inelastischer Streuung von Laser-Licht

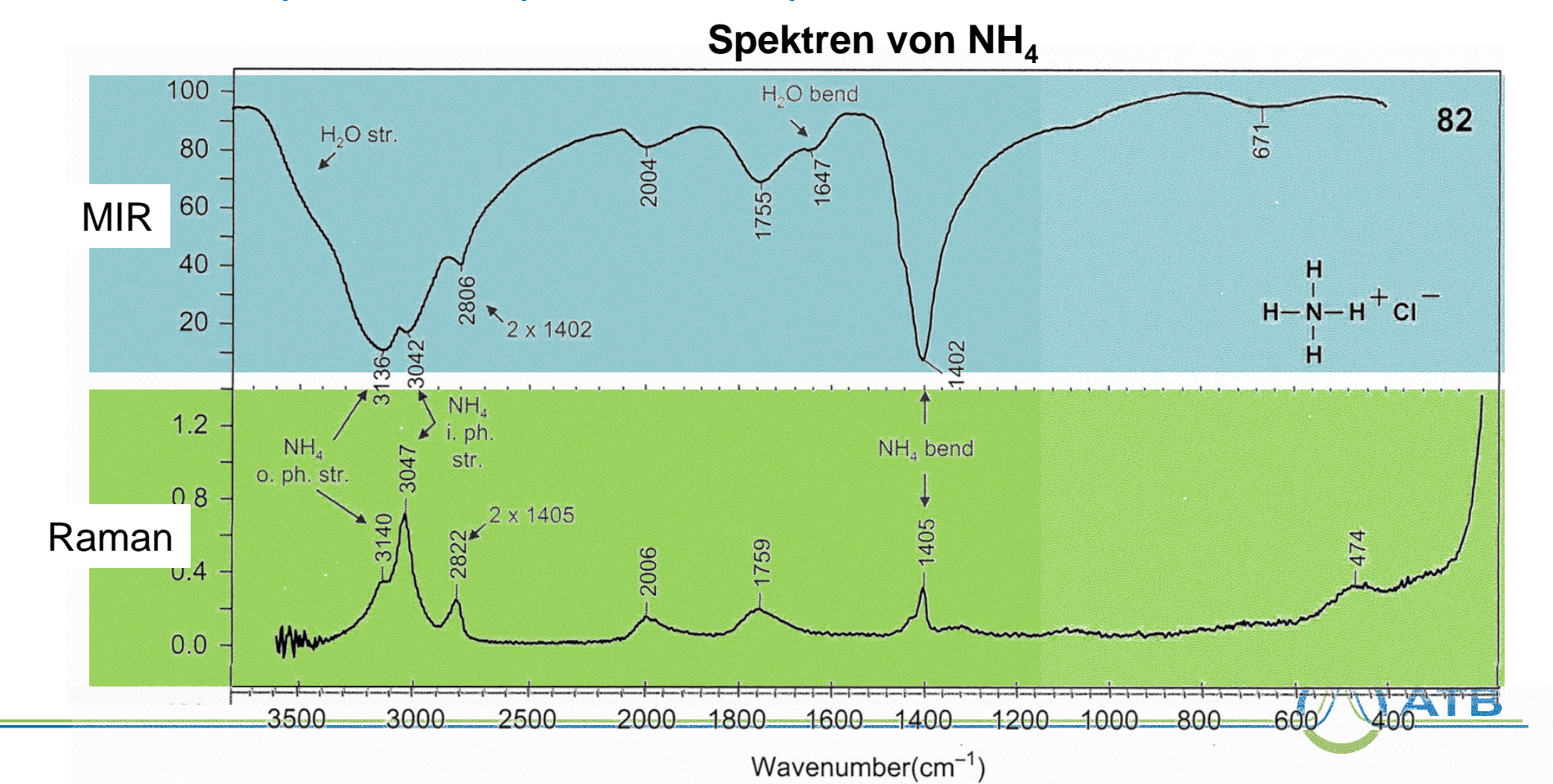


- 1. Auslösung molekularer Schwingungen
- 2. Gestreute Photonen haben geänderte Energie und somit andere Wellenlänge
- 3. Das resultierende Spektrum ist für jedes Molekül einzigartig

Spektren von Reinsubstanzen

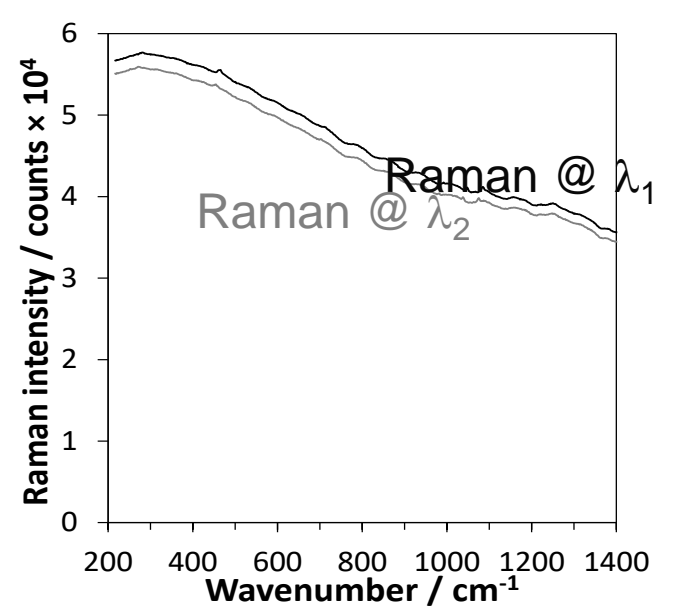


Raman-Spektroskopie: Korrespondenz zu mittlerem IR



Raman-Spektroskopie: Problematik bei Messung an Böden und Lösung durch SERDS

Tone und organische Substanzen erzeugen starke Fluoreszenz welche die Raman-Peaks überlagern



Lösung

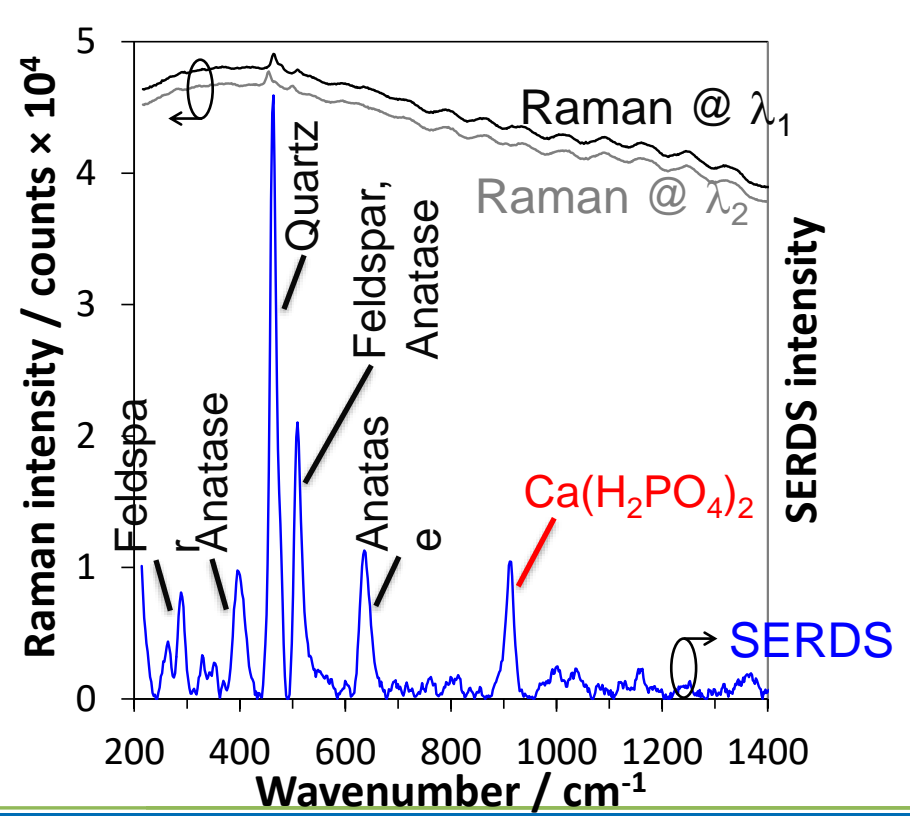
- Nutzung von zwei Lasern mit sehr ähnlichen Wellenlängen
- Dadurch warden nahezu identische Fluoreszenzspektren erzeugt
- Durch Subtraktion der Spektren bleiben die Raman Peaks übrig

Shifted Excitation Raman Difference Spectroscopy (**SERDS**)





Raman-Spektroskopie: Problematik bei Messung an Böden und Lösung durch SERDS



Beispiel

Identifikation von Mineralen:

- Quartz
- Anatas
- Feldspat
- Erfassung von Phosphat Ca(H₂PO₄)₂





Raman-Spektroskopie: SERDS System für *in-situ* Bodenuntersuchung

Hauptkomponenten

- Speziell entwickelte Dioden-Laser mit zwei Wellenlängen
- Robuster Sensorkopf, mit Kabel gekoppelt
- Spektrometer mit Detektor in robusten Gehäuse





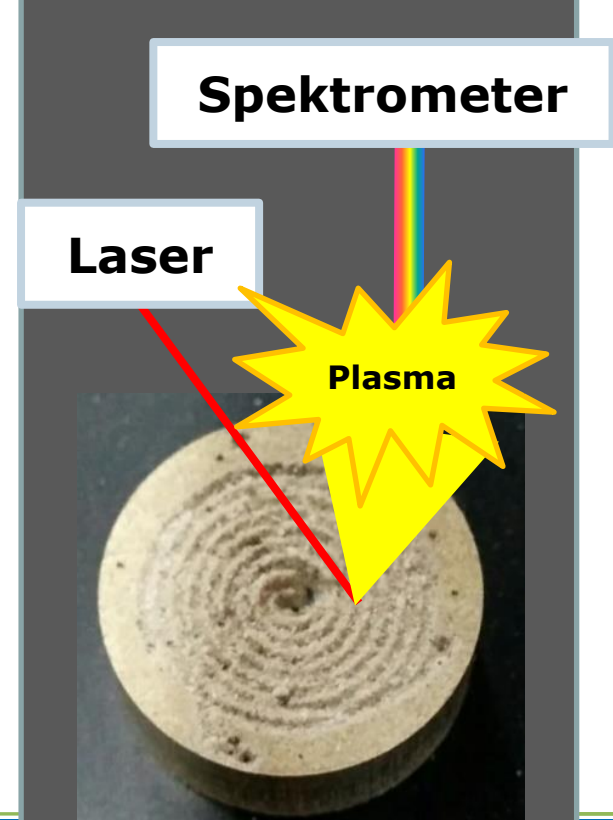


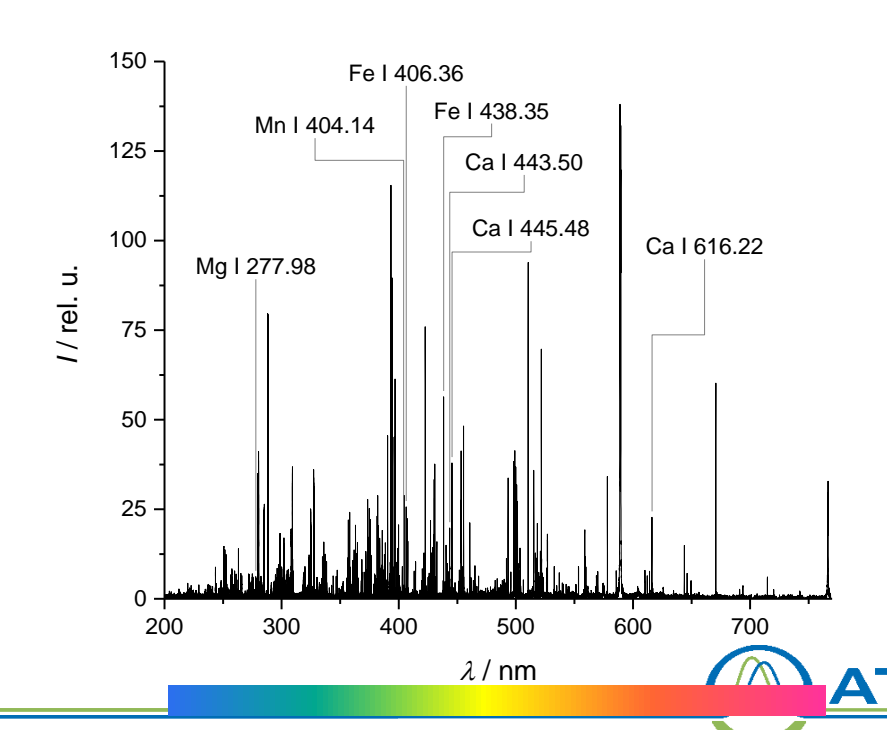


Optische Spektroskopie: LIBS



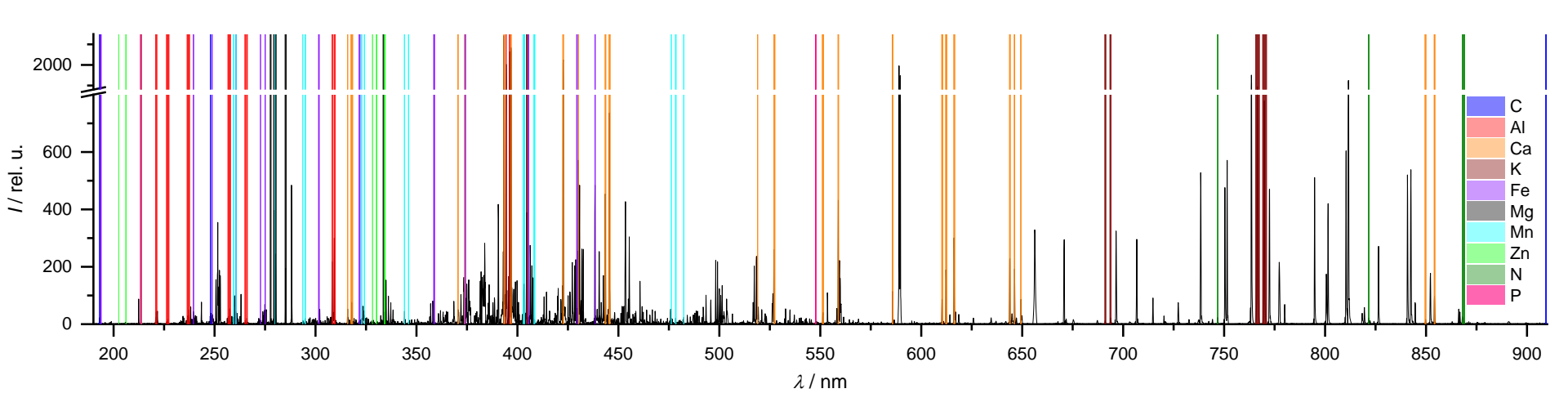
Mobile Elementanalytik mittels Laserinduzierter Plasmaspektroskopie (LIPS, LIBS)





Mobile Elementanalytik mittels Laserinduzierter Plasmaspektroskopie (LIPS, LIBS)

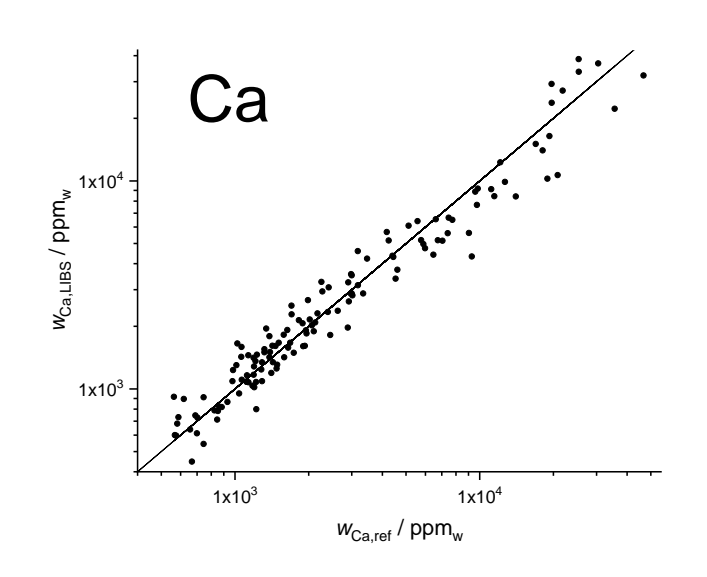
LIB-Spektrum einer Bodenprobe

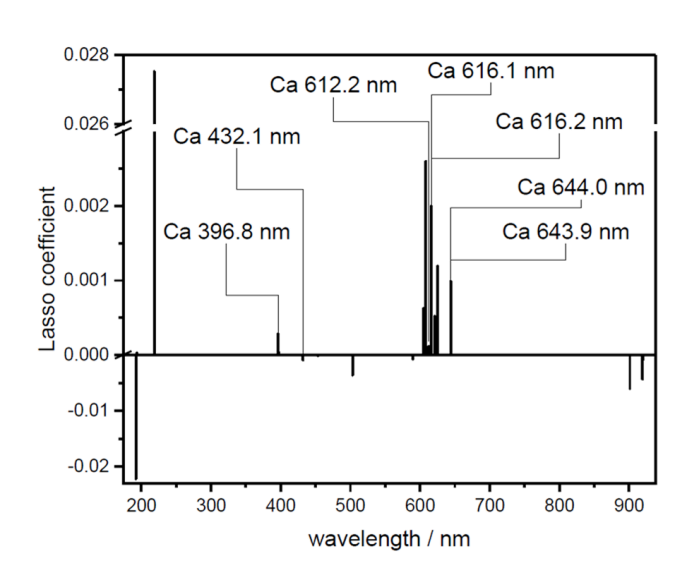






Mobile Elementanalytik mittels Laserinduzierter Plasmaspektroskopie

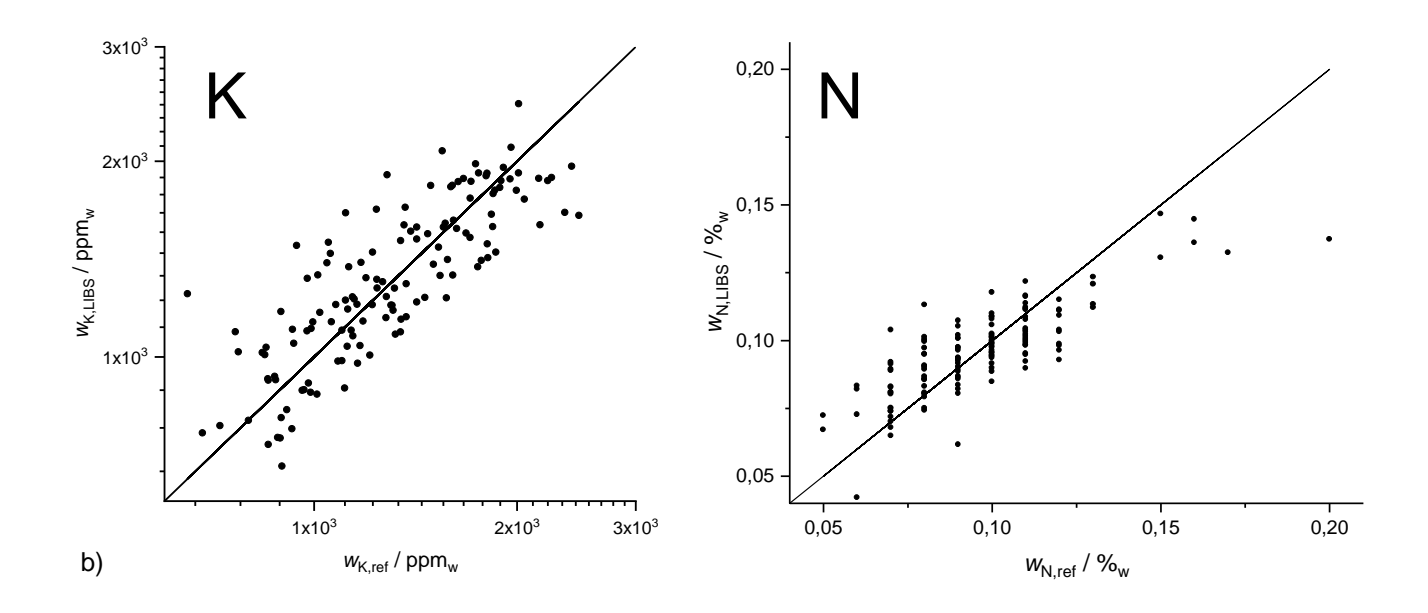




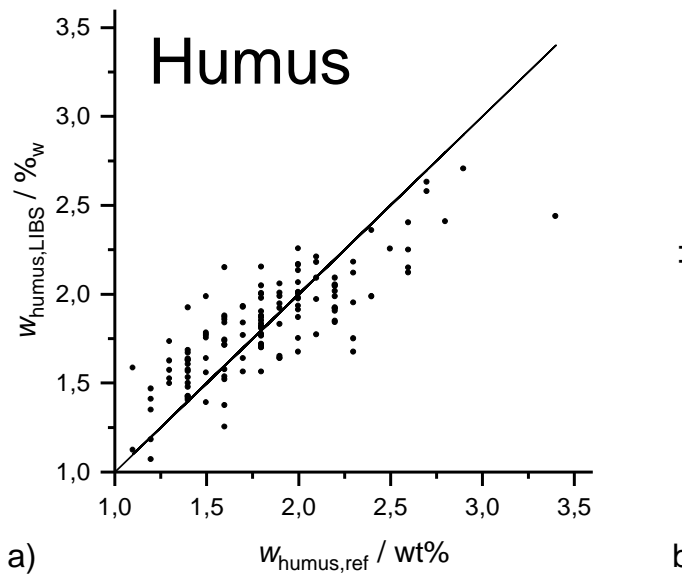


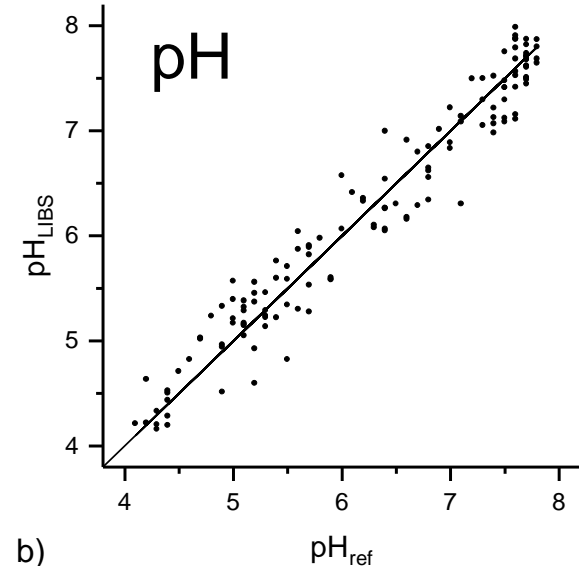


Mobile Elementanalytik mittels Laserinduzierter Plasmaspektroskopie



Mobile Elementanalytik mittels Laserinduzierter Plasmaspektroskopie

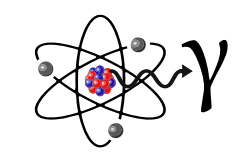








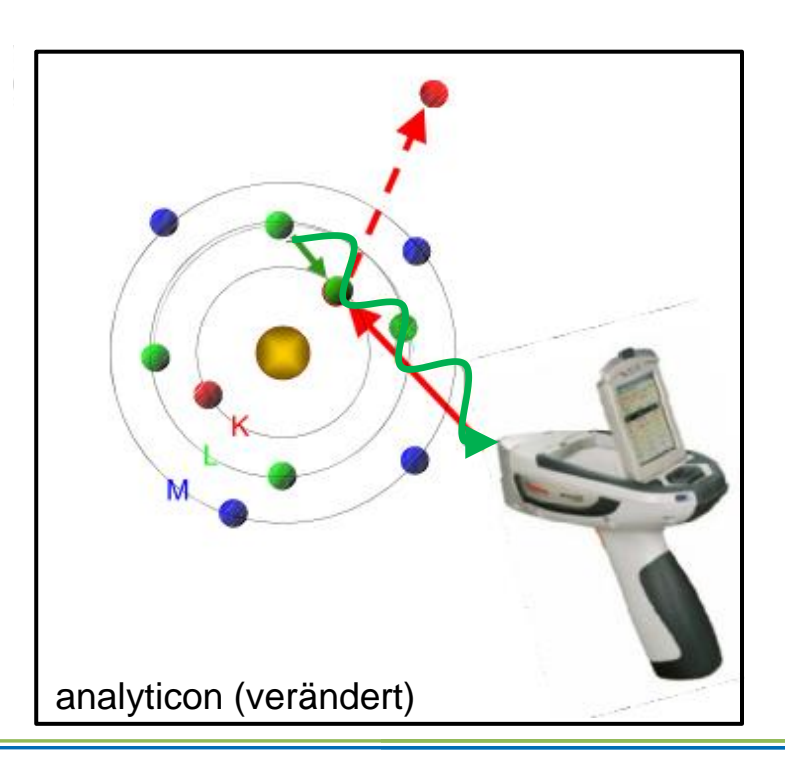
Sensoren für ionisierende Strahlung





30.04.2024

Röntgenfluoreszenzanalyse, RFA (Elementgesamtgehalte):



- Anregung von Elektronen durch hochenergetische Röntgenstrahlung
- Herausschlagen von Elektronen aus der Atomhülle ─ ─
- 3. Ersatz durch Elektronen aus höherer Schale (Energieniveau)
- 4. Energiedifferenz als Photonen abgegeben (Fluoreszenzstrahlung, Energieabgabe charakteristisch für Atom eines bestimmten Elements)

Röntgenfluoreszenzanalyse, RFA (Elementgesamtgehalte):

	Hauptgruppen Modus Minerale												Hauptgruppen					
	_	Modus Minerale										III	IV	v	VI	VII		
1.	H 1 Wasser- stoff		nicht messbar kein Standardelement															
	Li	Be			Standar	rd-Filter			Niedrig-Filter						С	N	О	F
2.	3	4												5	6	7	8	9
	Lithium	Beryllium	Leicht-Filter Hoch-Filter											Bor	Kohlen- stoff	Stick- stoff	Sauer- stoff	Fluor
	Na	Mg												Al	Si	Р	s	CI
3.	11	12		Nebengruppen										13	14	15	16	17
	Natrium	Magne- sium		Шb	IV b	V b	VIЬ	VII b		VIII b		Ιb	ΠЬ	Aluminium	Silicium	Phosphor	Schwefel	Chlor
	K	Ca		Sc	Ti	٧	Cr	Mn	Fe	Co	Ni	Cu	Zn	Ga	Ge	As	Se	Br
4.	19	20		21	22	23	24	25	26	27	28	29	30	31	32	33	34	35
	Kallum	Calcium		Scandium	Titan	Vanadium	Chrom	Mangan	Esen	Kobalt	Nickel	Kupfer	Zink	Gallium	Germa- nium	Arsen	Selen	Brom
	Rb	Sr		Υ	Zr	Nb	Мо	Тс	Ru	Rh	Pd	Ag	Cd	ln	Sn	Sb	Te	- 1
5.	37	38		39	40	41	42	43	44	45	46	47	48	49	50	51	52	53
	Rubidium	Strontium		Yttrium	Zirconium	Niob	Molybdän	Techne- tium	Ruthenium	Rhodium	Paladium	Silber	Cadmium	Indium	Zinn	Antimon	Tellur	lod
	Cs	Ba		Lu	Hf	Ta	W	Re	Os	lr	Pt	Au	Hg	TI	Pb	Bi	Po	At
6.	55	56		71	72	73	74	75	76	77	78	79	80	81	82	83	84	85
	Caesium	Barium		Lutetium	Hafnium	Tantal	Wolfram	Rhenium	Osmium	Iridium	Pletin	Gold	Queck- silber	Thallium	Blei	Wismut	Polo- nium	Astat

Fluoreszenzstrahlung steigt mit Ordnungszahl der Elemente → Elementerfassung abhängig von Atomgewicht/ -durchmesser und Filtereinstellung

analyticon



Röntgenfluoreszenzanalyse, RFA (Elementgesamtgehalte):

Direkte Erfassung von:

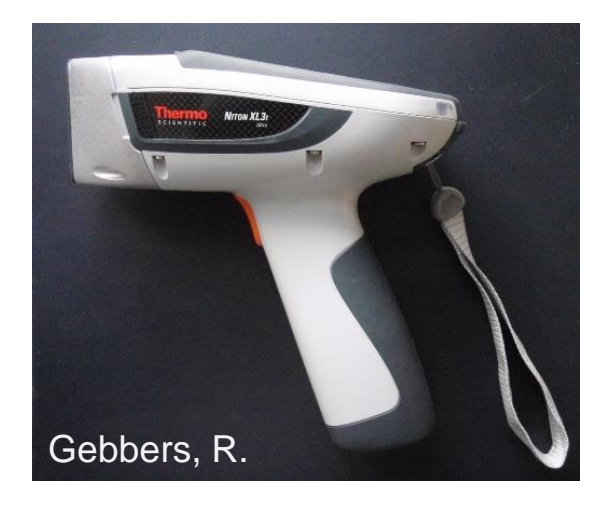
- Gesamtgehalten von Nährstoffen wie Mg, P, S, K, Ca (Gebbers & Schirrmann 2015),
- Schwermetalle (Ulmanu et al. 2011),

Indirekte Erfassung von:

- pH-Wert über die Ca-Konzentration (Sharma et al. 2014; Gebbers & Schirrmann 2015),
- Organischen Kohlenstoff (Humus) & Stickstoff über die S-Gehalt (Gebbers & Schirrmann 2015),
- Kationenaustauschkapazität (Sharman et al. 2015),
- Tongehalt über die Fe-Konzentration (Zhu, Weindorfer & Zhang, 2011; Gebbers & Schirrmann, 2015)

Nachteile: - Sicherheitsanforderungen durch den **Strahlenschutz**

- im Vergleich zu optischen Verfahren lange Messzeit von 1 bis 2 Minuten



Gamma-Spektroskopie



Gamma-Spektroskopie

Analyse der Gamma-Strahlung aus dem Zerfall von Radionukliden

Haupt-Nuklide (natürlich):

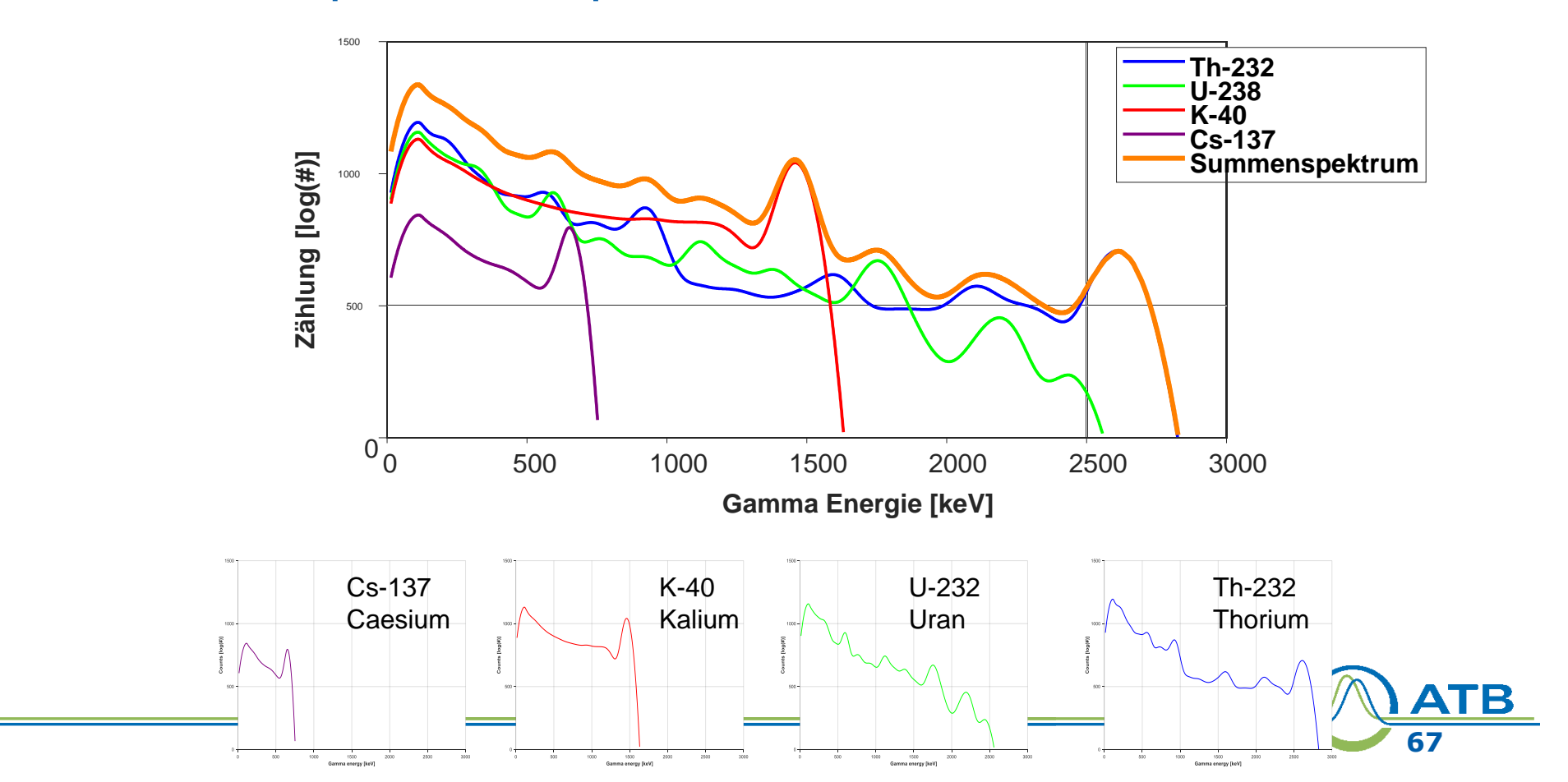
- Uran-238 (²³⁸U)
- Kalium-40 (⁴⁰K)
- Thorium-232 (232Th)

Cs aus Atomkraft und Atombomben

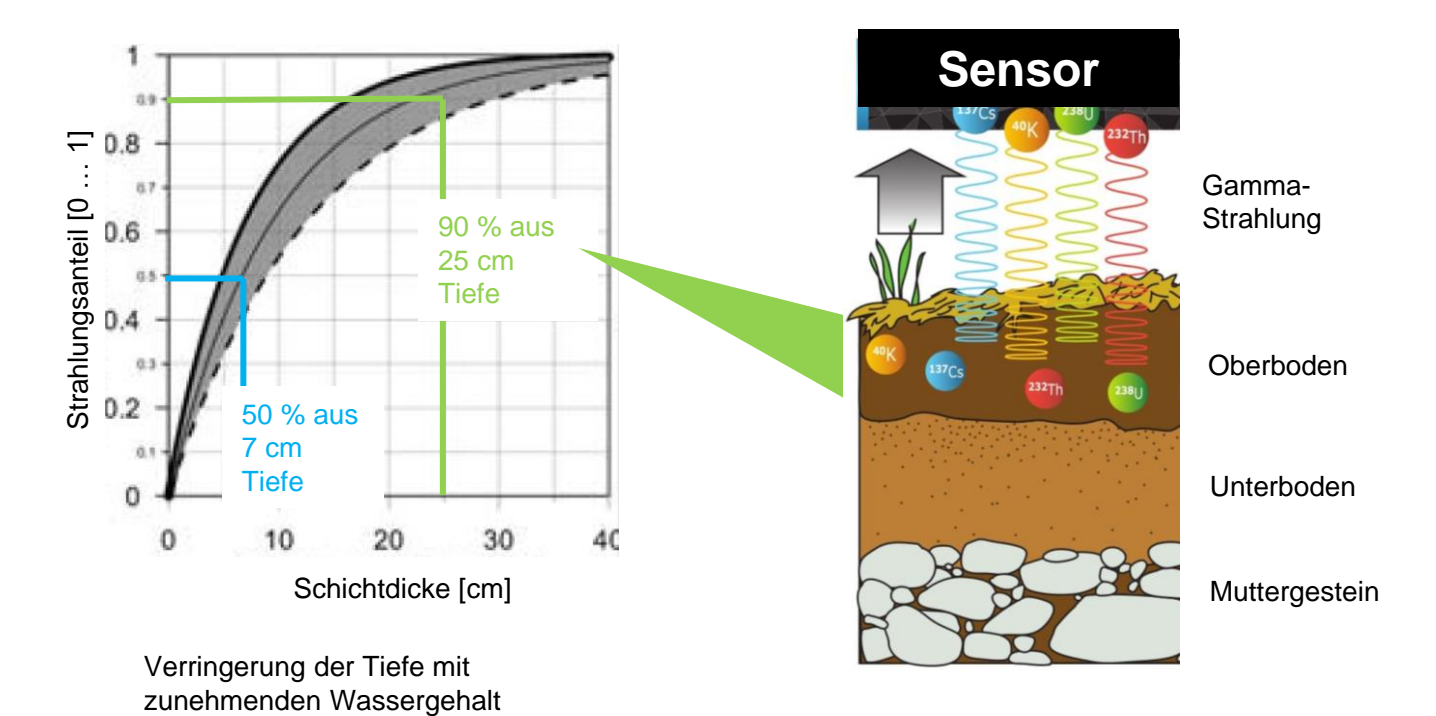
Die höchsten Werte in Mittelgebirgen (bis zu 1,3 mSv/Jahr), niedrigsten in Norddeutschland (ca. 0,25 mSv/Jahr).



Gamma-Spektroskopie



Gamma-Spektroskopie: Herkunft des Signals





Gamma-Spektroskopie: Zusammenhang mit Bodeneigenschaften Nährstoffe Humus ... Kalium-Mineralische Kalium-40-Ton gehalt Zerfall Zusammensetzung Uran-238-Uran-Weiter gehalt Zerfall Bestandteile Thorium-Thorium-232-Zerfall gehalt Fall-Out aus Caesium-137-Zerfall Atomkraft/Bomben allgemeine Wasser Dämpfung 69

Gamma-Spektroskopie: Geräte

Medusa MS-2000 bzw. SoilOptix

- Robuster Csl-Kristall, 9*31 cm
- 12,5 kg
- Hersteller Medusa, NL

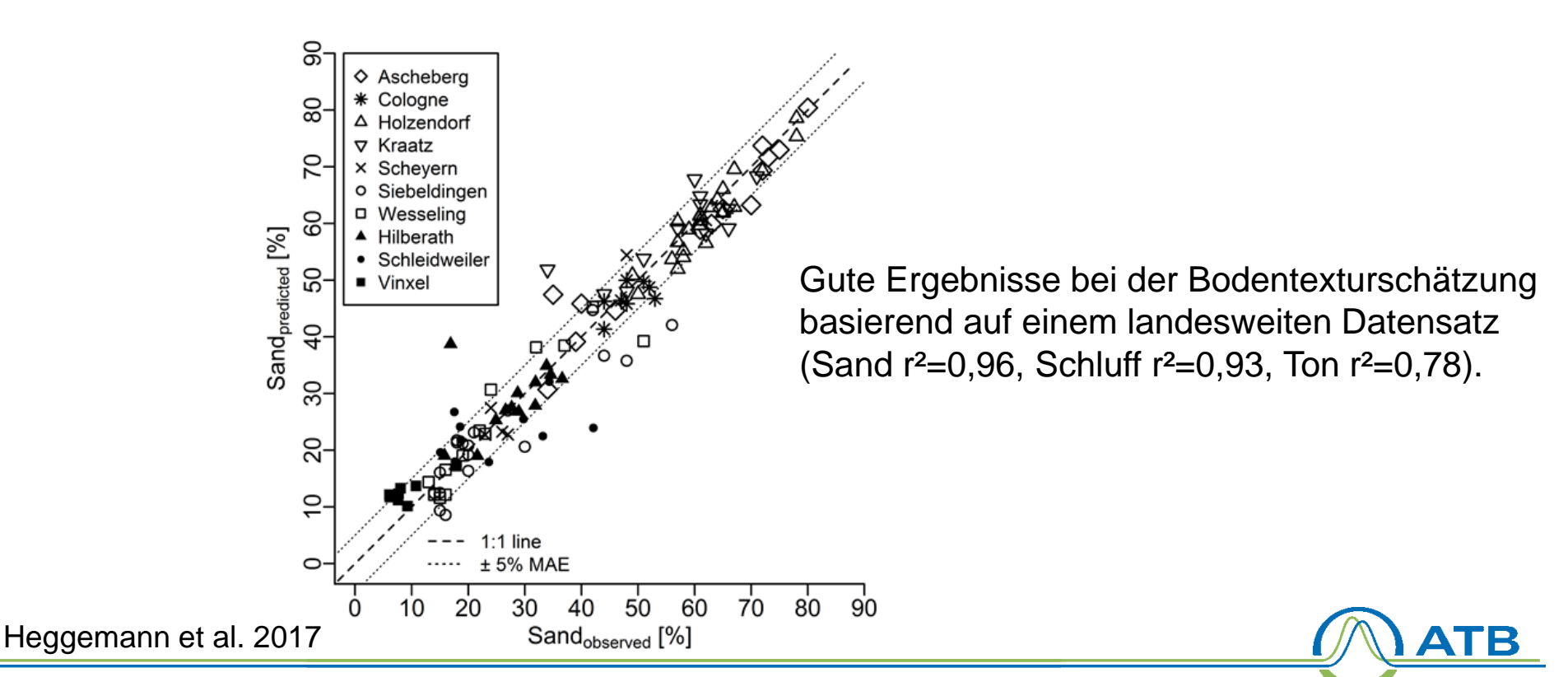
Dienstleistung SoilOptix, Kanada Partner in Deutschland: geo-konzept Behauptet Schätzung von bis zu 25 Parametern, u.a.:

- Textur (Ton, Lehm, Sand)
- Humus
- pH
- P, K, Mg, Ca
- Lagerungsdichte
- Verfügbares Wasser





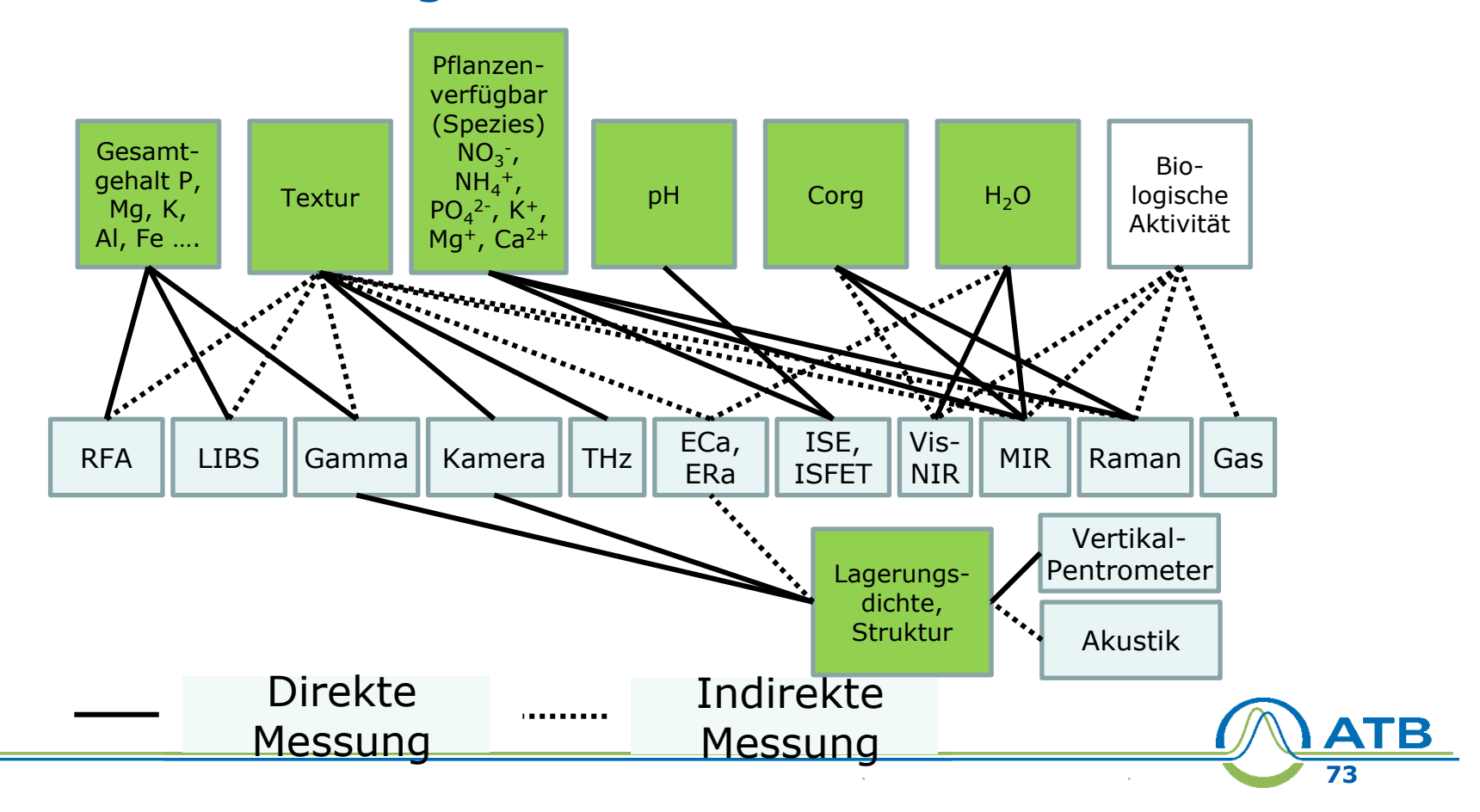
Gamma-Spektroskopie: Erfassung der Textur



Übersicht zu Sensoren



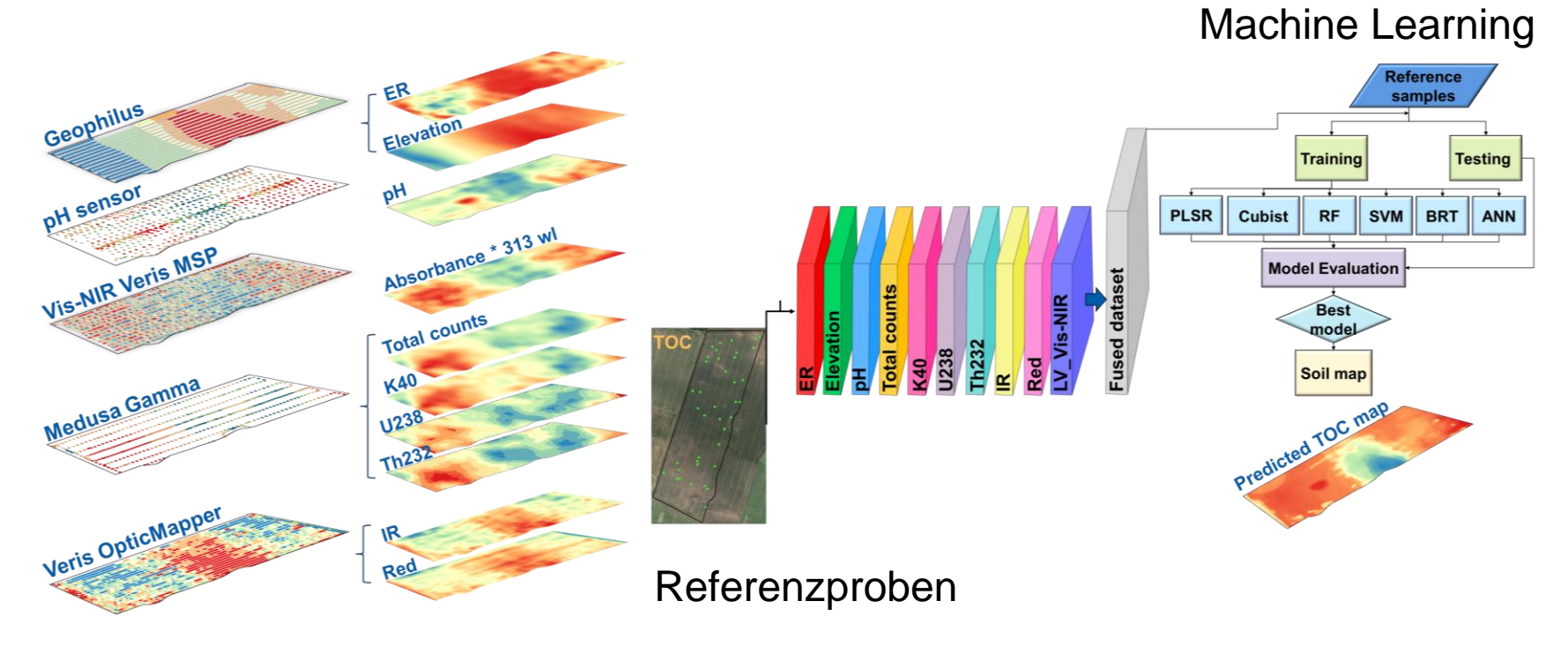
Sensoren und Zielgröße



Sensorplatformen (Sensorfusion) und Sensordatenfusion



Kartierung der organischen Bodensubstanz



Sensoren

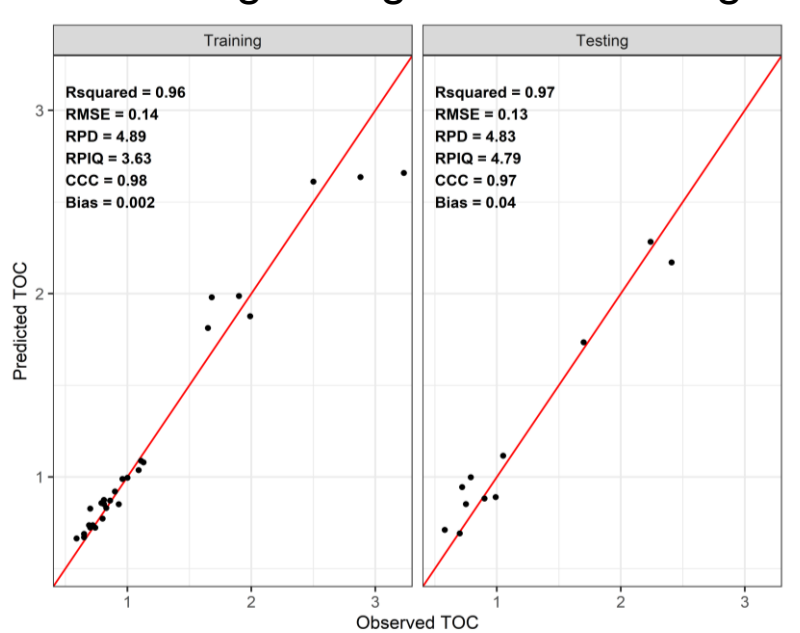


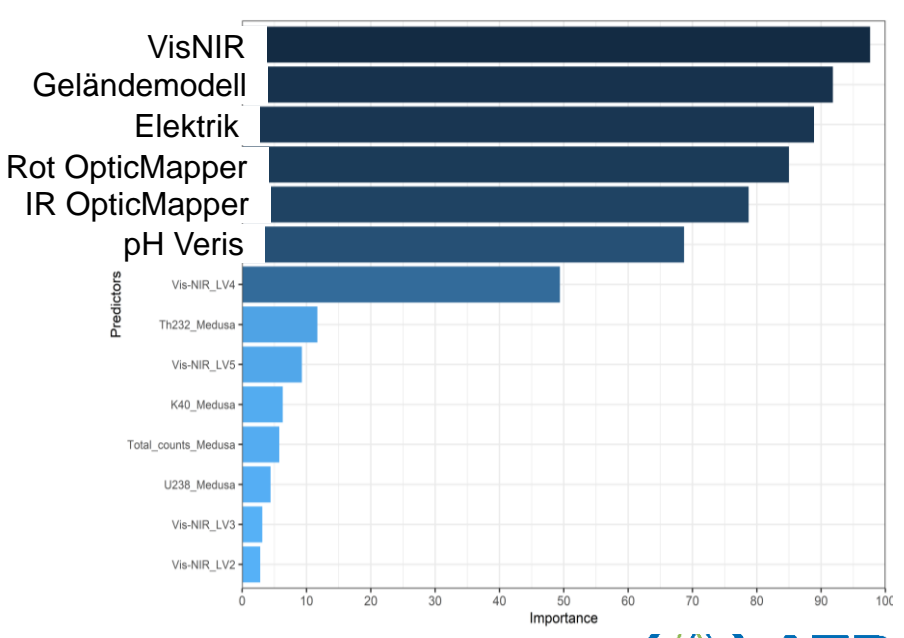
Kartierung der organischen Bodensubstanz

Schätzfehler OpticMapper allein: 0,64 %

Schätzfehler Sensorkombination: 0,13 %

Schätzgenauigkeit bei Trainings- und Testdater Relevanz der Sensoren





Multisensorplattformen von Veris Technologies



Most popular, powerful model. Maps EC at 2-3 depths, OM and pH on-the-go. $\,$

- 1. ECa
- 2. pH-Manager (on-the-go)
- 3. OpticMapper



U Series

Maps soil EC, OM, and pH behind a UTV. Uses SpeedRead TM pH technology to take pH readings in ~10 sec.

- 1. ECa
- 2. pH-Manager (stop-and-go)
- 3. OpticMapper



V3150 and OpticMapper

The base V3150 measures EC at two depths. It can be configured with a dual-wavelength OM sensors (OpticMapper) and on-the-go pH sensing module (MSP3).

- 1. ECa
- 2. OpticMapper

P4000
The Veris 4-Sensor probe acquires spectral

The Veris 4-Sensor probe acquires spectral measurements in the visible and near-infrared range, along with soil EC and insertion force sensing. Also equipped to take deep soil cores.

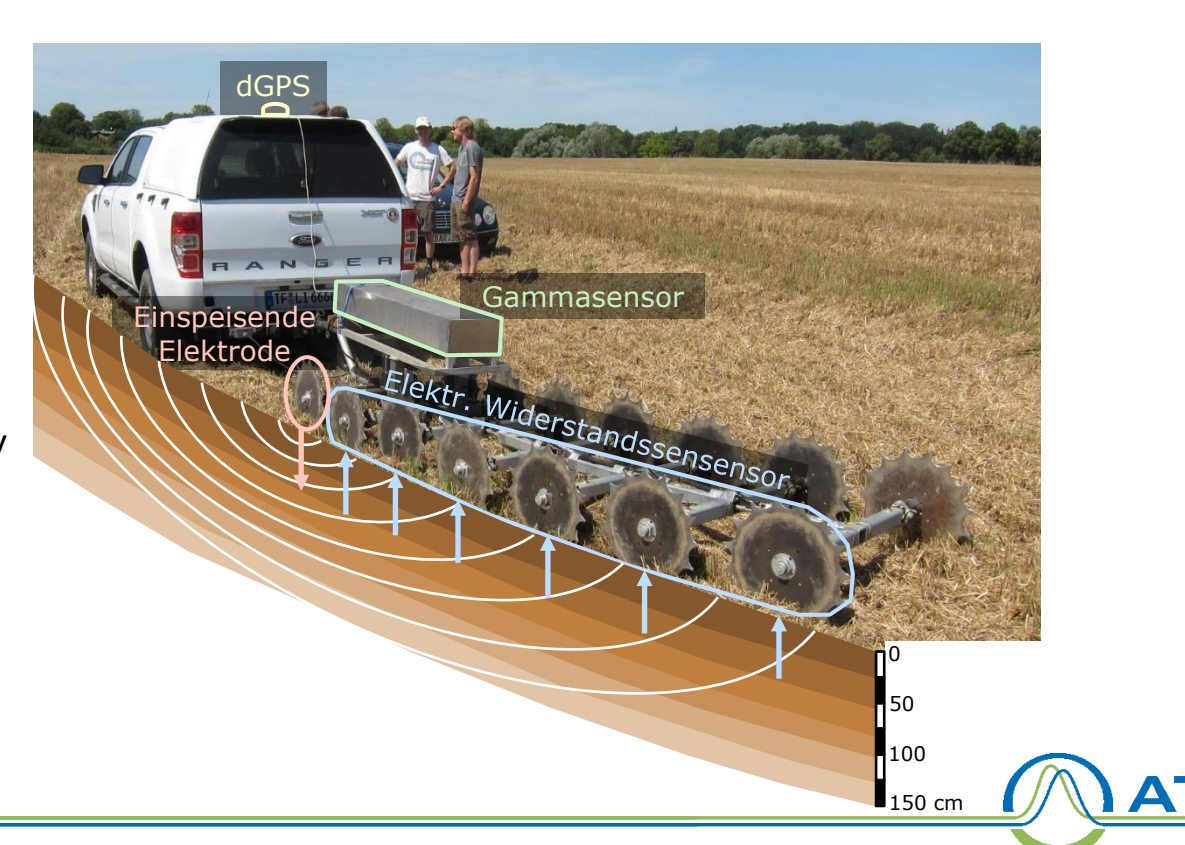
- 1. Durchdringungswiderstand
- 2. OpticMapper
- 3. ECa

https://veristech.com/



Multisensorplattformen von Geophilus

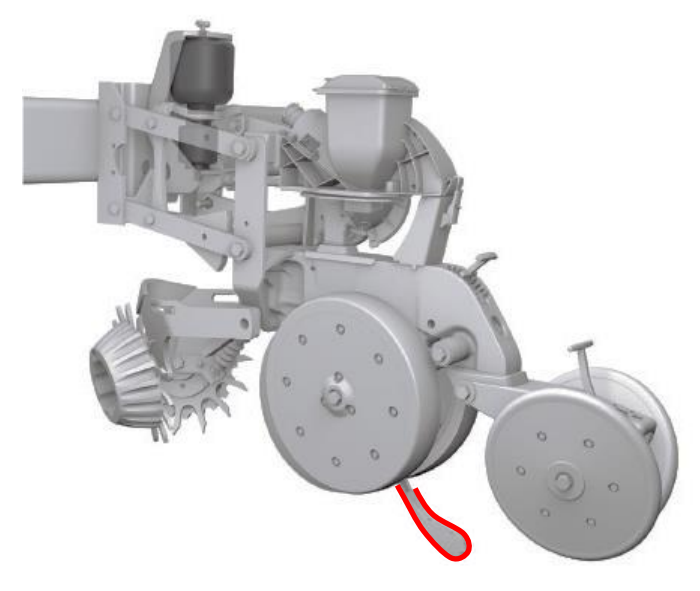
- Kombination aus Geoelektrik und Gammasensor
- misst scheinbaren elektr.
 Widerstand (ERa) in 6 Tiefen bis 1.5m Tiefe
- Gammasignal weniger sensitiv für Bodenfeuchte → Feuchtekorrektur von ERa



https://www.geophilus.de/

Multisensorplattformen von Precision Planting

SmartFirmer (sensorbasierte Aussaatmaschine)







- nutzt engbandige Lichtquellen: blau, orange, infrarot
- mögliche andere Sensoren: Druck, IR Thermometer (keine genauen Angaben erhältlich)
- erfasst Feuchte, Temperatur, Humus, Furchenstruktur
- → an Bodenfeuchte angepasste Ablagetiefe und Schardruck
- keine unabhängige wissenschaftliche Evaluierung



Multisensorplattformen der Firma STENON

Stenon FarmLab



- Zielparameter: Nmin (Nitrat, Ammonium), pflanzenverfügbarer Phosphor, Kalium, Magnesium, pH-Wert, Humus, Bodentemperatur, Bodenfeuchte, Textur
- Nutzung "globaler" Kalibrationsmodelle: Verzicht auf Laboranalysen für lokale Kalibrierung
- Erster DLG-zertifizierter Bodensensor
- Qualität umstritten

visNIR-Spektroskopie elektrische Impedanzspektroskopie

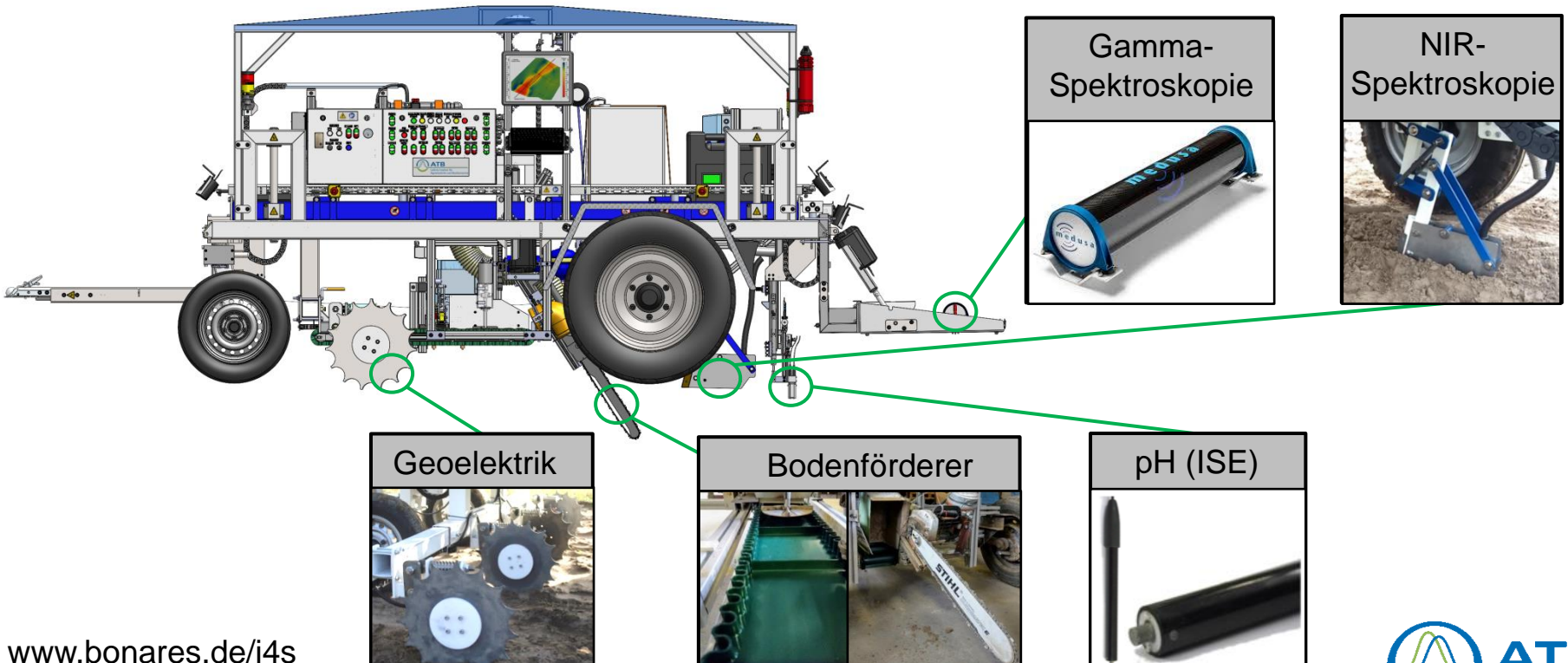


https://stenon.io/

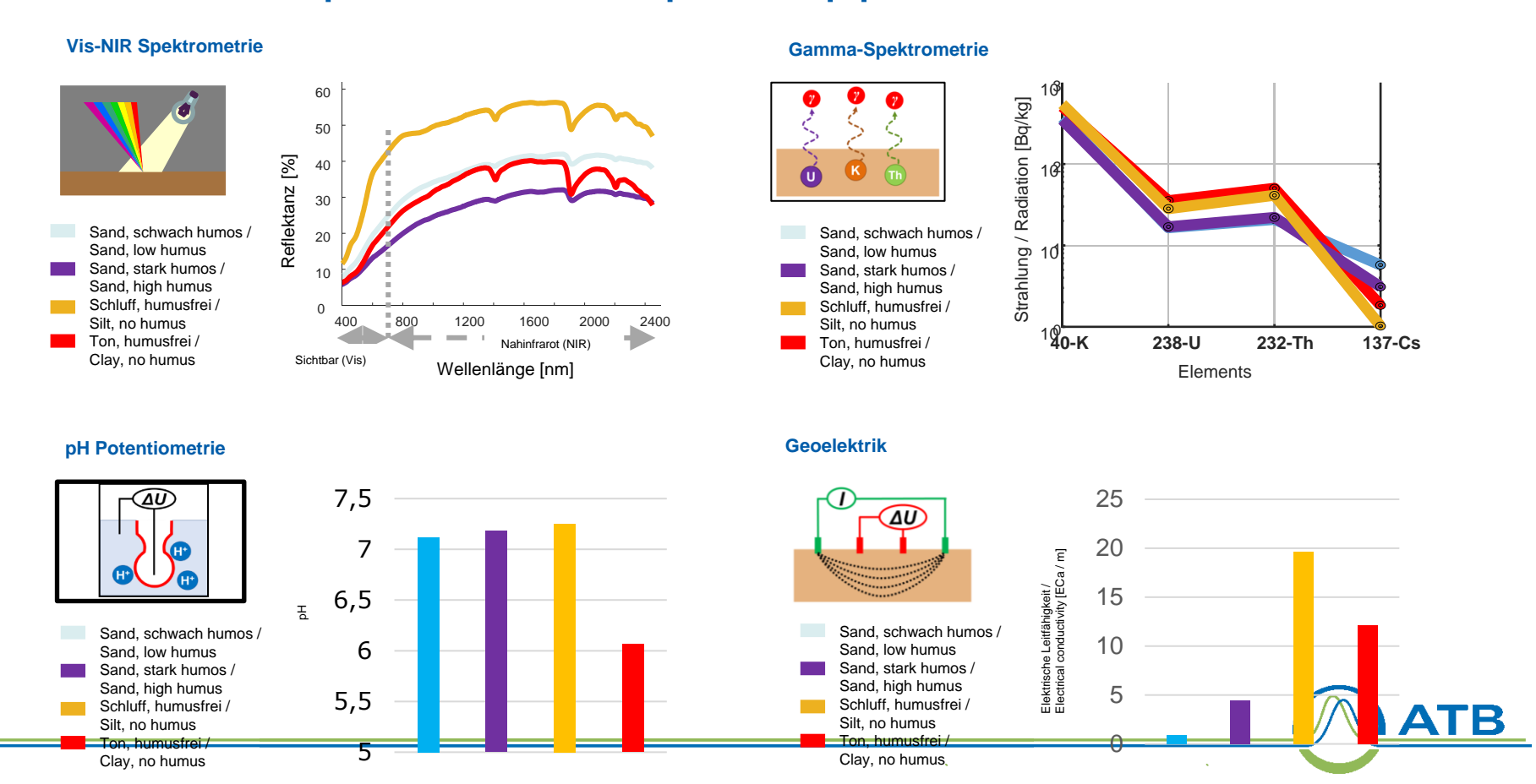


Multisensorplattform RapidMapper

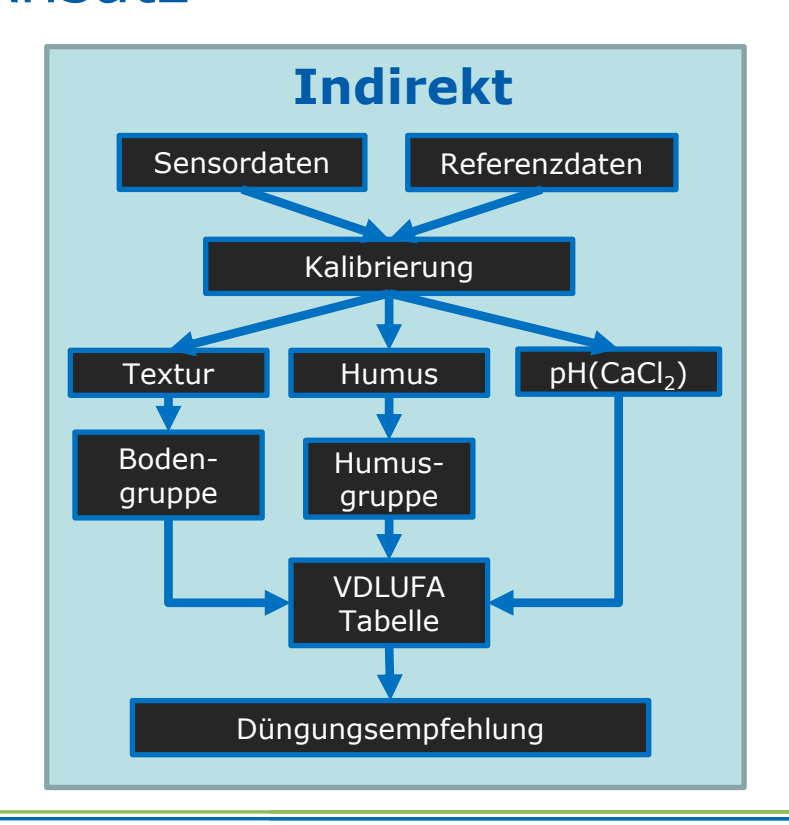
RapidMapper (im Projekt I4S entwickelter Demonstrator)

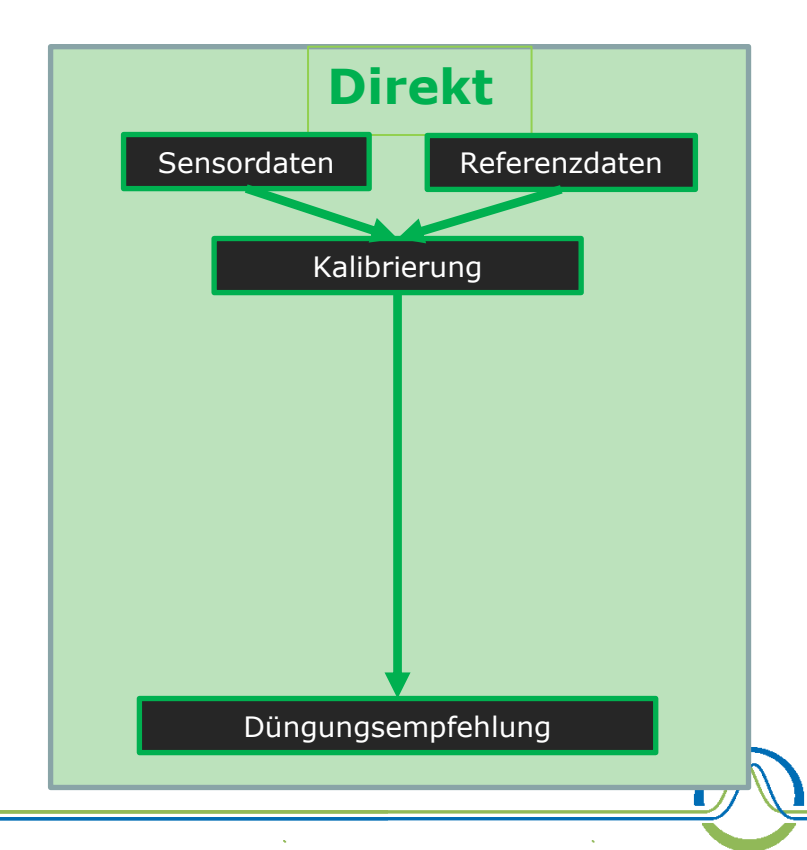


Multisensorplattform RapidMapper: Sensoren

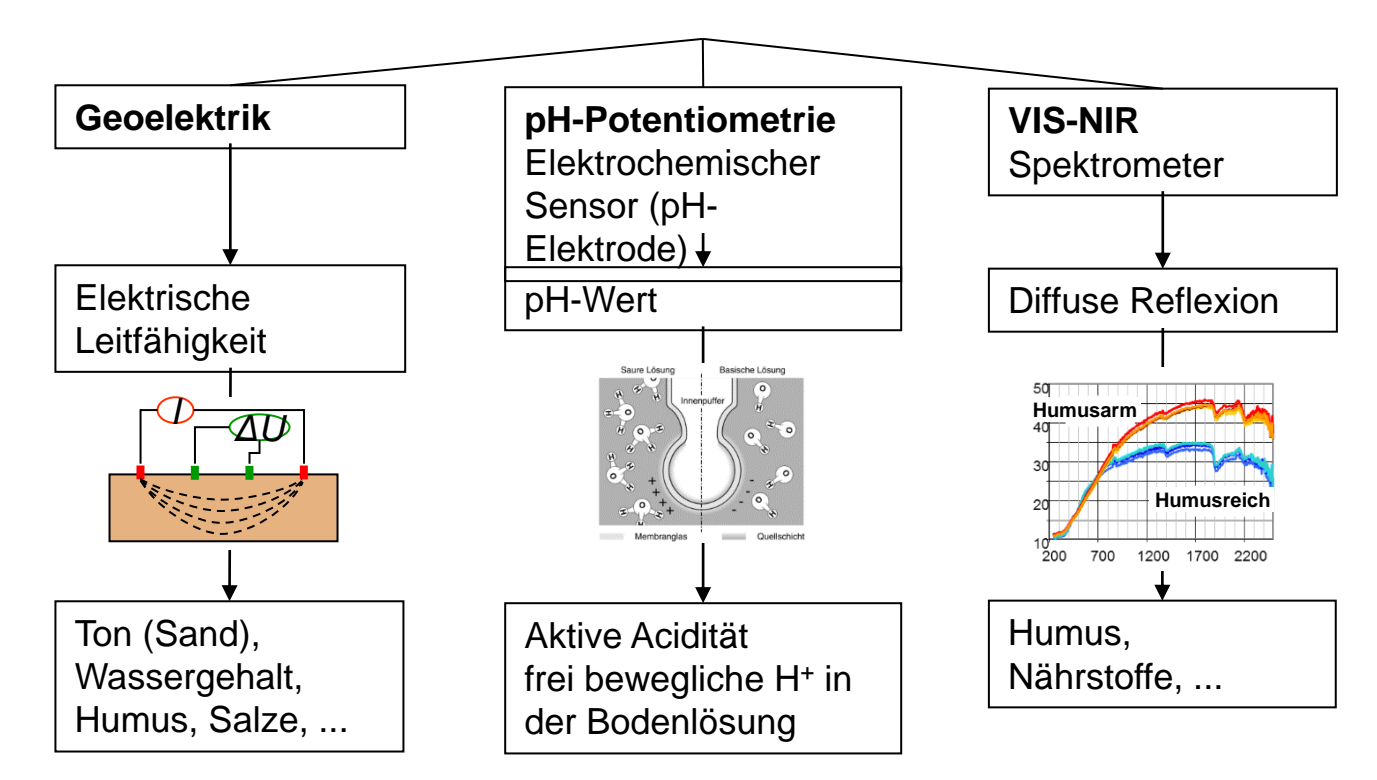


Kalkbedarfsermittlung: Indirekter und direkter Ansatz



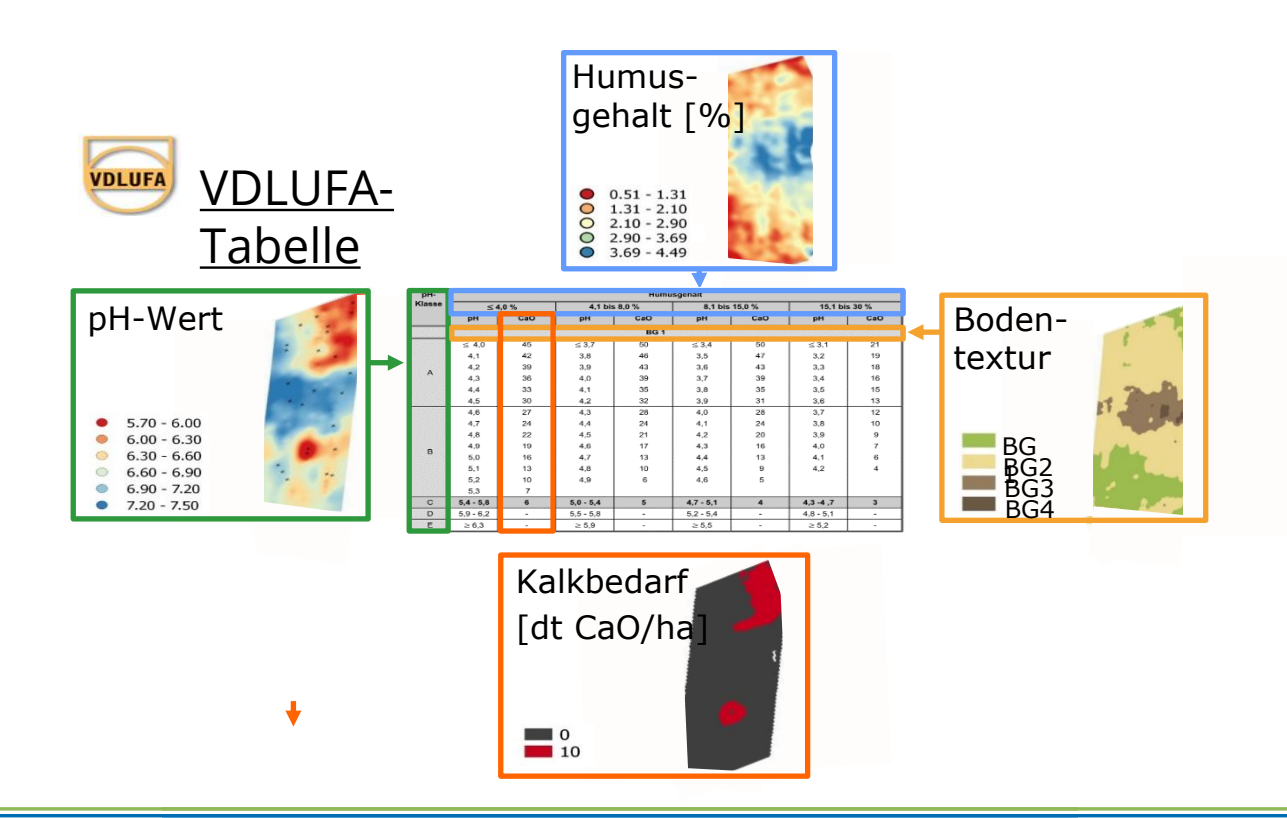


Kalkbedarfsermittlung: Sensorkombination





Kalkbedarfsermittlung: Indirekt



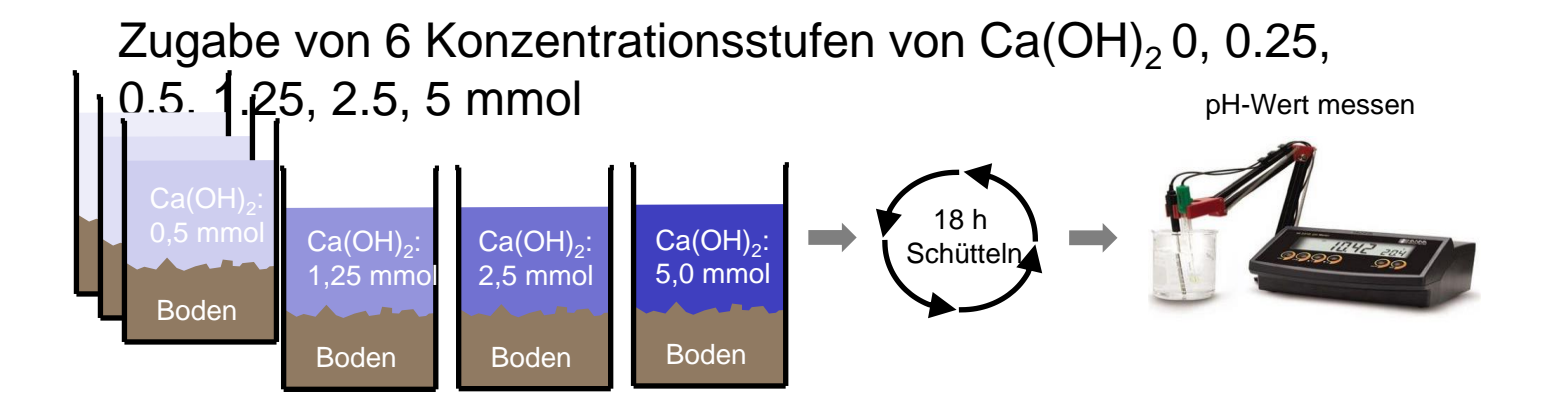


Basenneutralisationskapazität (BNK) als Grundlage

Die BNK ist die Säuremenge im Boden, die innerhalb einer bestimmten Zeitsnannung his zu einem bestimmten pH-Wert mit Basen readi Veränderung pH pH-Wert pH ohne **Zugabe Base** Zugabe Ca(OH)₂ [mmol / 25g Boden] einer Base 10000 12000 -2000 4000 6000 8000 CaCO₃ [kg / ha]

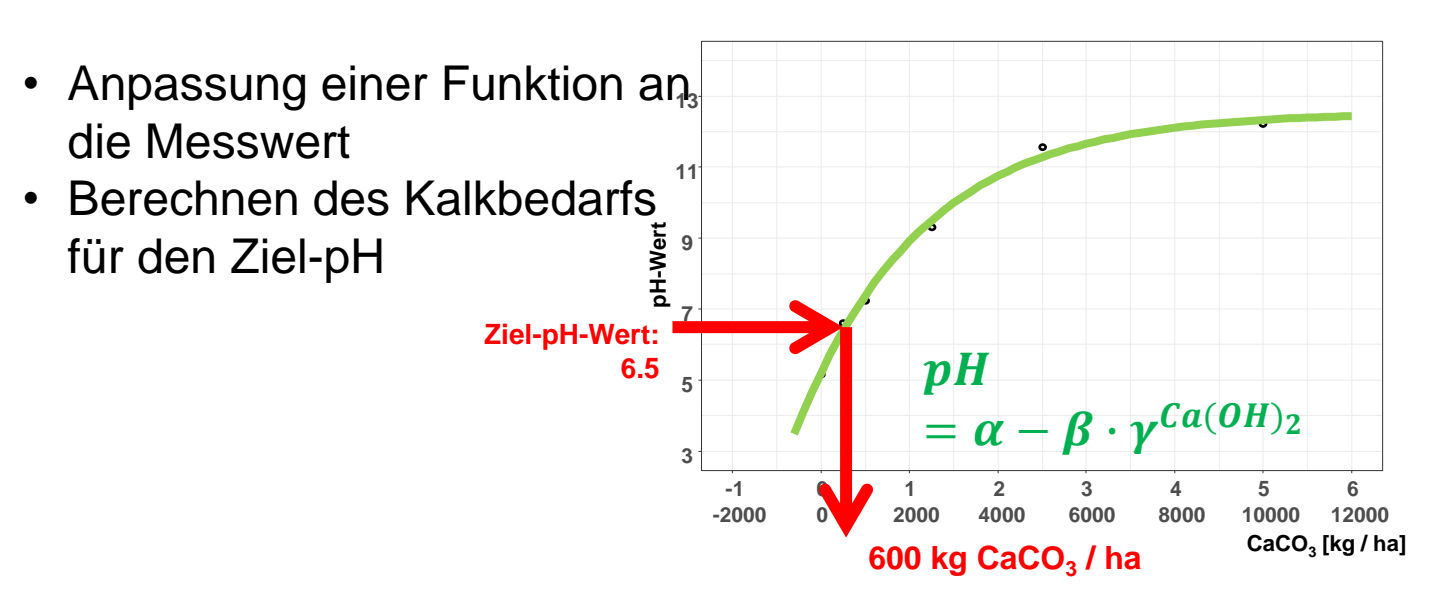


Basenneutralisationskapazität (BNK) als Grundlage





Basenneutralisationskapazität (BNK) als Grundlage





Ca(OH)₂ [mmol₂ (25g soil)⁻¹]

Basenneutrali 12 pH value pH 6.5 3 Ca(OH)₂ [mmol₆ (25g soil)⁻¹] В 표 $-\alpha = 12$

als Grundlage Spannweite von BNK Kurven, Brandenburg

> Bedeutung der Parameter der BNK-



Praxisrelevante Sensoren und ihre Zielgrößen

Sensor	Zielgrößen	Direkte Messung	Kalibrier- aufwand	Robustheit	Schnellig- keit
Geoelektrik	Textur, Wasser	-	-	++	+
Gamma- Spektroskopie	Textur, Kalium	0	-	+	0/+
pH-Potentiometrie mit Antimon- Eletrode	pH-Wert	++	0	0	
Optische Spektroskopie	Humus (Nährstoffe, Textur)	-	-	+	++
Penetrometer	Lagerungs- dichte	0	-	++	



5. Schlussfolgerungen



Anforderungen und Probleme der Bodenkartierung durch Nahbereichssensoren

Anforderungen	Probleme	
Flächendeckende Messung	Befahrbarkeit, Beobachtungsfläche, -volumen, (Zeit-)Aufwand	
Schnell (On-line), am besten zusammen mit Applikation	Genauigkeit, Nachbearbeitung, Interpretation	
Kostengünstig	Genauigkeit	
Pflanzenbaulich relevante (interpretierbare) Parameter	Indirekte Messmethoden	
Ungefährlich & einfach zu bedienen	Anzahl der Bodenparameter, Genauigkeit	
Viele Parameter gleichzeitig	Sensorfusion ist anspruchsvoll	
Daten ≠ Information	Dateninterpretation	

Schlussfolgerungen

- Die sensorbasierte Kartierung kann räumlich hoch aufgelöste Informationen zu Bodeneigenschaften liefern
- Schwierige Parameter: Biologie, Bodenchemie (PO4), Bodenphysik (Steingehalt)
- Sensordaten liefern meist indirekte Informationen \rightarrow schlagweise Kalibrierung anhand von Laboranalysen
- Arbeitsaufwand für Kalibrierung hoch (Kartierung, Datenbereinigung, Referenzbeprobung) und -analyse, Kalibrationsmodell)
- **Datenfusion** ist methodisch anspruchsvoll, kann Vorhersage teilweise deutlich verbessern
- Wissenstransfer braucht langen Atem und mehr Demonstrationsbetriebe
- Nachweis der Wirtschaftlichkeit schwierig: Ertragswirkung, Kosten



Kalibrierung

Kalibrierung (bei Relativ-Methoden): Intensität eines analytischen Signals wird zu der Signalintensität eines Standards in Beziehung gesetzt

- Meist Mathematische Erstellung der Kalibrierfunktion (Chemometrie): Einfache Regression bis Machine Learning
- Matrixunabhängige Kalibrierung: Basiskalibrierung (Nullung), Nutzung künstlicher, genau definierter Standards (Reinsubstanzen) unter kontrollierten Bedingungen
- Matrixabhängige Kalibrierung: Kalibrierung mit Realproben unter Berücksichtigung der Matrix.
 - Matrixeffekt: Wirkung der in der Probe enthaltenen Begleitsubstanzen auf das Messsignal. Interferenzen: Beeinflussung des Messignals, sodass der Zusammenhang zur Konzentration des Analyten nicht mehr eindeutig ist



Kalibrierung Probleme durch Heterogenität der Probe und Messgeometrie des Sensors

Böden können kleinräumig variieren

Messgeometrie des Sensors

- Volumen
- Ausrichtung

Untersuchtes Material bei der "Referenz"

 Ehebliche Variation zwischen leicht unterschiedlichen Einstichen und Laboren

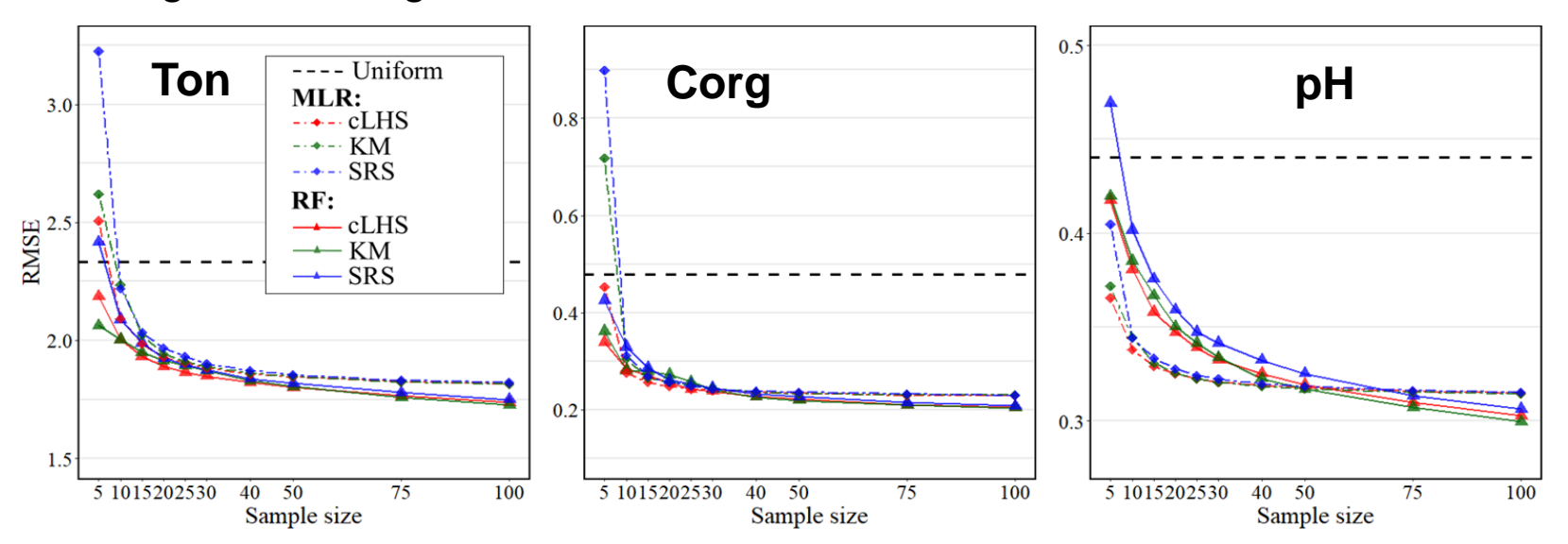






Einfluss der Zahl von Kalibrierproben und Probenwahl

Heterogener Schlag, diverse Sensoren

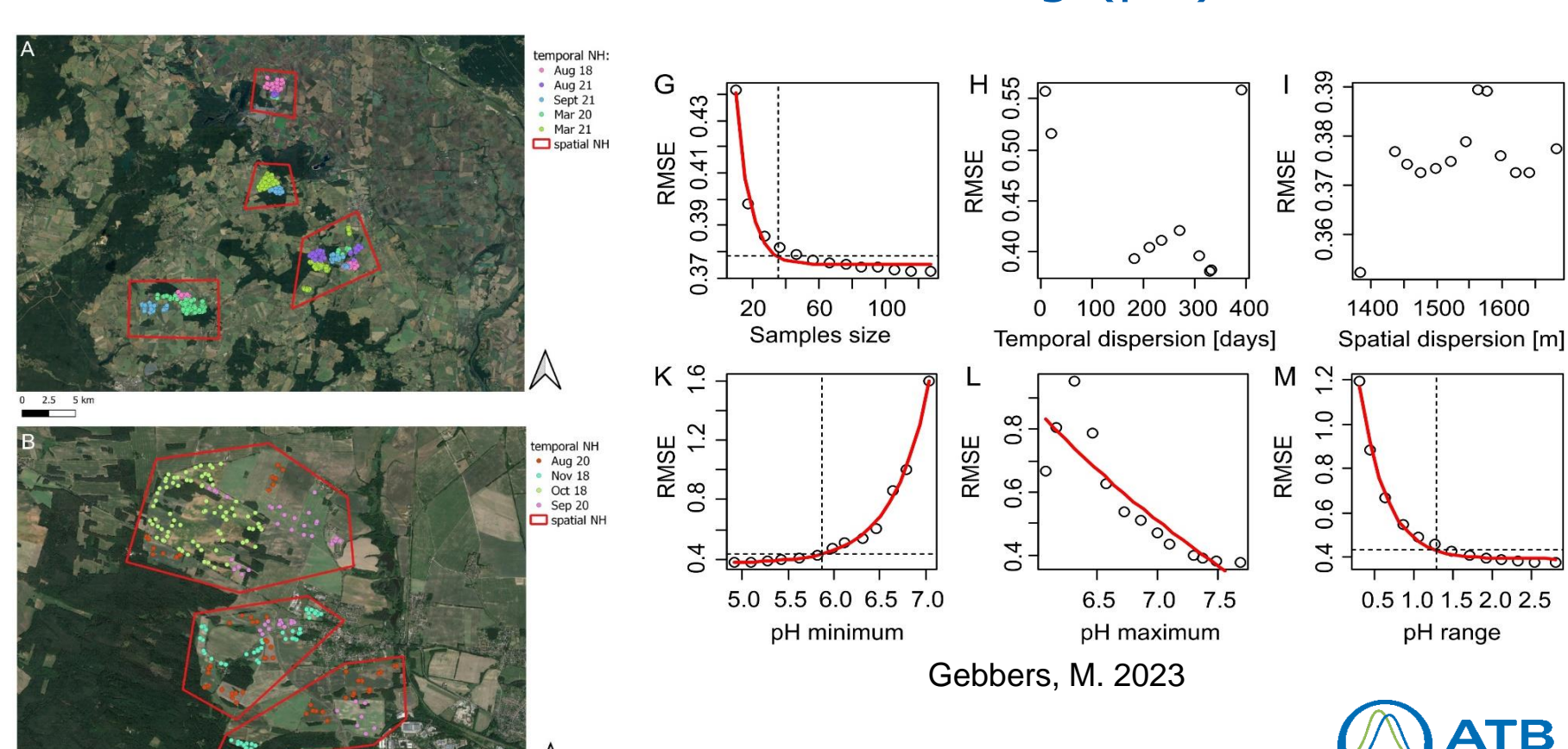


MLR: Multiple lineare Regresssion, RF: Random Forrest; cLHS: conditional latin hypercube sampling; KM: k-means sampling; SRS: stratified random sampling. Schmidinger et al. 2023

30.04.2024

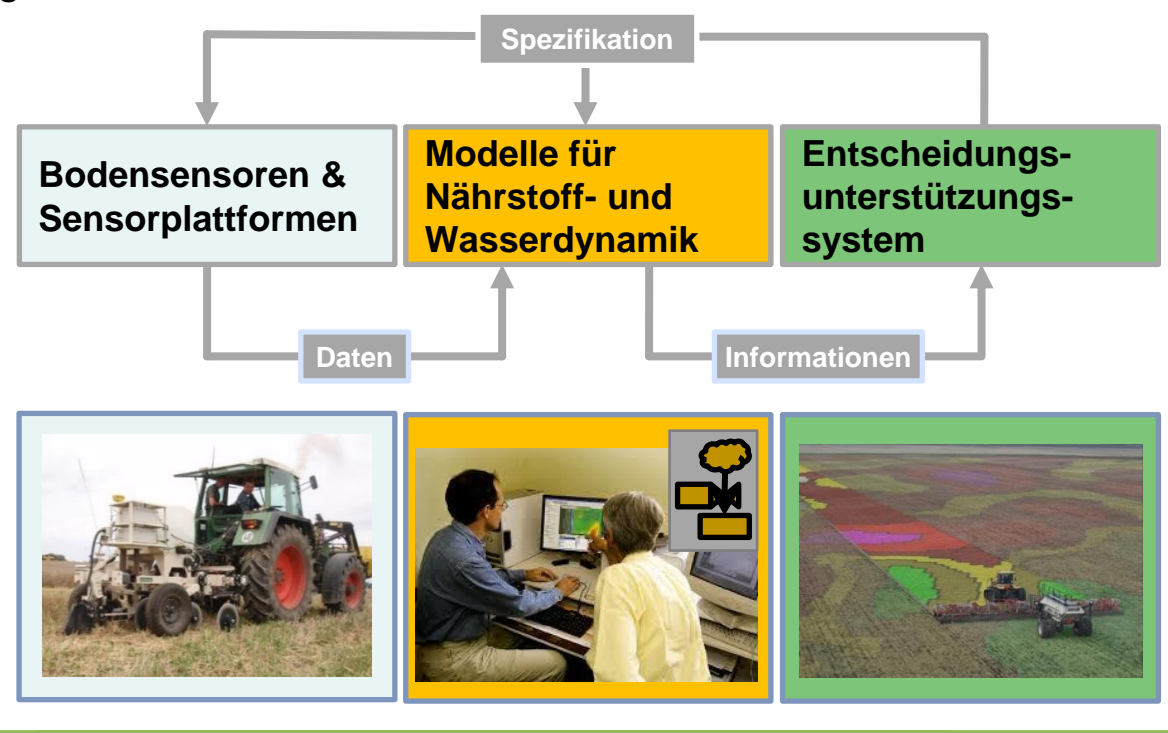
96

Weitere Einflüsse auf die Kalibrierung (pH)



Schlussfolgerungen

Integrierte Systeme erforderlich, die aus Sensordaten agronomisch relevante Informationen für den Landwirt generieren







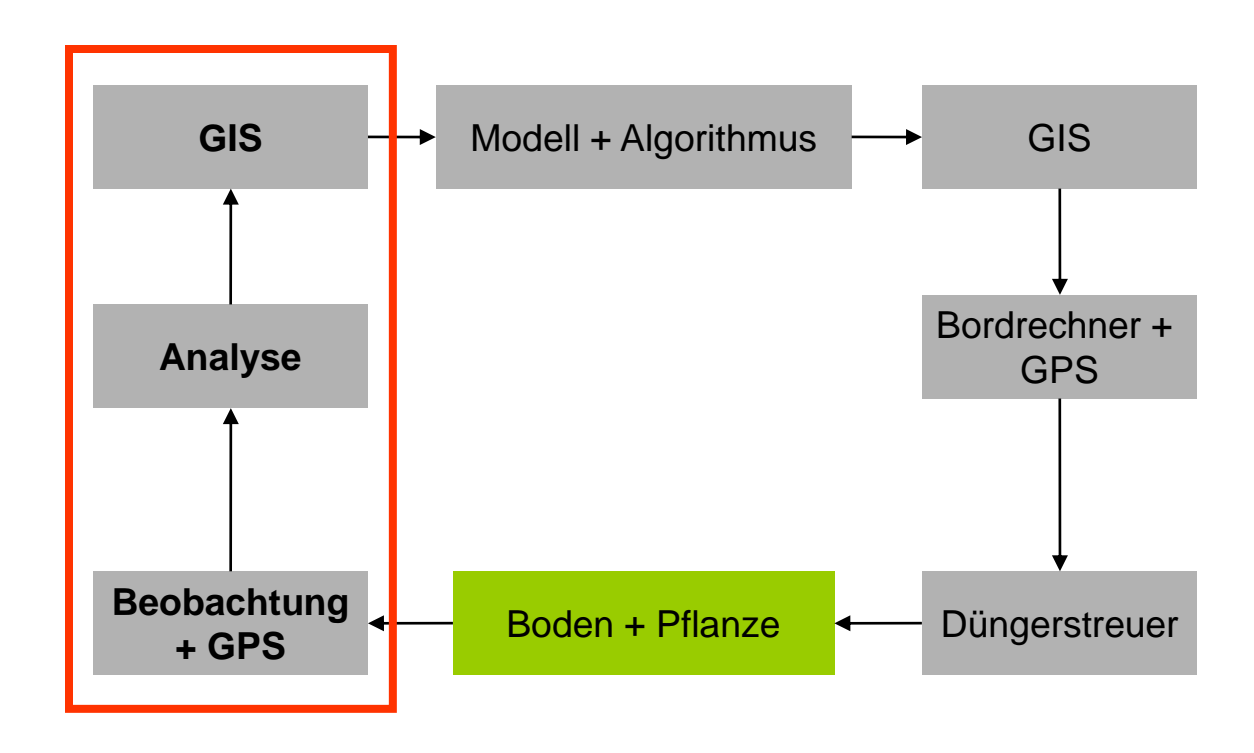
Vielen Dank für die Aufmerksamkeit

Haben Sie Fragen?
rgebbers@atb-potsdam.de





Fehleranalyse der Bodenkartierung



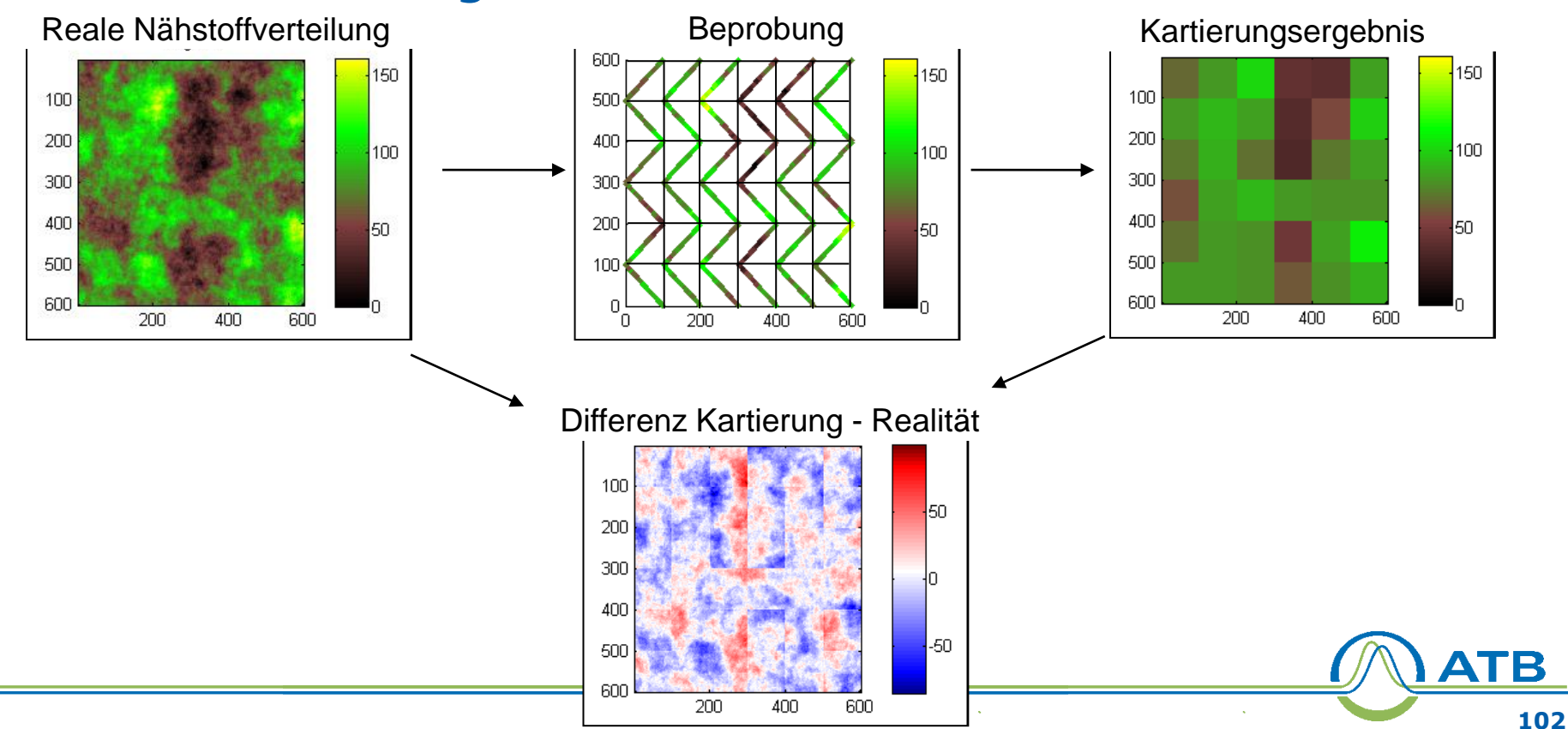
Fehleranalyse der Bodenkartierung: Faktoren

Räumliche Variabilität (Variogramm-Reichweite 30, 60, ..., 180 m) Probenahmedesign Mischprobe diagonal Mischprobe "Punkt" Massenbeprobung Probenahmeabstand 0.05 ha 1 ha 5 ha **GPS-Fehler** 0 m Regionalisierung Attributierung Interpolation



20 %

Fehleranalyse der Bodenkartierung: Simulation der Bodenkartierung

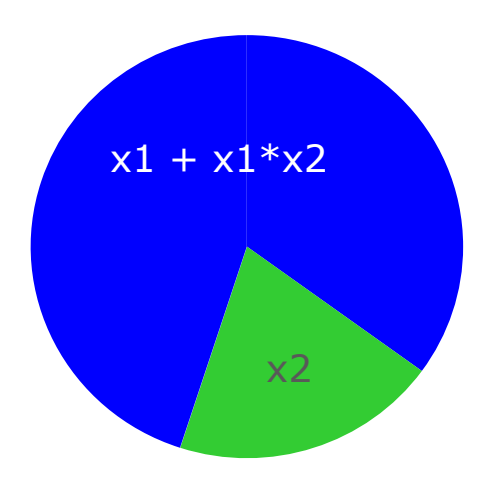


Sensitivitätseffekte: Bewertung der Einflüsse auf den Gesamtfehler

Einfaches Modellbeispiel:

$$y = x_1 + x_2 + x_1 x_2$$

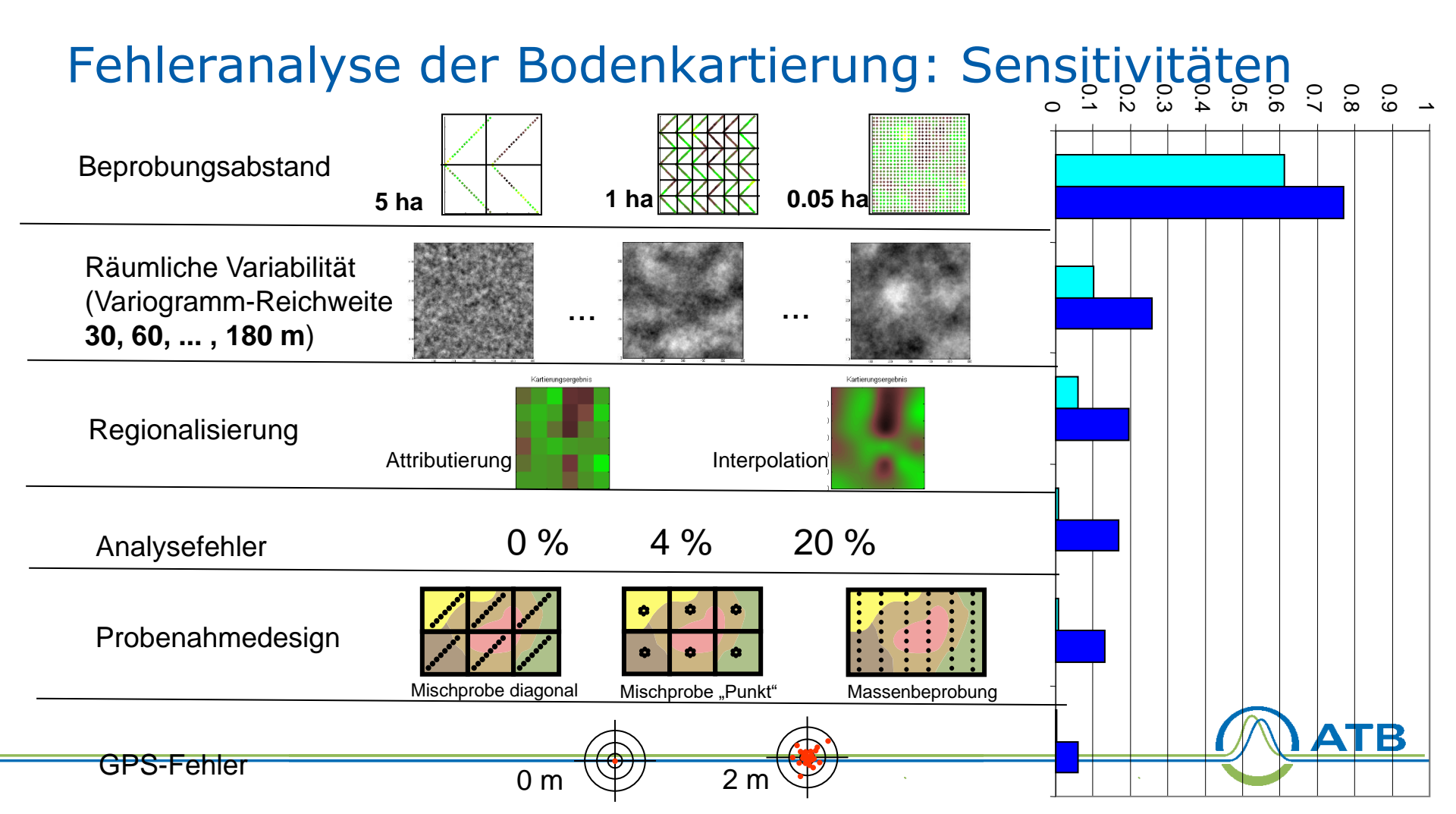




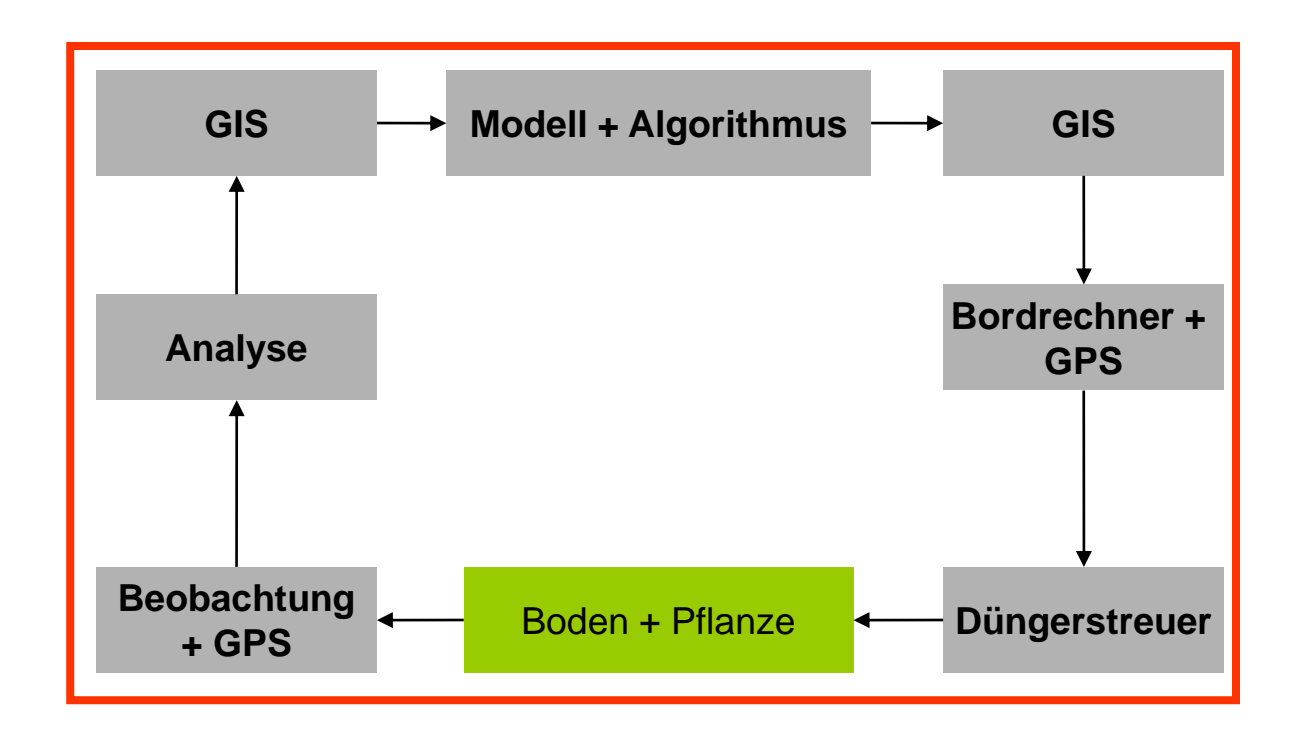
- Einzeleffekt x1
- Einzeleffekt x2
- Wechselwirkungseffekt x1*x2





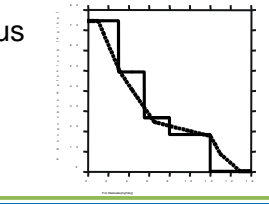


Fehleranalyse des Gesamtsystems



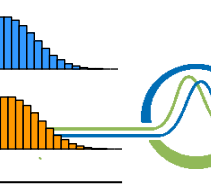
Fehleranalyse des Gesamtsystems: Faktoren

Räumliche Variabilität (Variogramm-Reichweite 30, 60, 180 m) Probenahmedesign Probenahmeabstand 0.05 ha Mischprobe diagonal Massenbeprobung Regionalisierung Streubild Interpolation **Attributierung** Fehler der Ertragsprognose Algorithmus

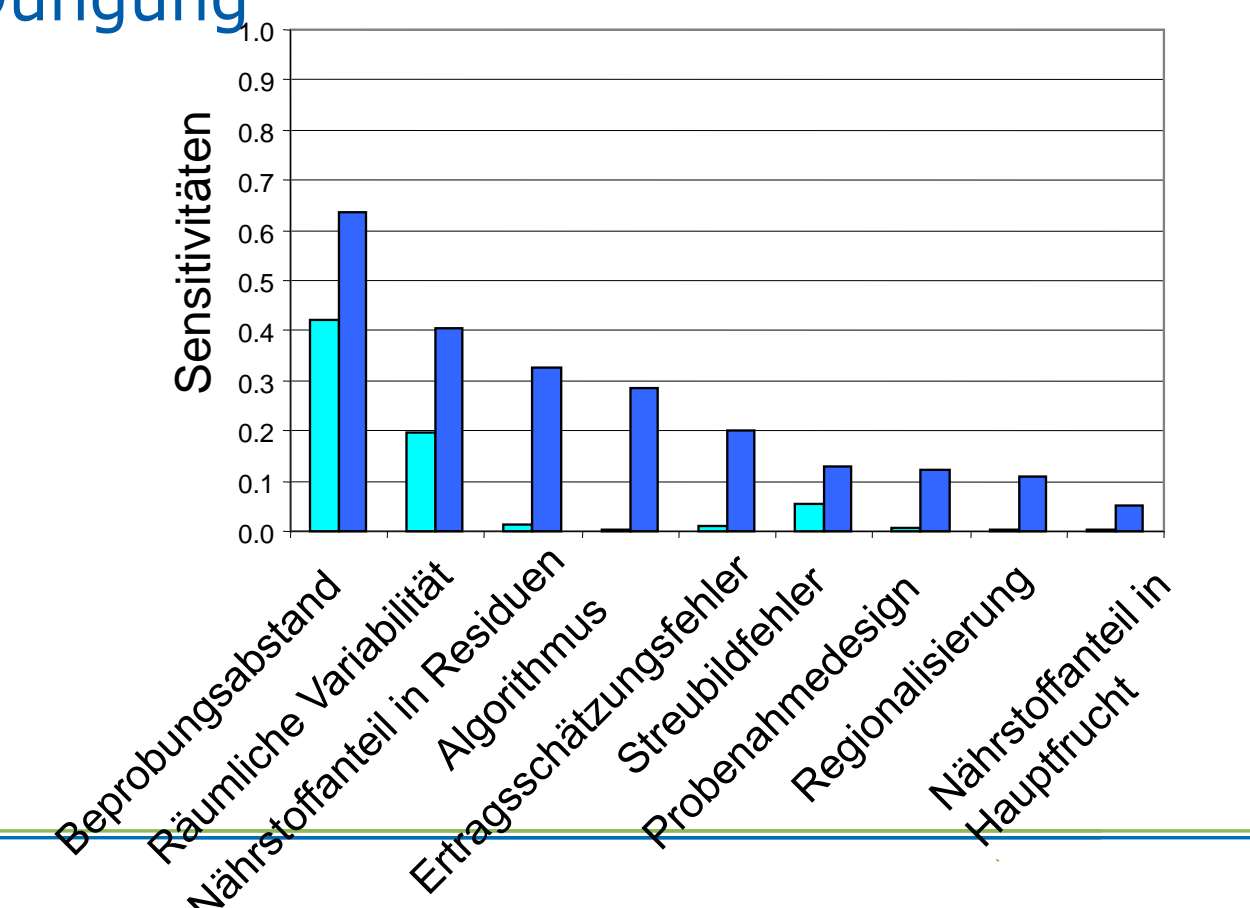


Nährstoffanteile in der Hauptfrucht

Nährstoffanteile in den Residuen



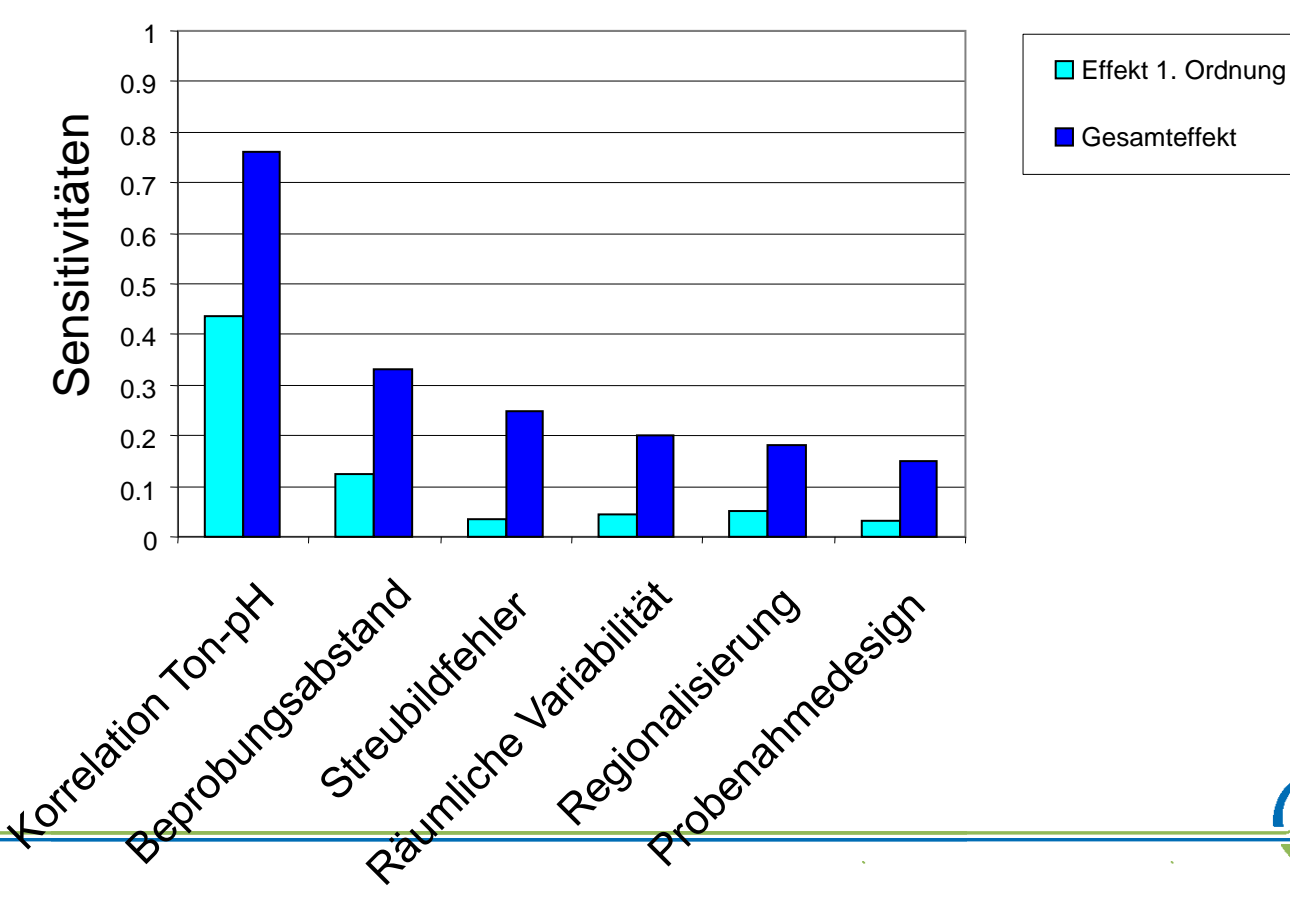
Fehleranalyse des Gesamtsystems: P-Düngung



■ Effekt 1. Ordnung ■ Gesamteffekt



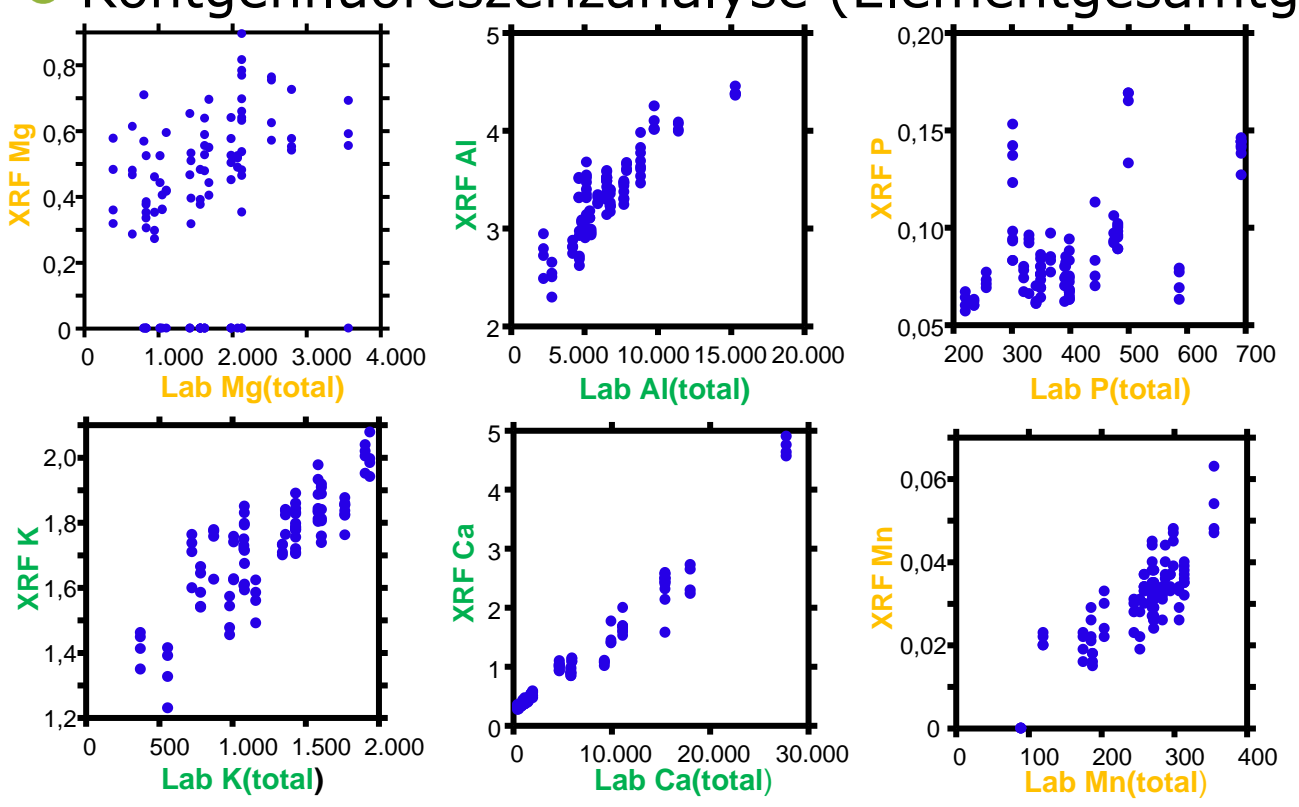
Fehleranalyse der Kalkdüngung



3. Überblick über verschiedene Messprinzipien



Röntgenfluoreszenzanalyse (Elementgesamtgehalte)



Korrelation RFA vs. Labordaten von Atomgewicht und Konzentration abhängig

Ordnungszahl

Mg: 12

AI: 13

P: 15

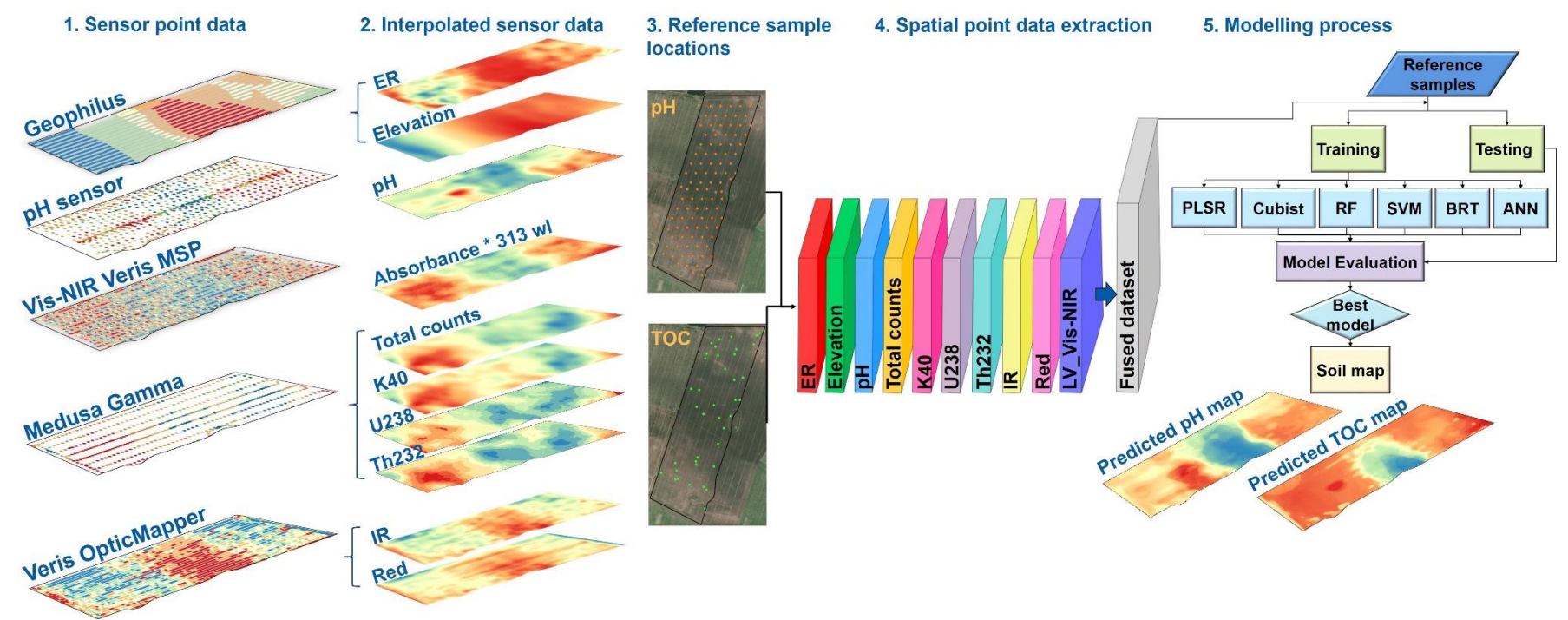
K: 19

Ca: 20

Mn: 25



5. Sensorfusion durch Multisensorplattformen



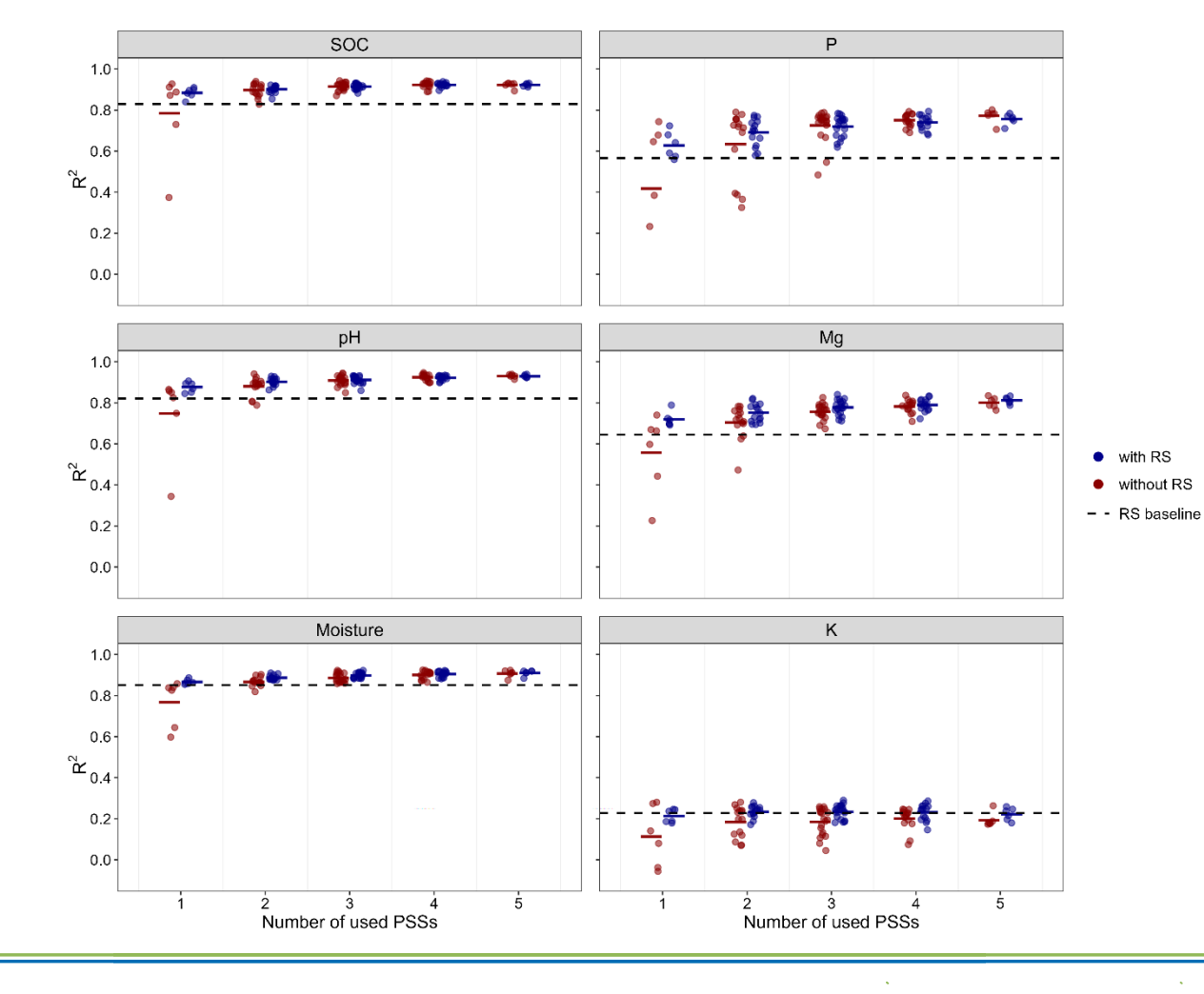


Fig. 3. Achieved R² of every PSS combination shown for the six target soil properties. It distinguishes between PSS combinations which fused RS data (blue) and those without RS data (red). The RS-baseline corresponds to the achieved performance when solely using RS data.



30.04.2024